

浅い湖沼：霞ヶ浦の水質特性

福島武彦(茨城県霞ヶ浦環境科学センター)

fukushima.takehik.fu@u.tsukuba.ac.jp

2017年以降の自著論文と本日の研究紹介(赤字)

T. Fukushima, et al.: Will hypolimnetic waters become anoxic in all deep tropical lakes? *Scientific Reports* 7:45320, 2017. doi.org/10.1038/srep45320

T. Fukushima, et al.: Semi-analytical prediction of Secchi depth transparency in Lake Kasumigaura using MERIS data. *Limnology*, 19, 89-100, 2018. doi.org/10.1007/s10201-017-0521-3

T. Fukushima et al.: Shifts of radiocesium vertical profiles in sediments and their modelling in Japanese lakes. *Science of the Total Environment*, 615, 741- 750, 2018. doi.org/10.1016/j.scitotenv.2017.09.286

T. Fukushima , et al.: Nakamoto: Suppression of nutrient release from freshwater lake sediments using granulated coal ash. *Water Science and Technology: Water Supply*, 18-5, 1810-1824, 2018. doi.org/10.2166/ws.2018.005

T. Fukushima, et al.: Factors explaining the yearly changes in minimum bottom dissolved oxygen concentrations in Lake Biwa, a warm monomictic lake. *Scientific Reports*, 9:298, 2019. doi.org/10.1038/s41598-018-36533-7

T. Fukushima, et al.: Decadal change in tripton concentration in a shallow lake. *SN Applied Sciences*. 1:1637, 2019. doi.org/10.1007/s42452-019-1668-9

T. Fukushima, et al.: Characteristics of DO decline in Lakes Kasumigaura and Kitaura, shallow polymictic eutrophic lakes in Japan. *Lakes & Reservoirs: Science, Policy and Management for Sustainable Use*. 24, 314-323, 2019. doi.org/10.1111/lre.12294

T. Fukushima, et al.: Long-term changes in water mineral concentrations and their influence on sediment water content in a shallow lake. *SN Applied Sciences*, 2: 1319, 2020. doi.org/10.1007/s42452-020-3119-z

T. Fukushima, B. Matsushita: Limiting nutrient and its use efficiency of phytoplankton in a shallow eutrophic lake, Lake Kasumigaura. *Hydrobiologia*, 848, 3469-3487, 2021. doi.org/10.1007/s10750-021-04593-y

T. Fukushima, et al.: Lake water quality observed after extreme rainfall events: Implications for water quality affected by stormy runoff. *SN Applied Sciences* 3: 841, 2021. doi.org/10.1007/s42452-021-04823-x

T. Fukushima, et al.: Convection of waters in Lakes Maninjau and Singkarak, tropical oligomictic lakes. *Limnology*. (in press) doi.org/10.1007/s10201-021-00686-8

溶存酸素量 (DO) は湖沼鉛直循環特性に支配されている？

深い湖沼：夏季における低風速の継続特性
深い湖沼：気温の年較差

琵琶湖の底層 溶存酸素量の 類型指定

2021

環境省

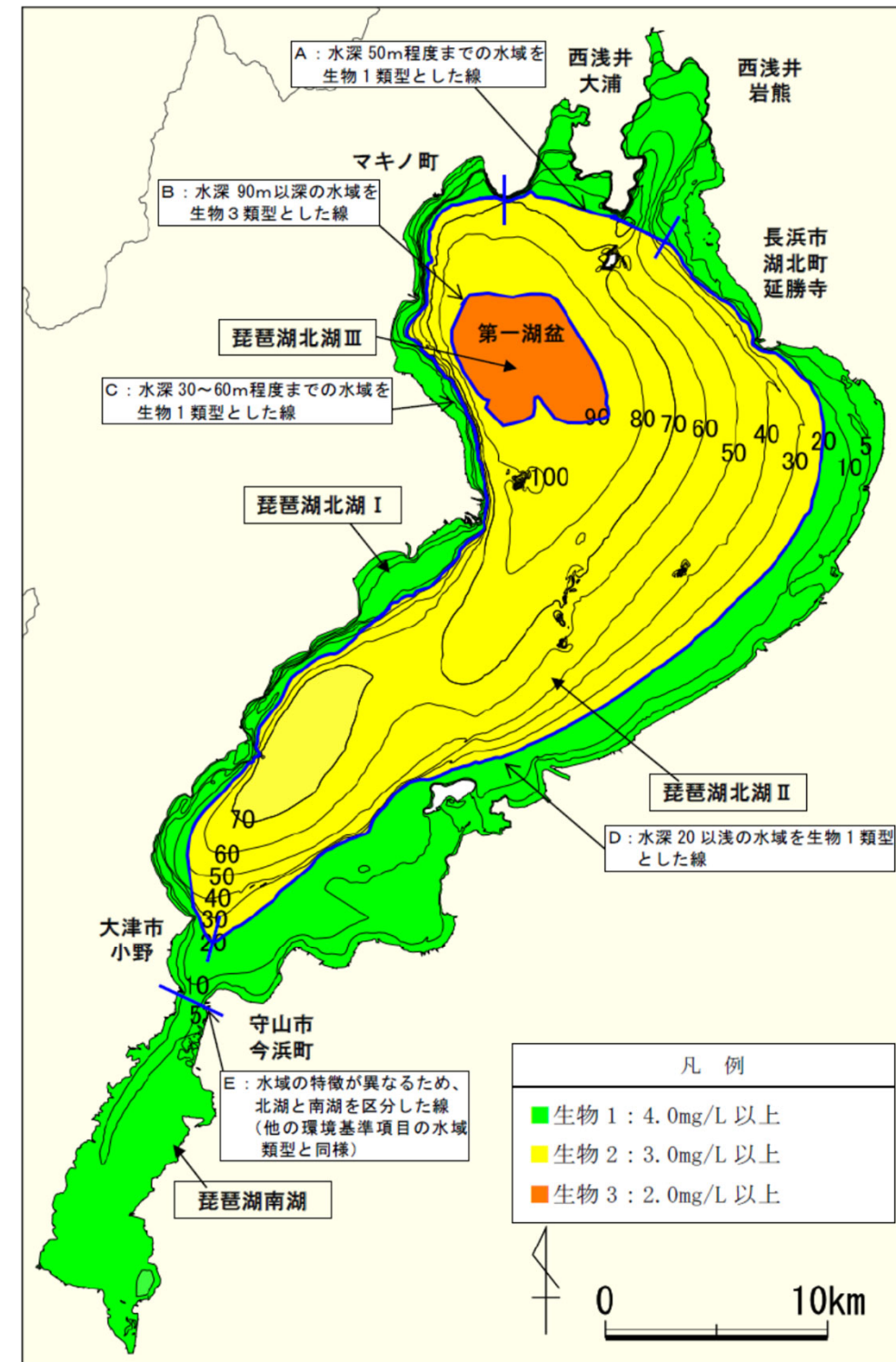
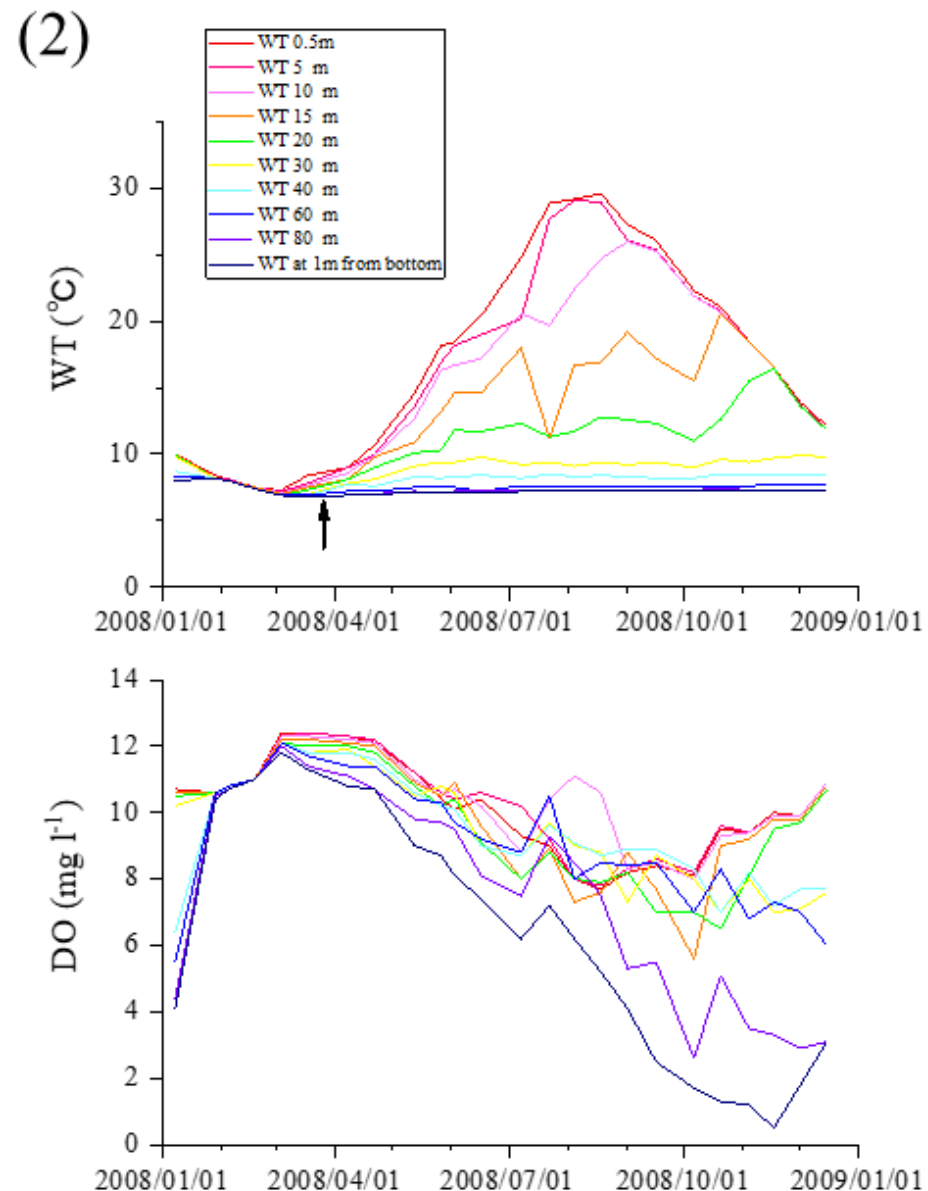
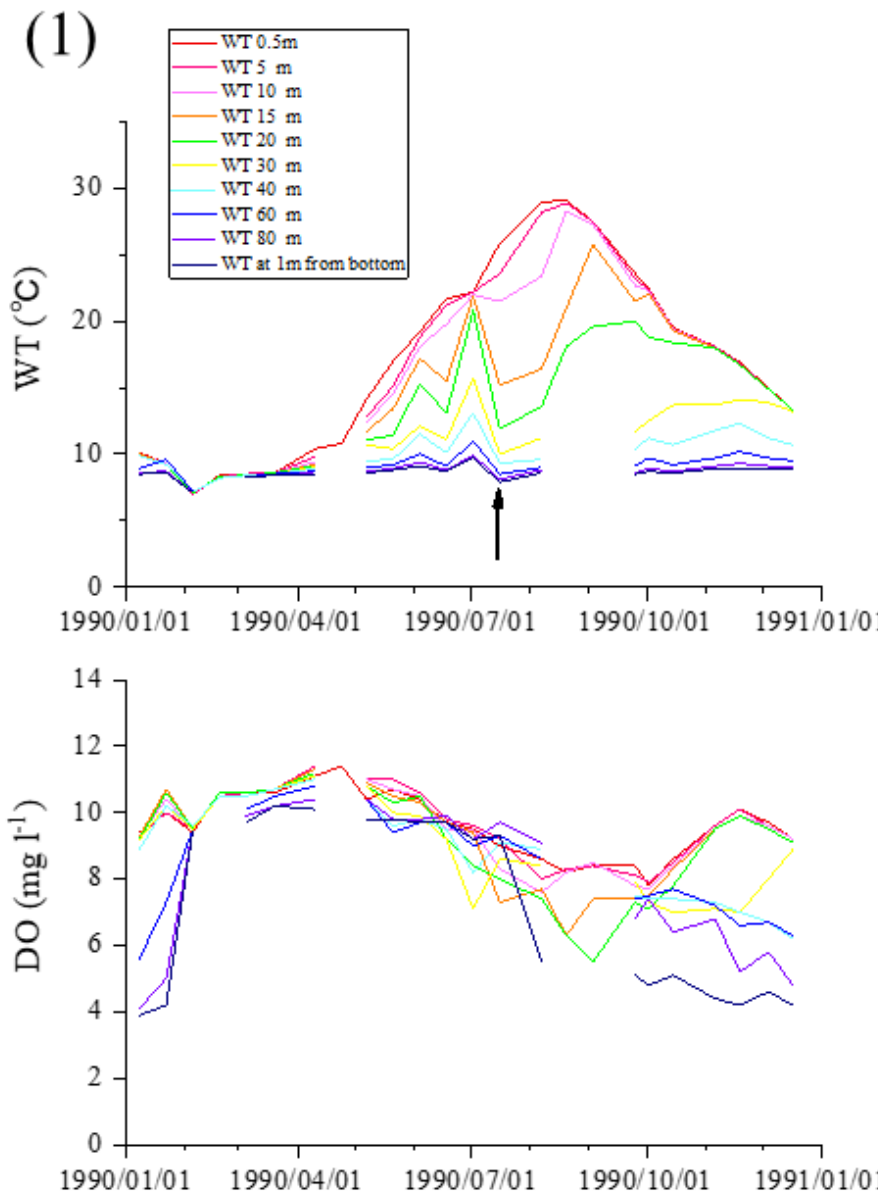


図 8 琵琶湖の類型指定

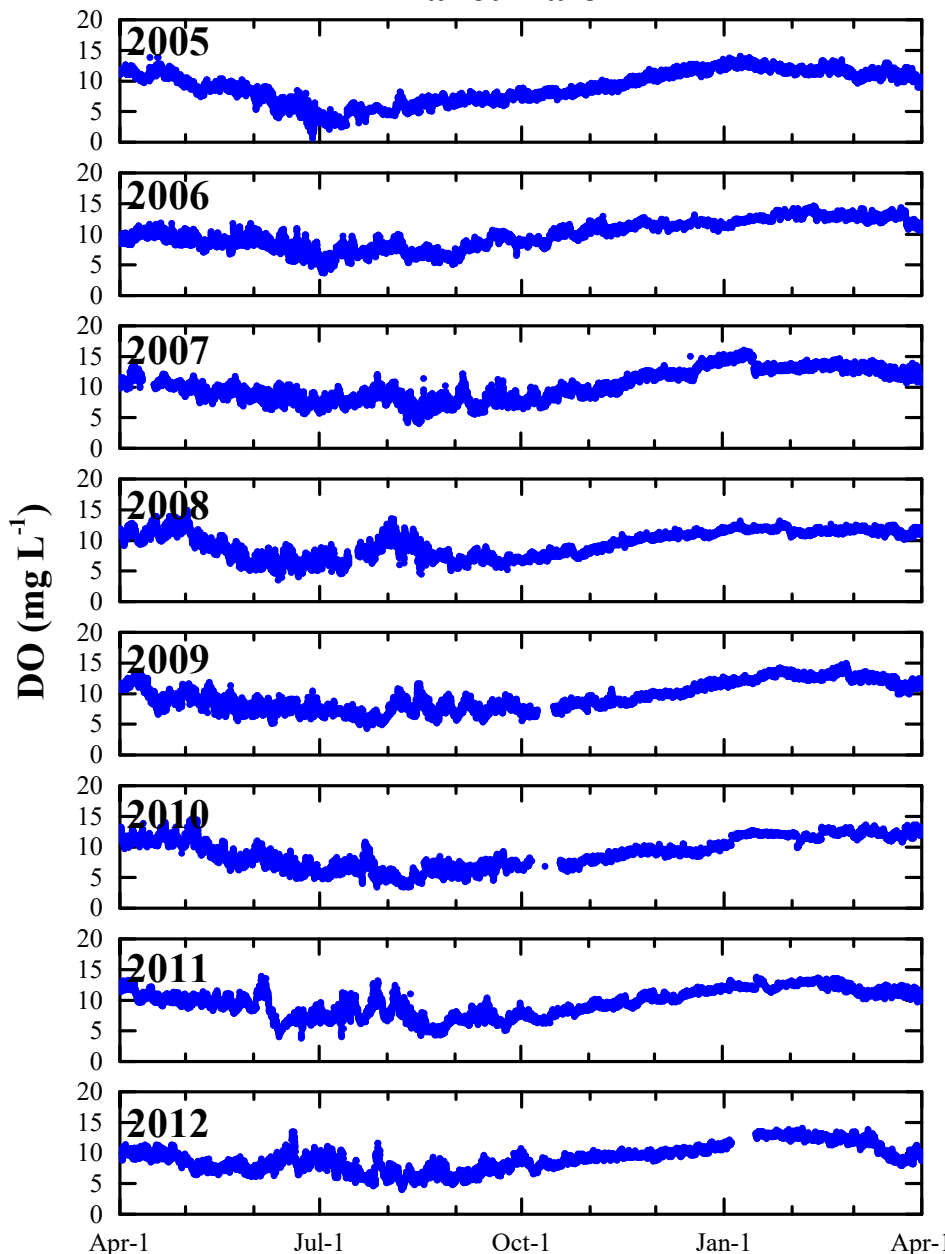
低酸素イベント monomictic lake 琵琶湖 oligomicticに？



霞ヶ浦での底層DO(例)

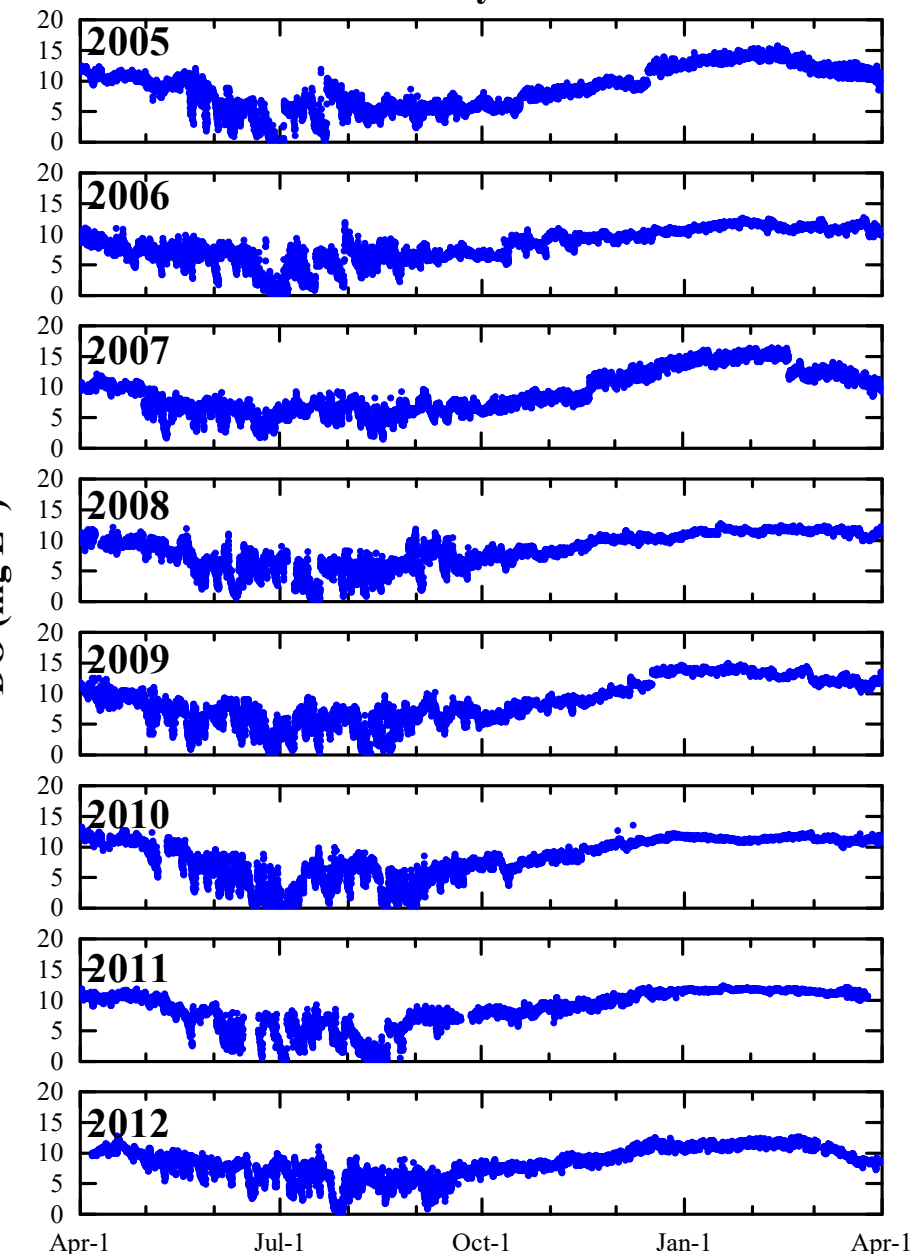
掛馬沖(水深約4m)

Kakeuma-oki



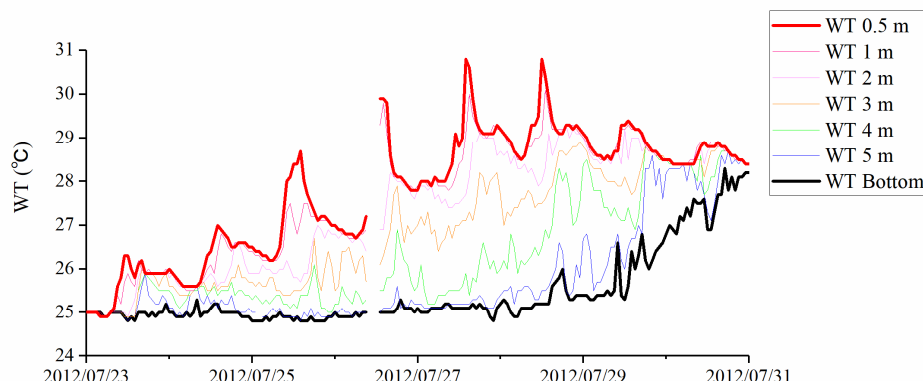
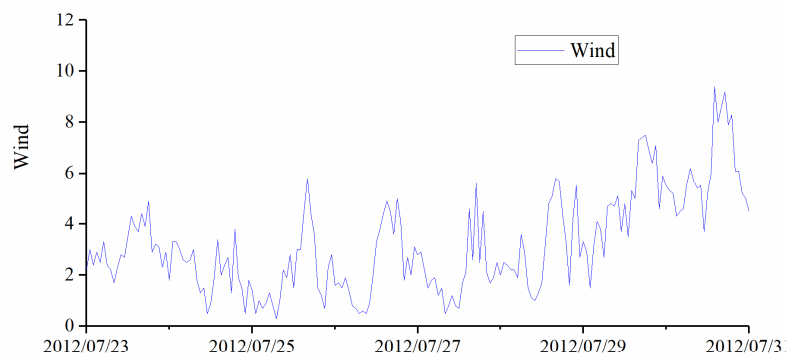
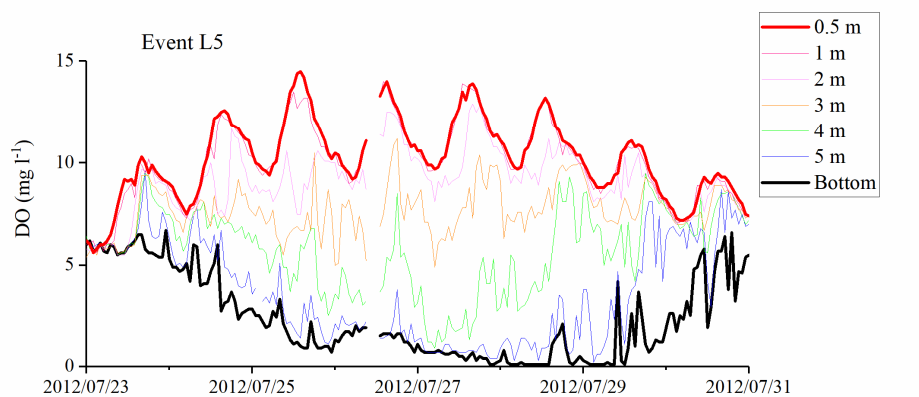
釜谷沖(水深約6m)

Kamaya-oki

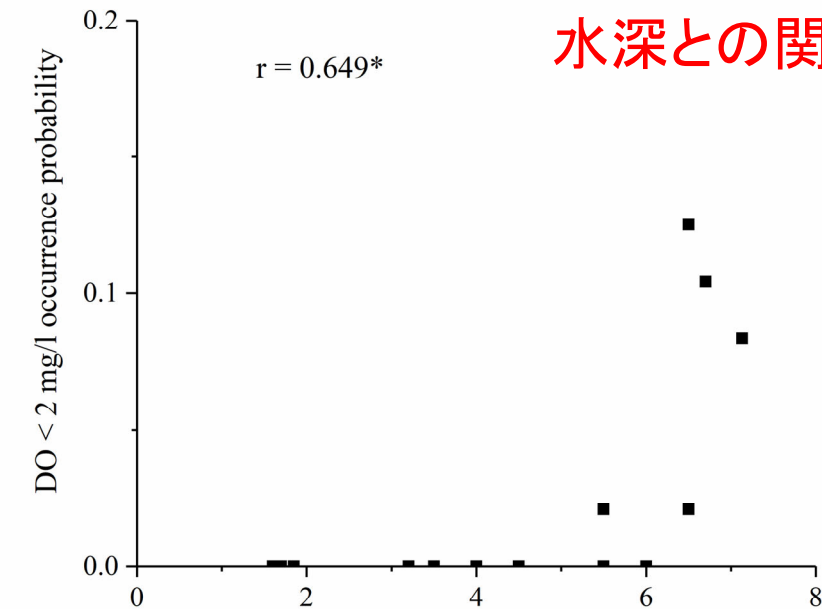


低酸素イベント in a polymictic lake

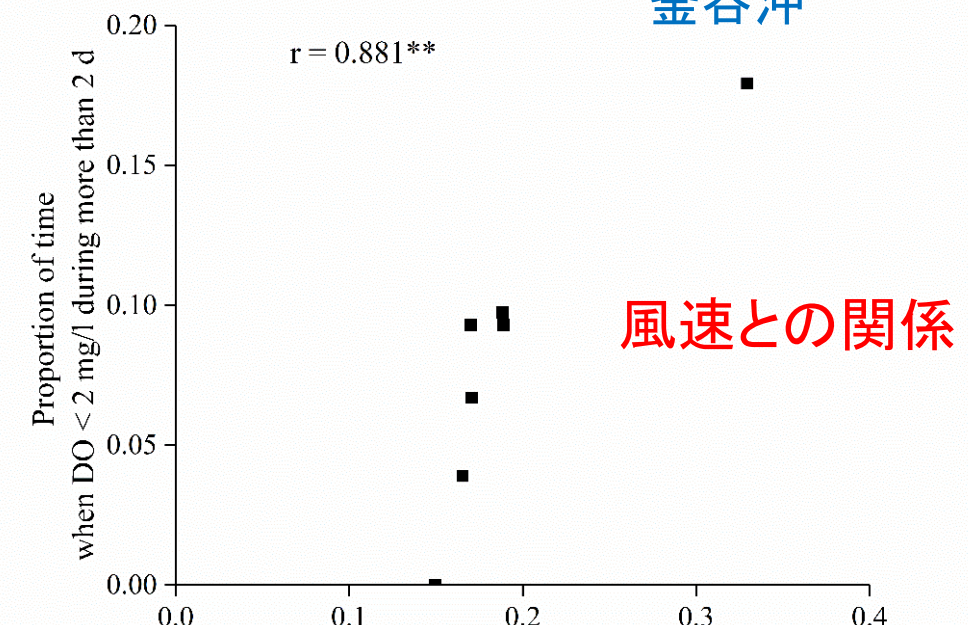
イベント例 釜谷沖



西浦、北浦、外浪逆浦 水深との関係



釜谷沖



低酸素イベント in oligomictic/meromictic lakes

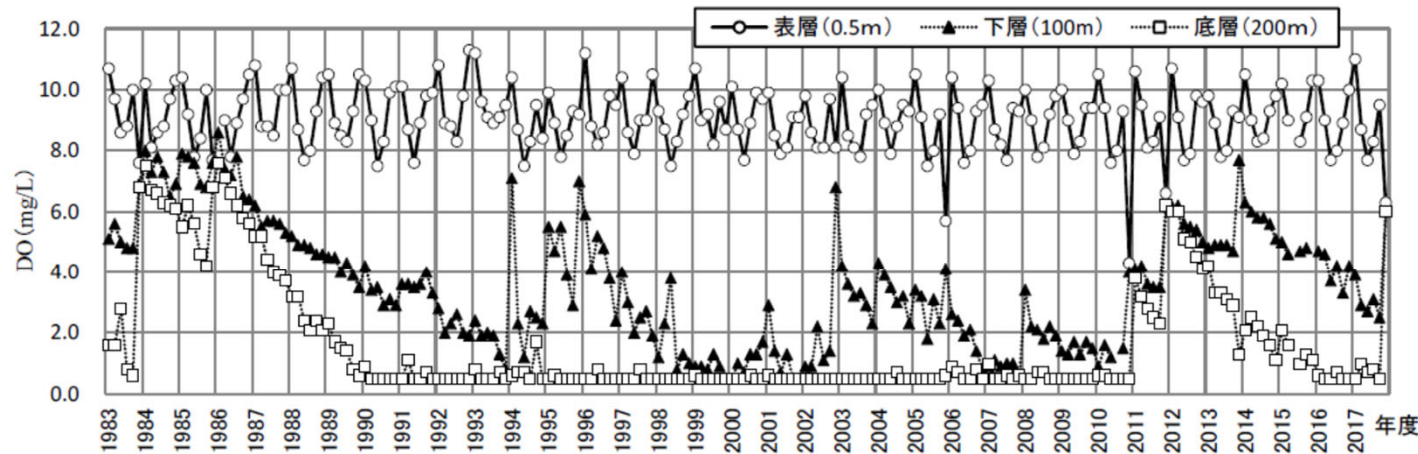
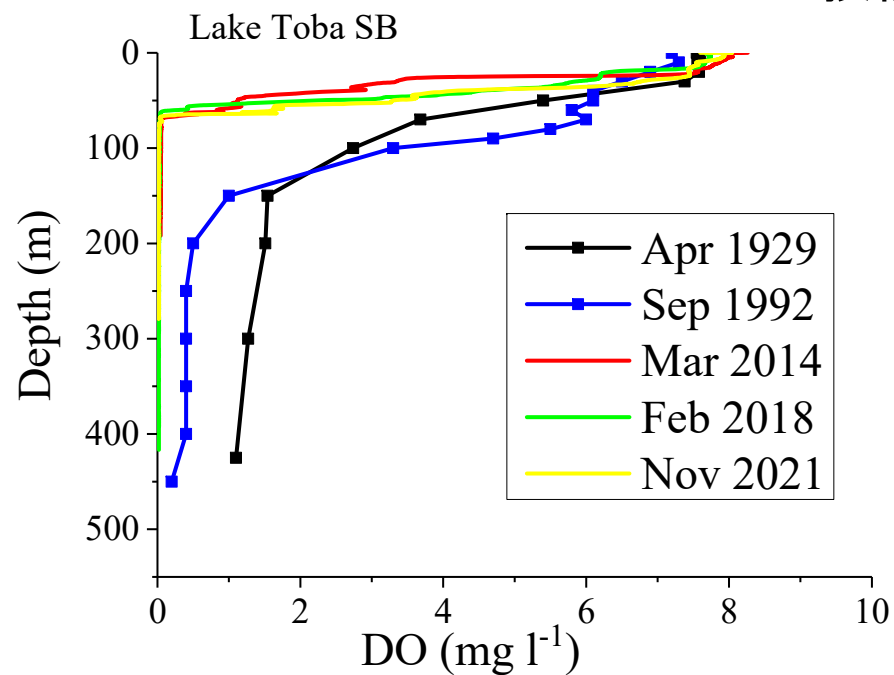
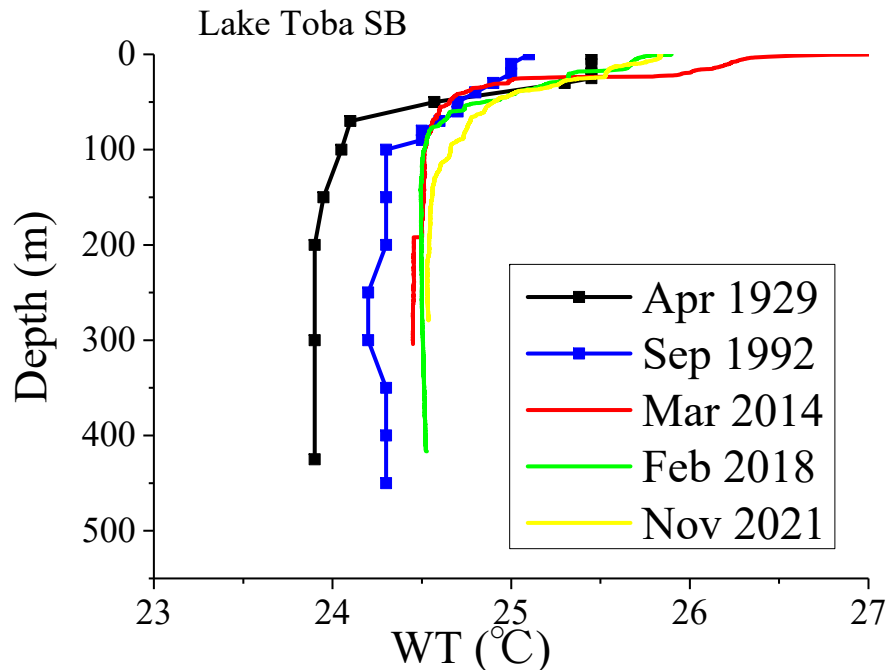


図2 DOの推移（基準点2）

池田湖
牛垣他 (2018)

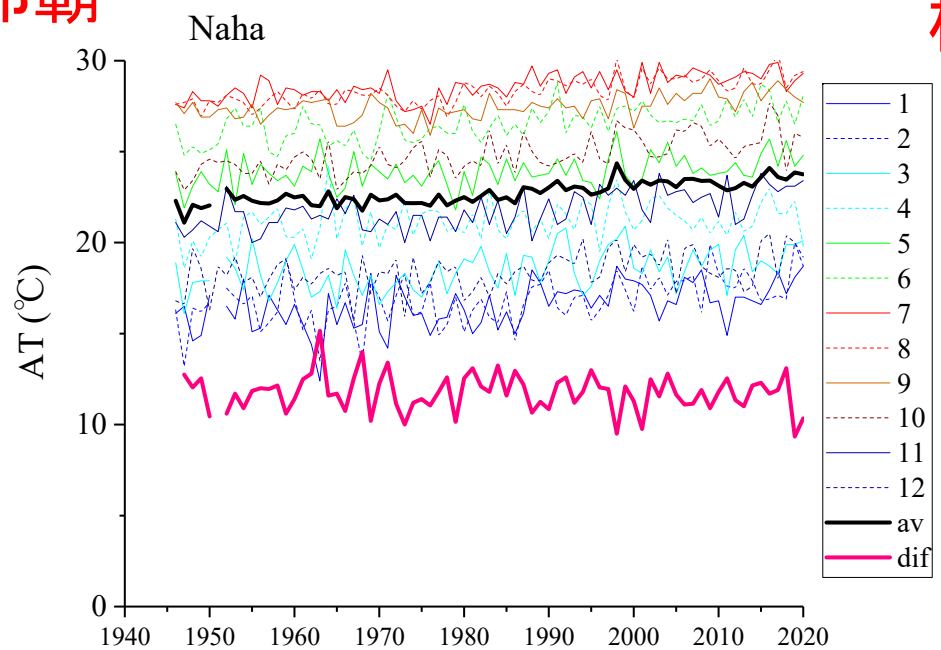
Toba湖

Fukushima et al. 投稿中

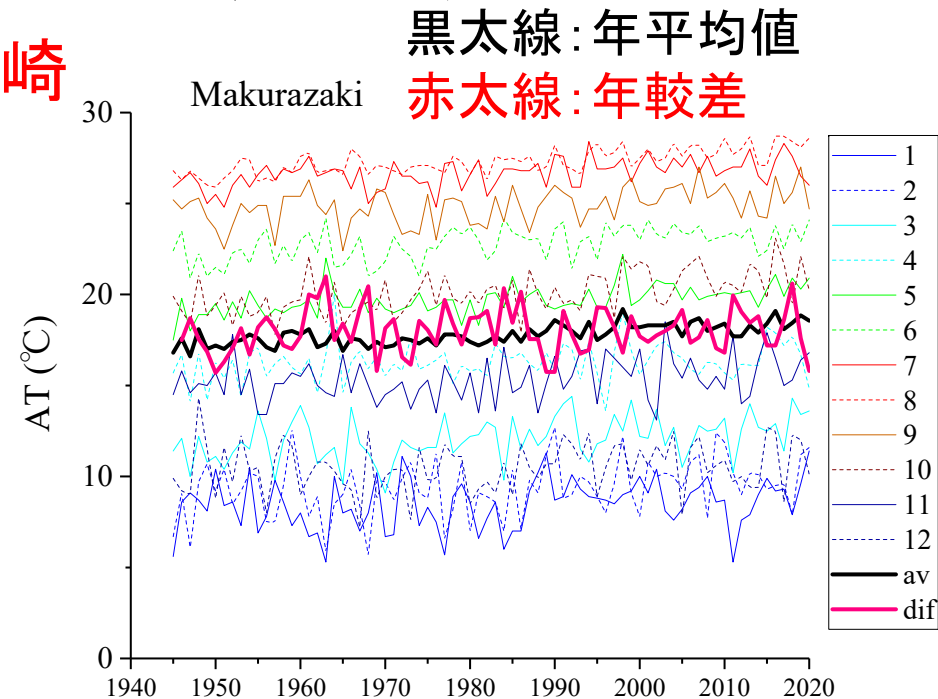


気温の長期変化：将来、年較差は？

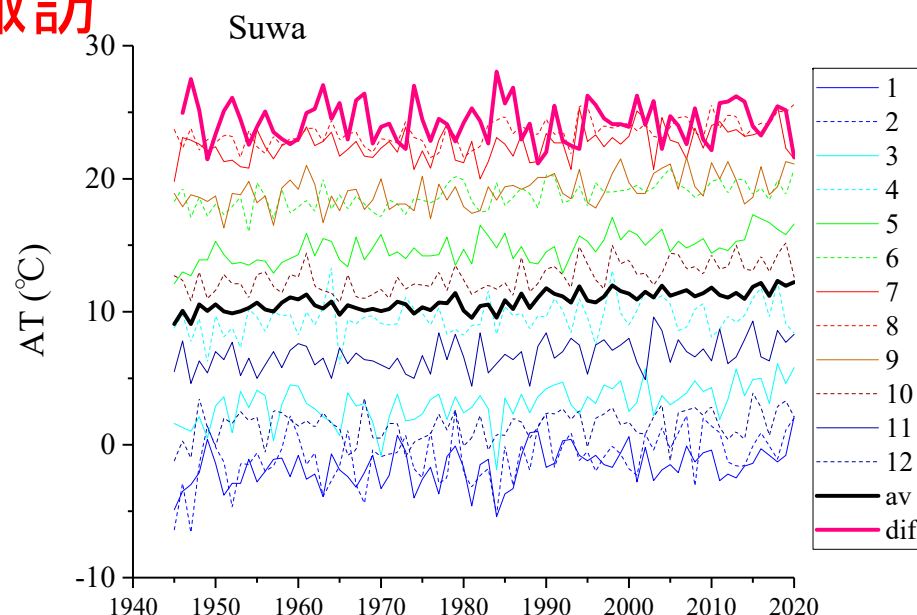
那覇



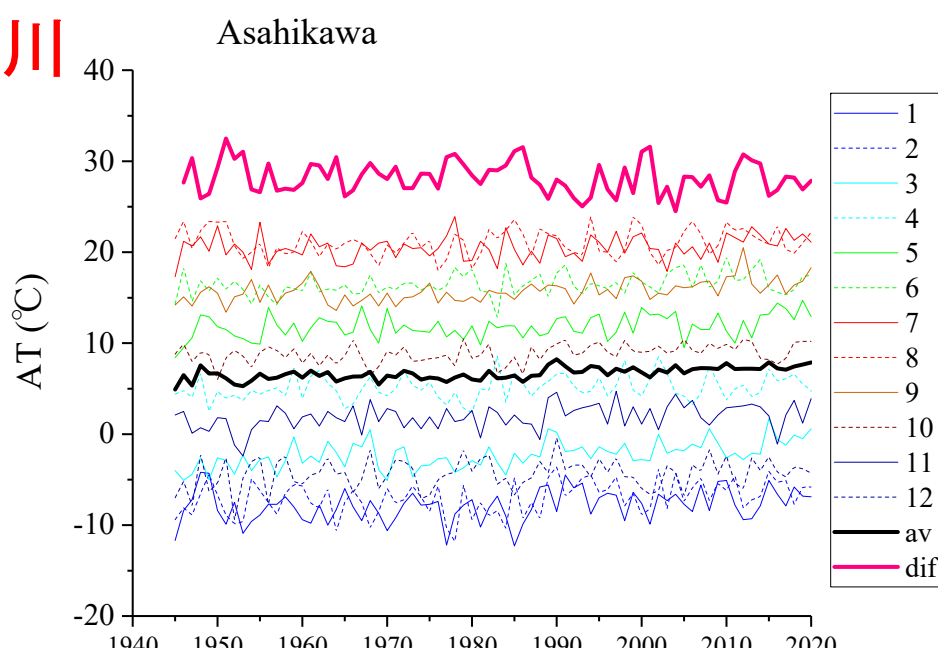
枕崎



諏訪



旭川



浅い湖沼では湖水と底泥との相互作用が重要？

霞ヶ浦の流域特性

- ・ 霞ヶ浦
172 km², 120.5 km
- ・ 北浦
36 km², 74.5 km
- ・ 常陸利根川
12 km², 54.8 km

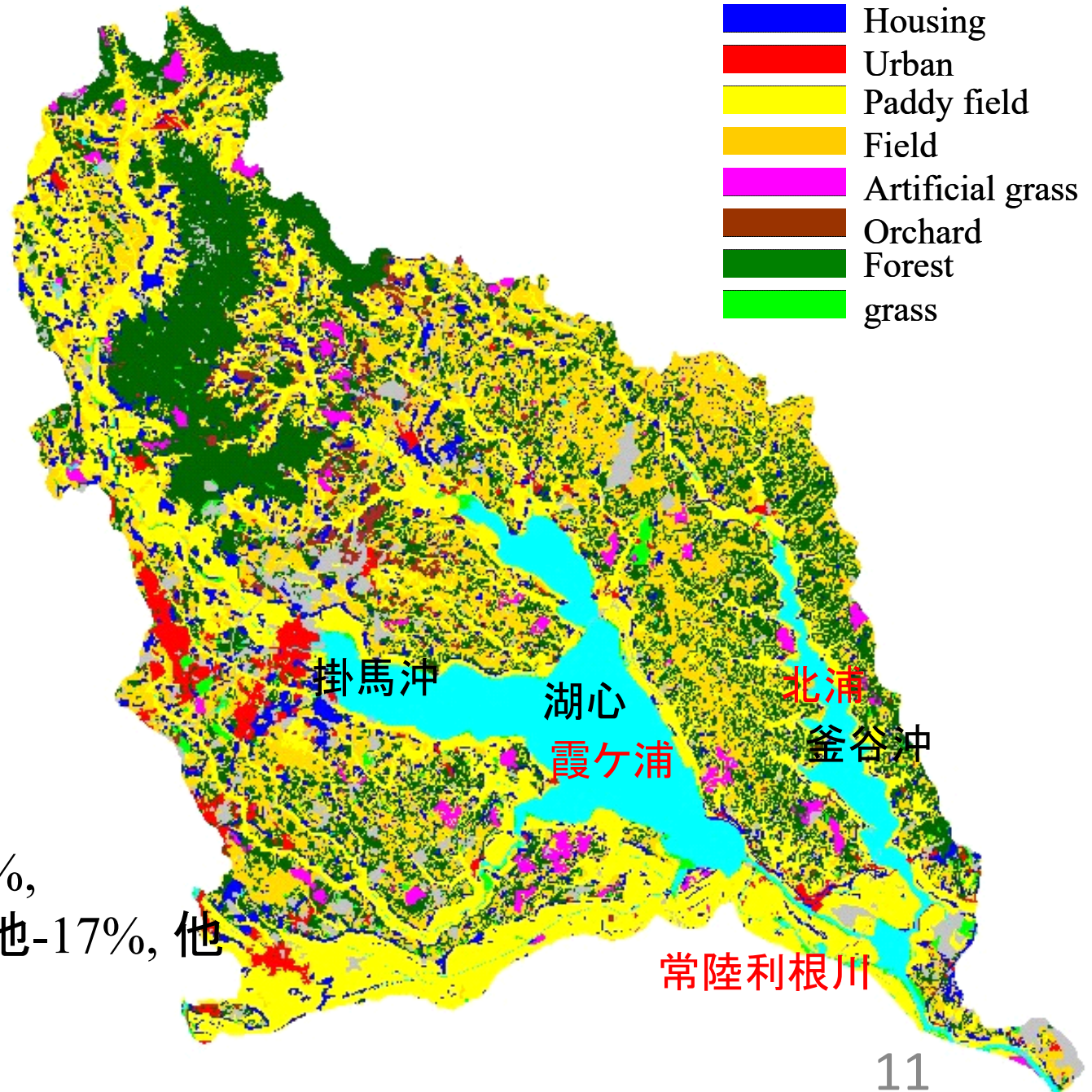
平均水深: 4 m

最大水深: 7 m

流域面積: 2156.7 km²
(湖面積を含む)

人口: 964,000

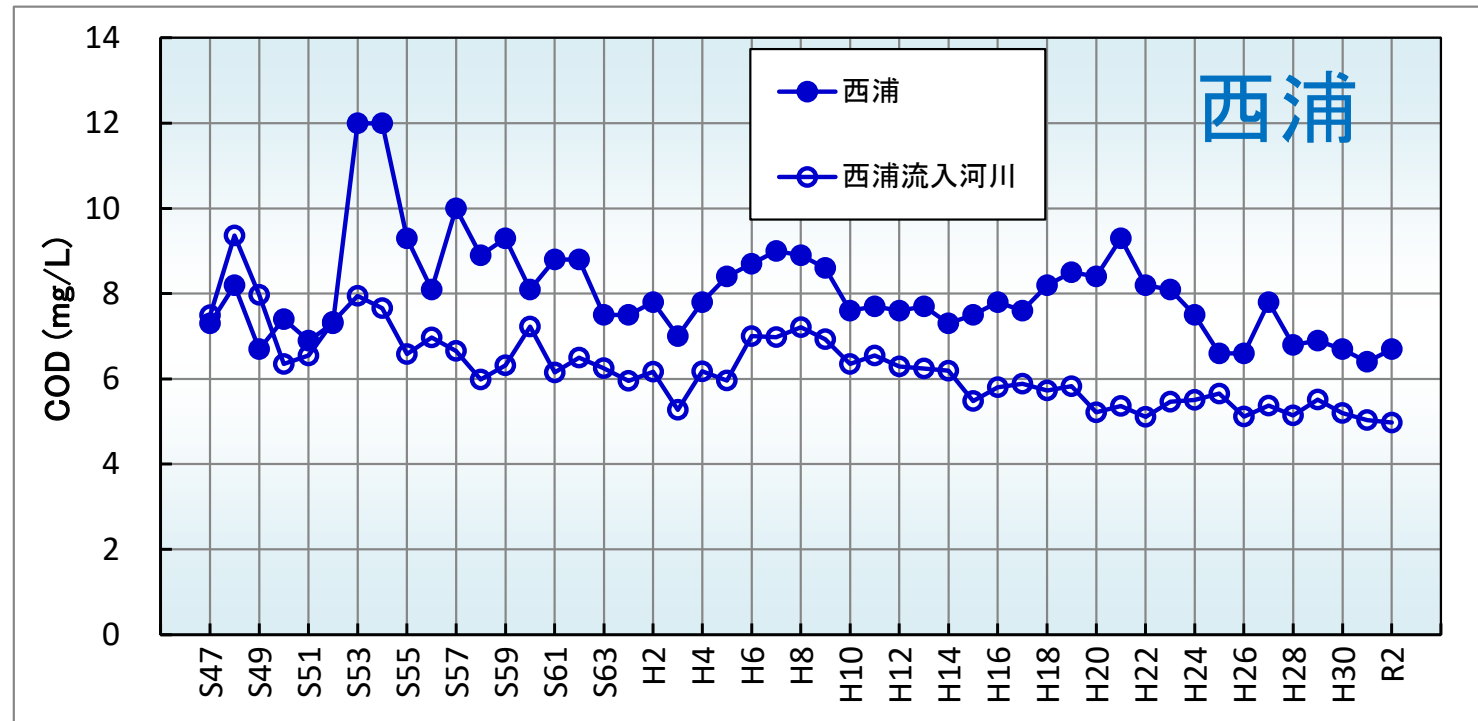
土地利用・被覆: 森林-20%,
水田-22%, 畦-16%, 市街地-17%, 他



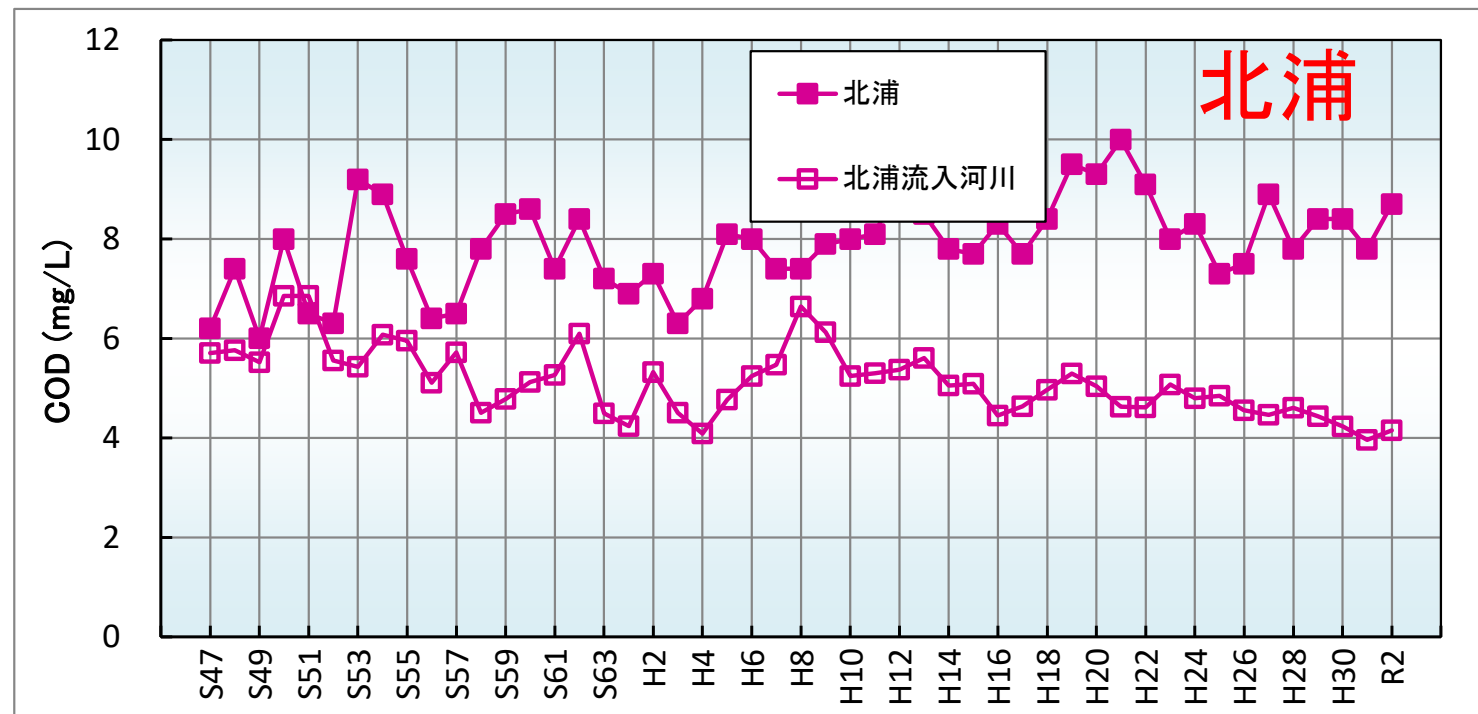
COD

内部生産

西浦と北浦
の差は？



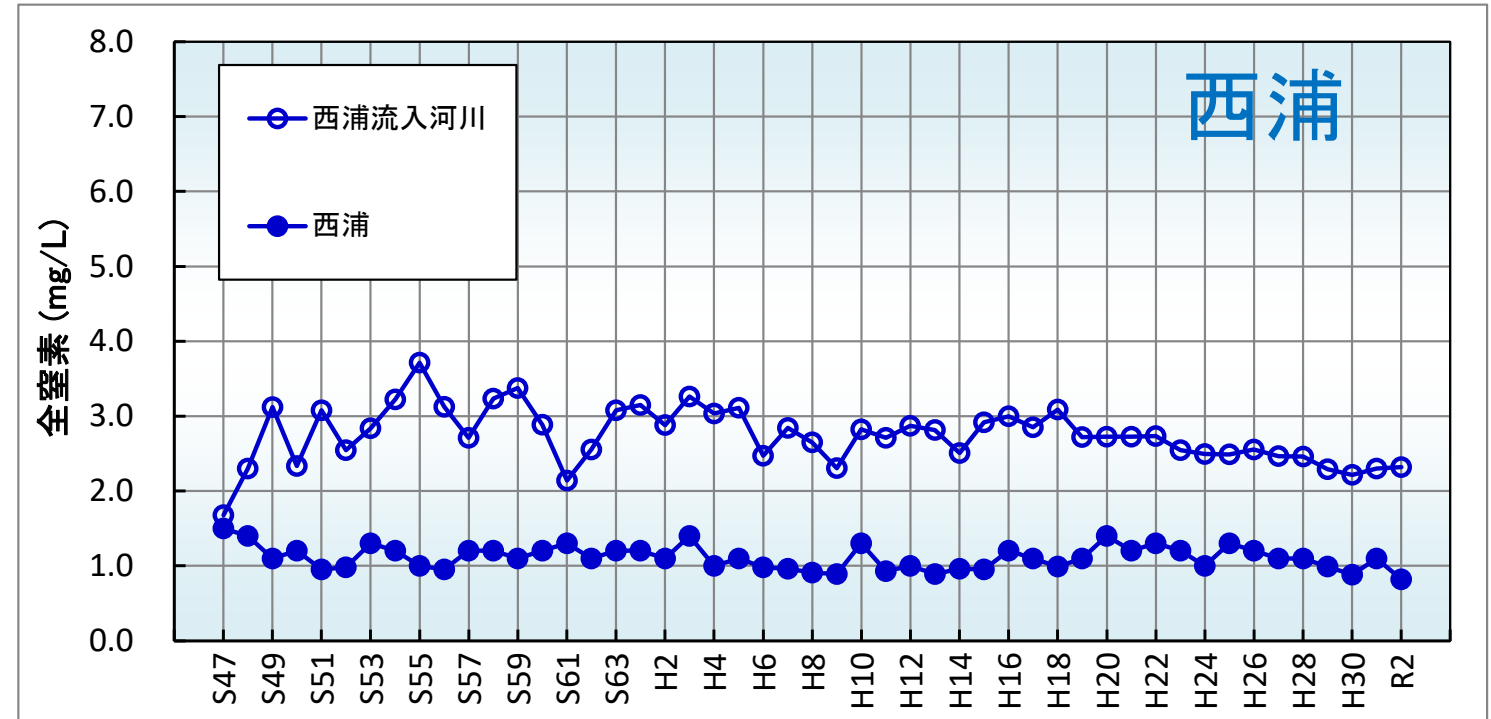
西浦



北浦

TN

脱窒

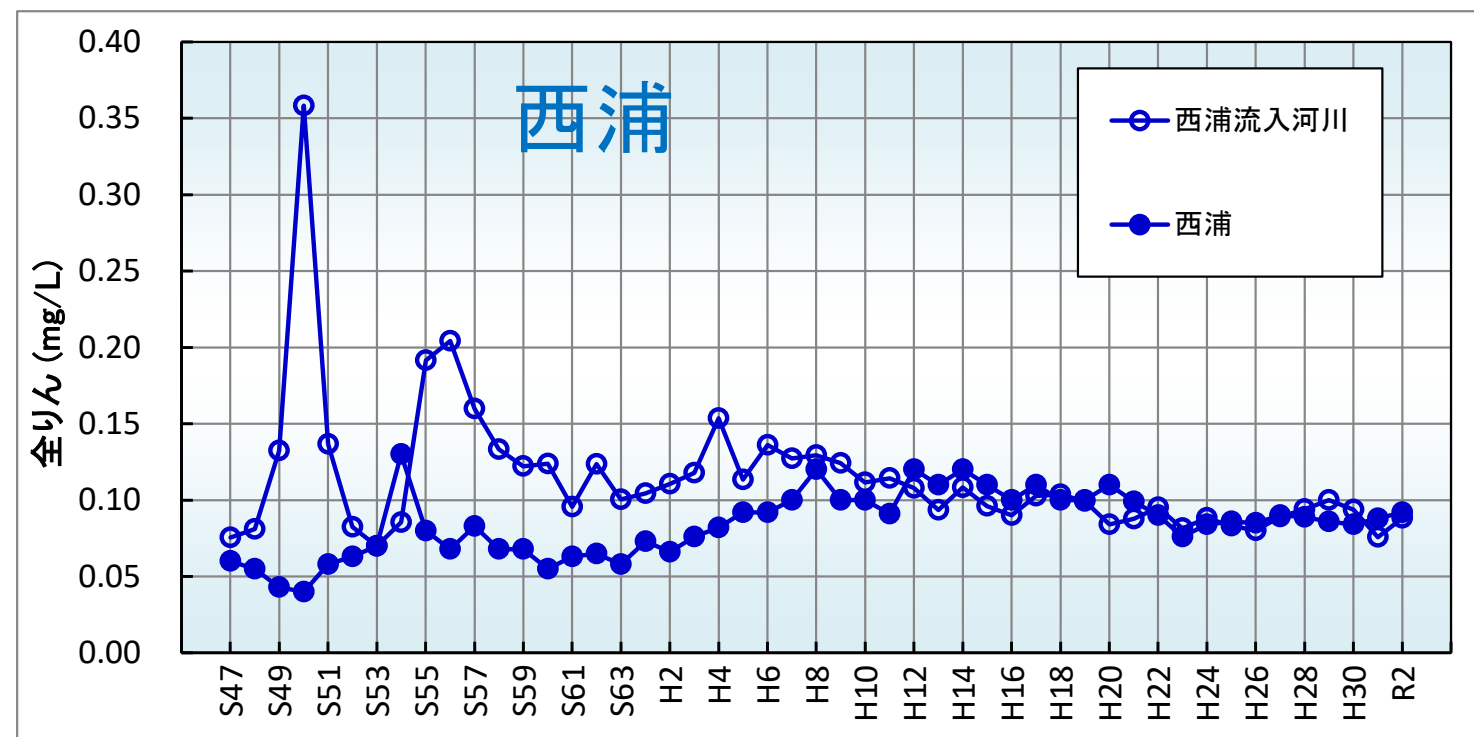


底層のDO
状態の差?

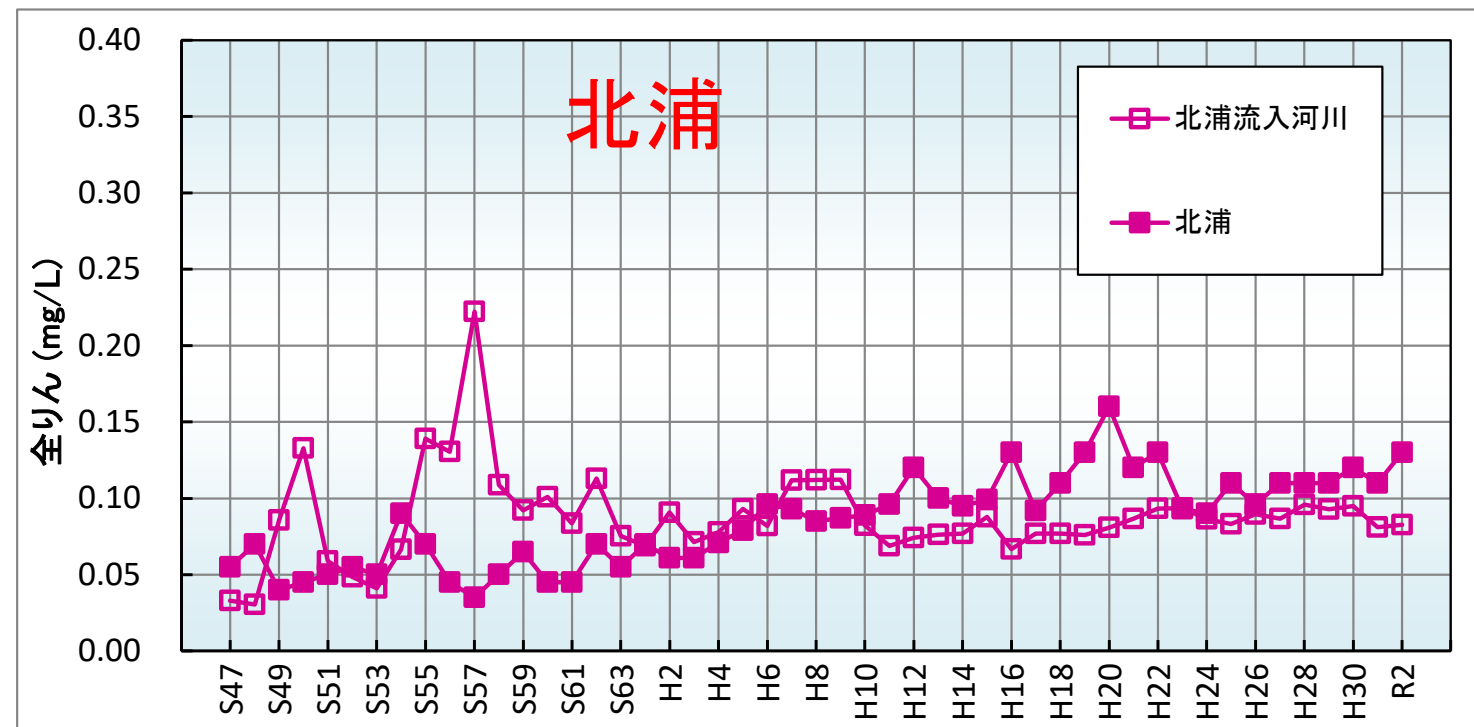


溶出

TP

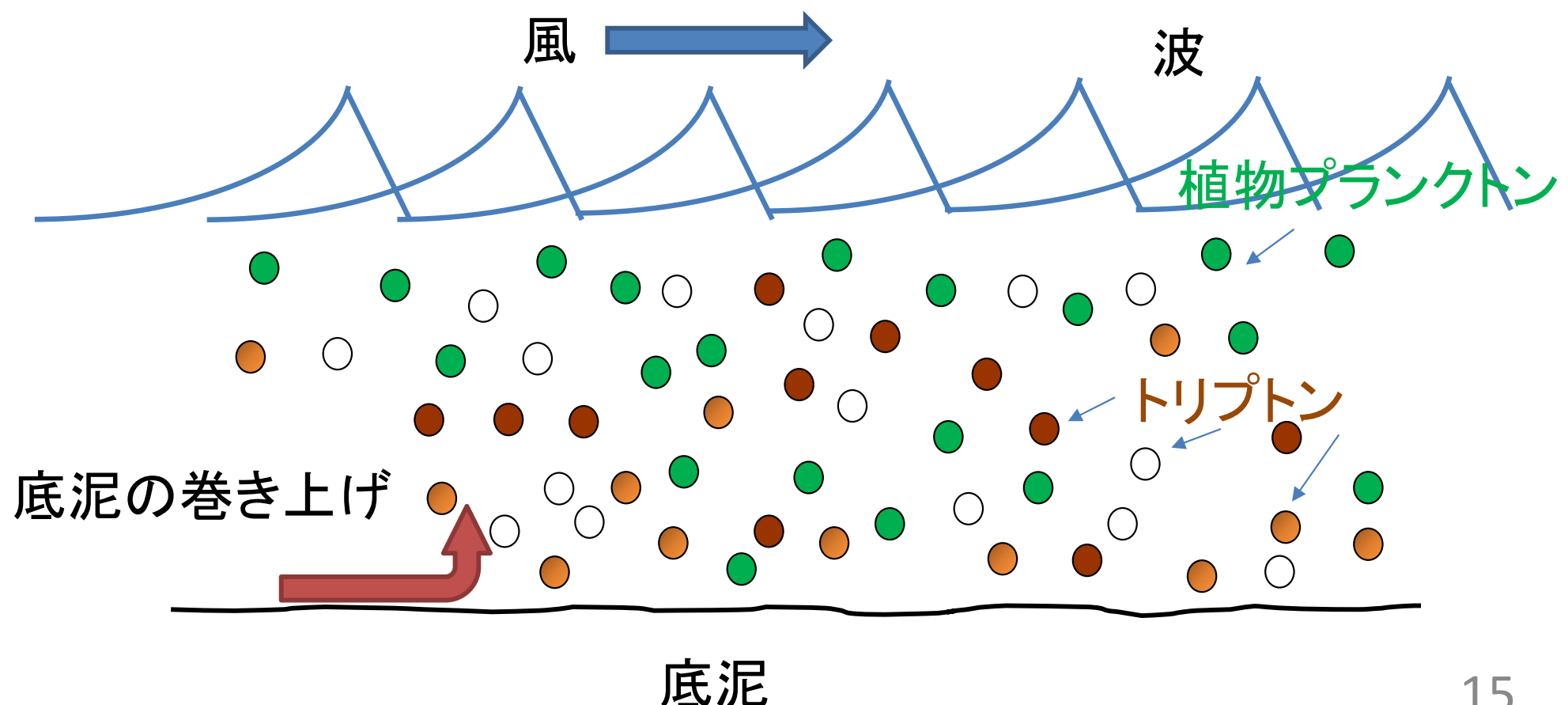


底層のDO
状態の差？



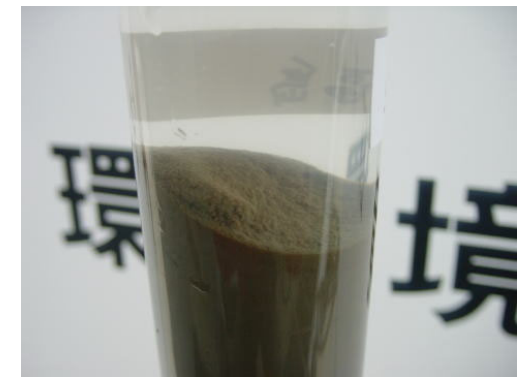
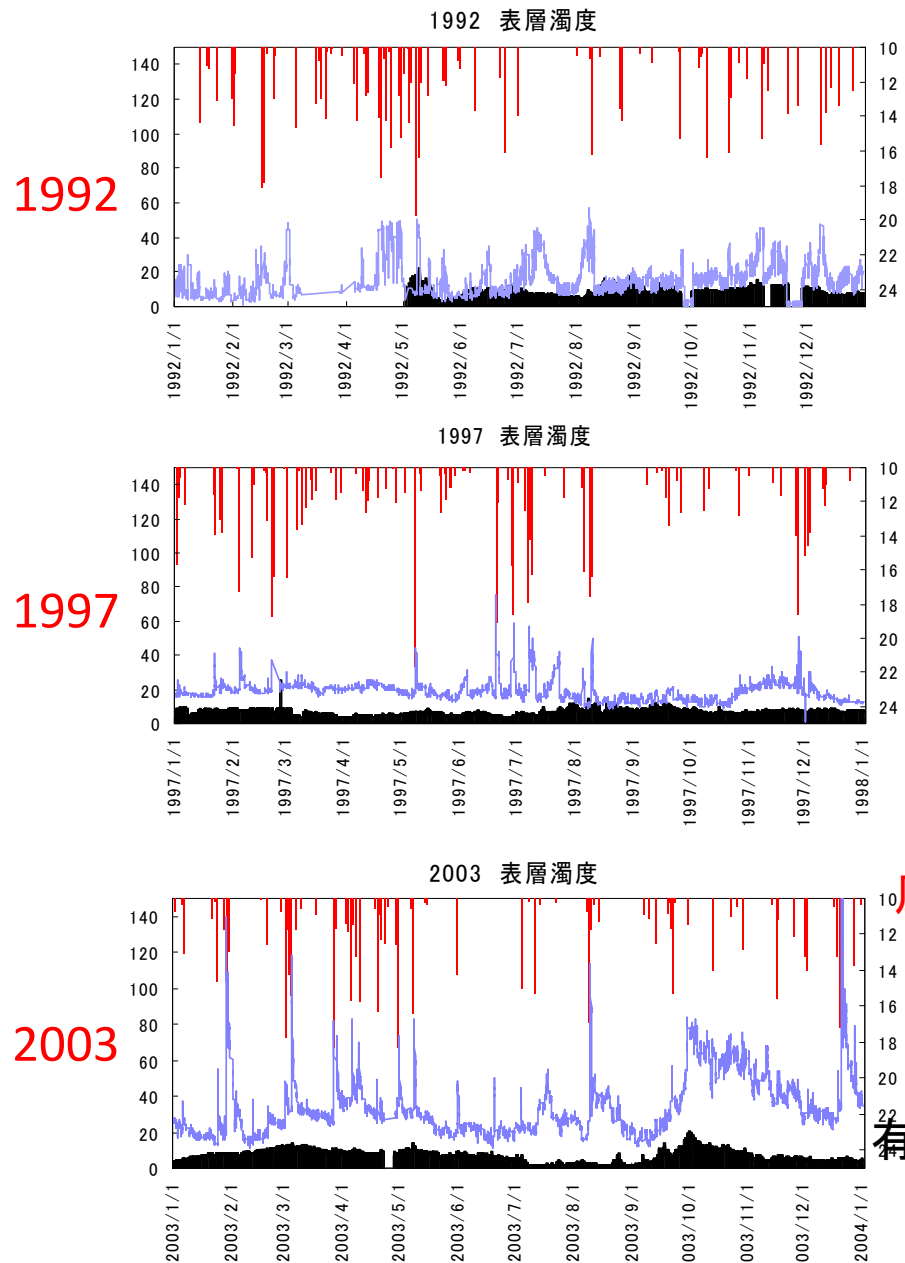
底泥の巻き上げ

光環境
ケイ素濃度
美観

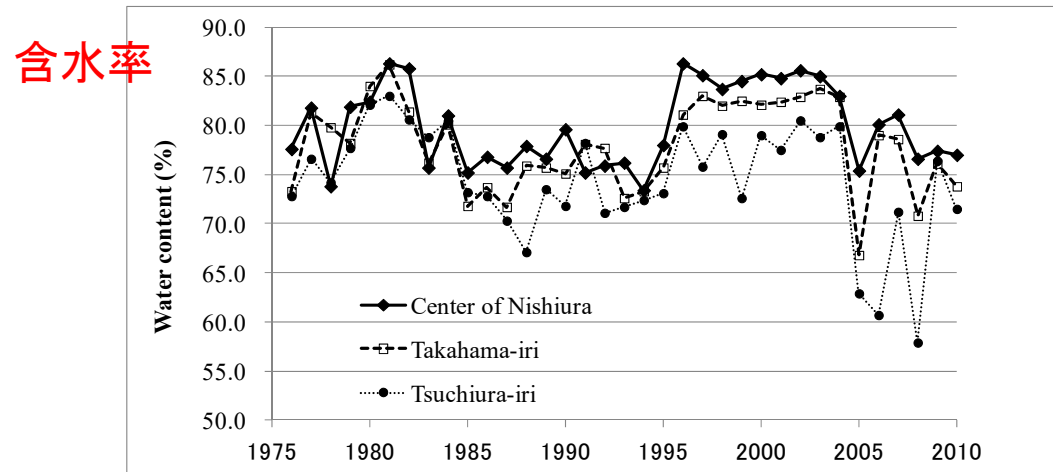


濁度の上昇

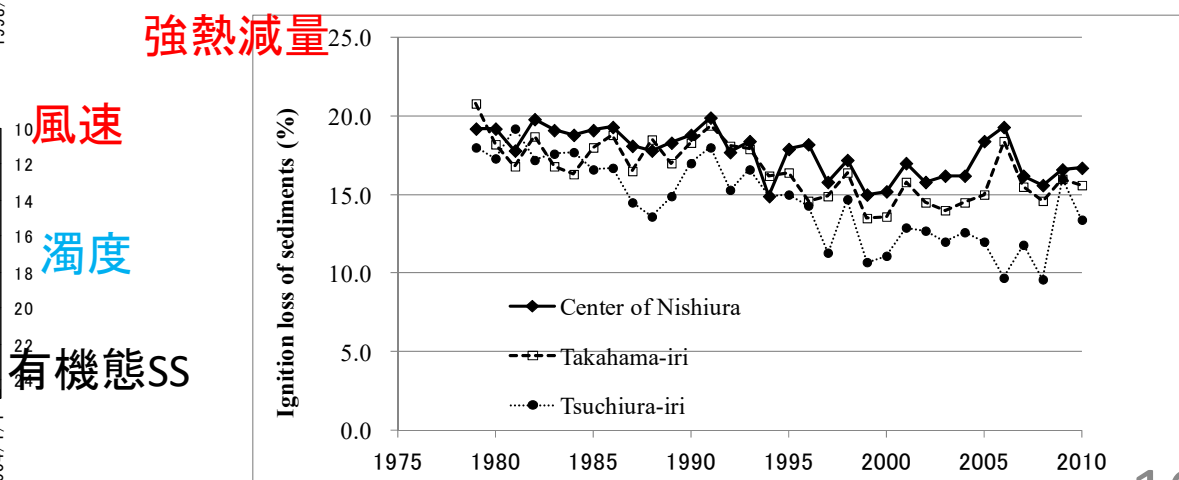
関他 (2006)



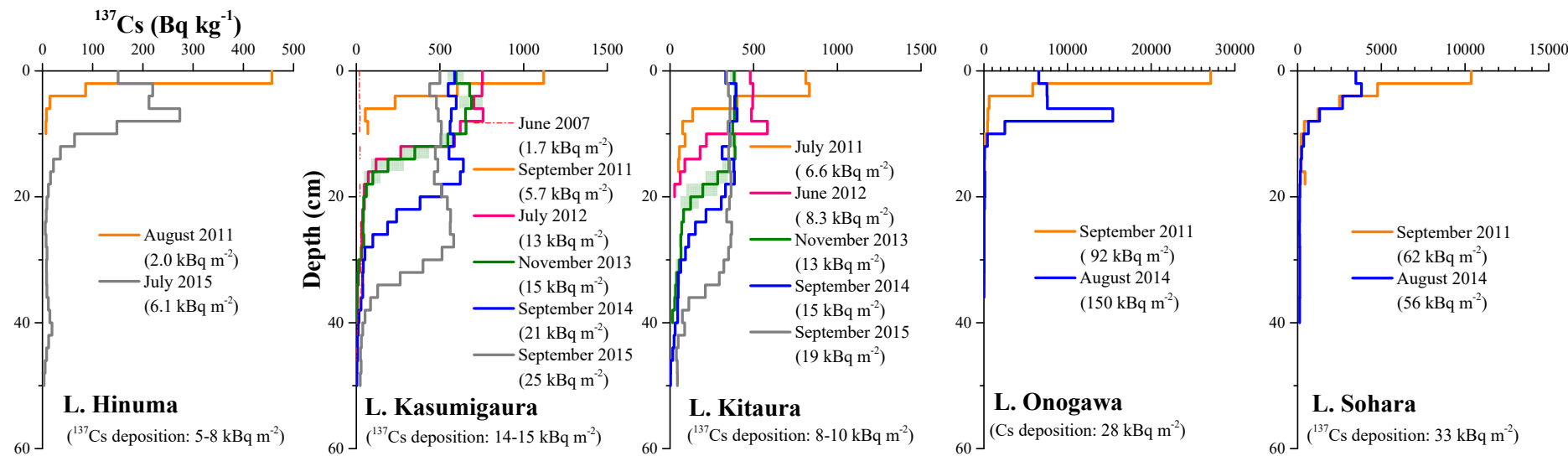
霞ヶ浦河川事務所 底泥組成



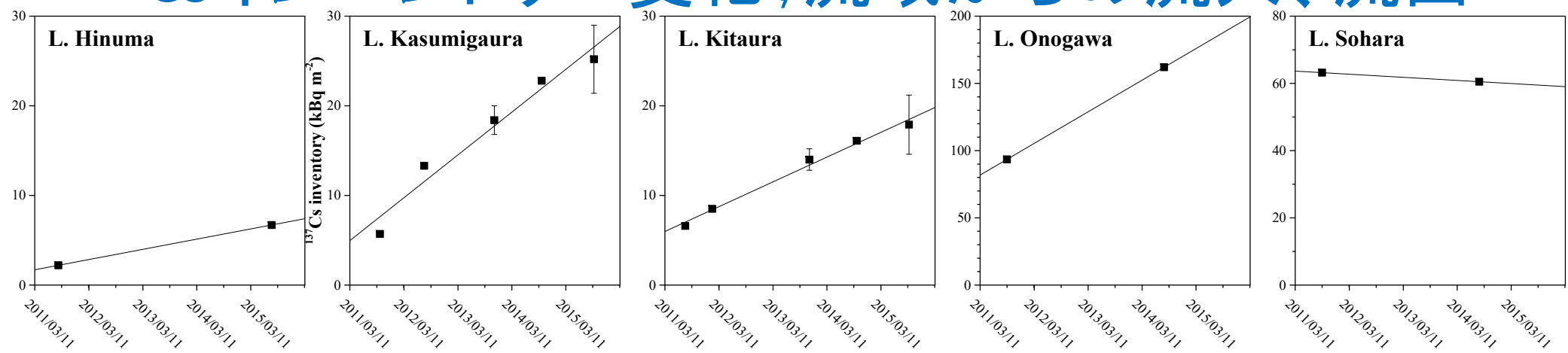
強熱減量



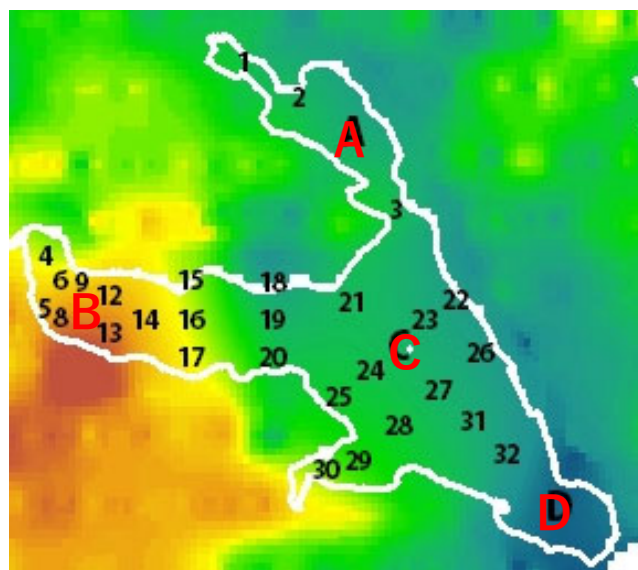
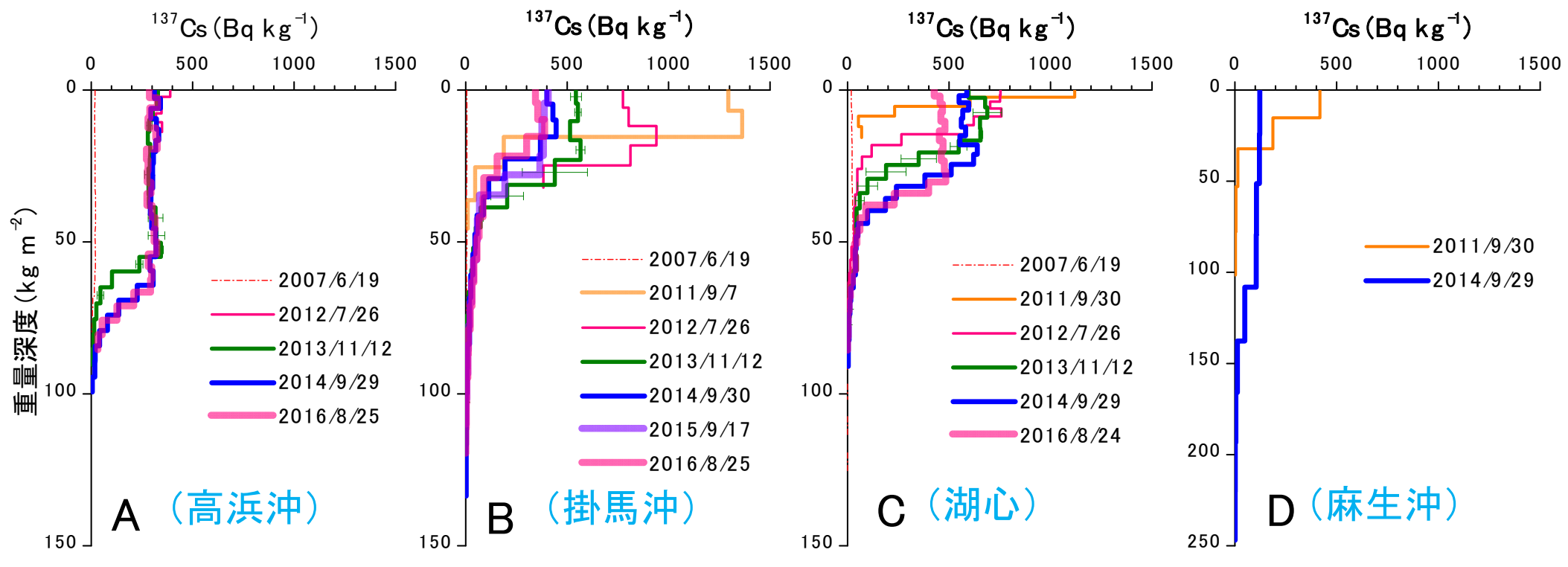
湖沼底泥中の ^{137}Cs の鉛直分布変化



涸沼 霧ヶ浦 北浦 小野川湖 曾原湖 ^{137}Cs インベントリー変化; 流域からの流入、流出

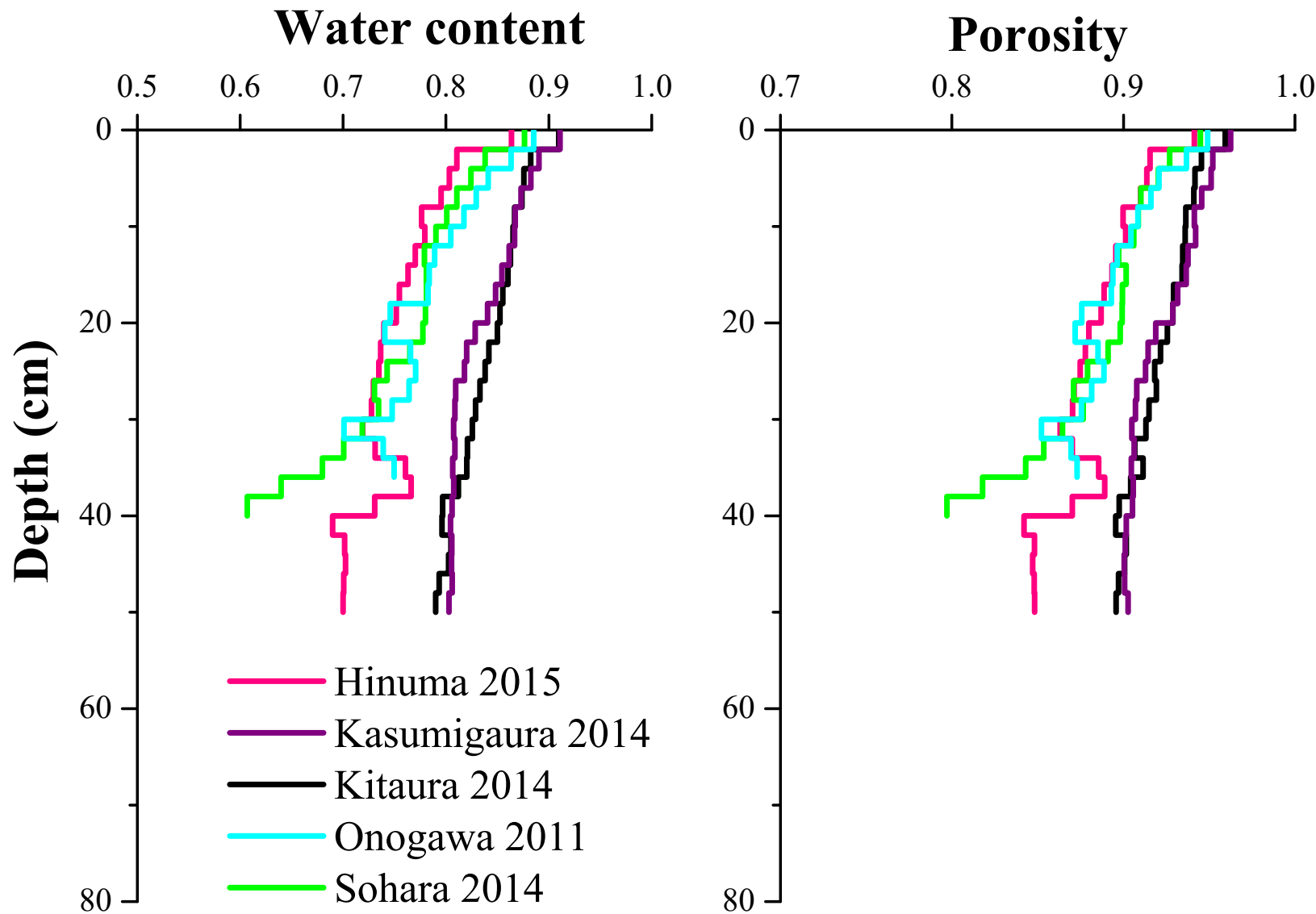


底質中の¹³⁷Cs濃度鉛直分布の経年変化(西浦)



Arai et al. 投稿中

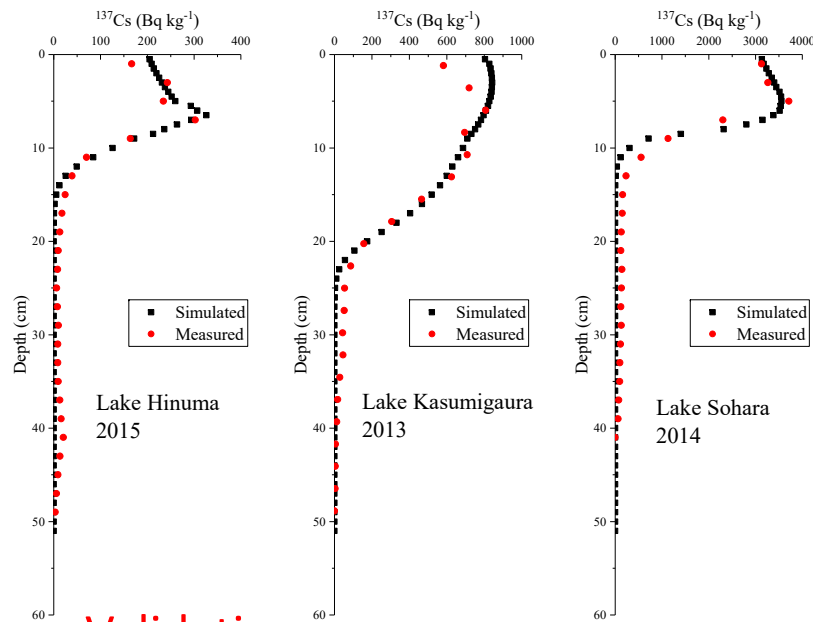
底質の含水率、間隙率の鉛直分布



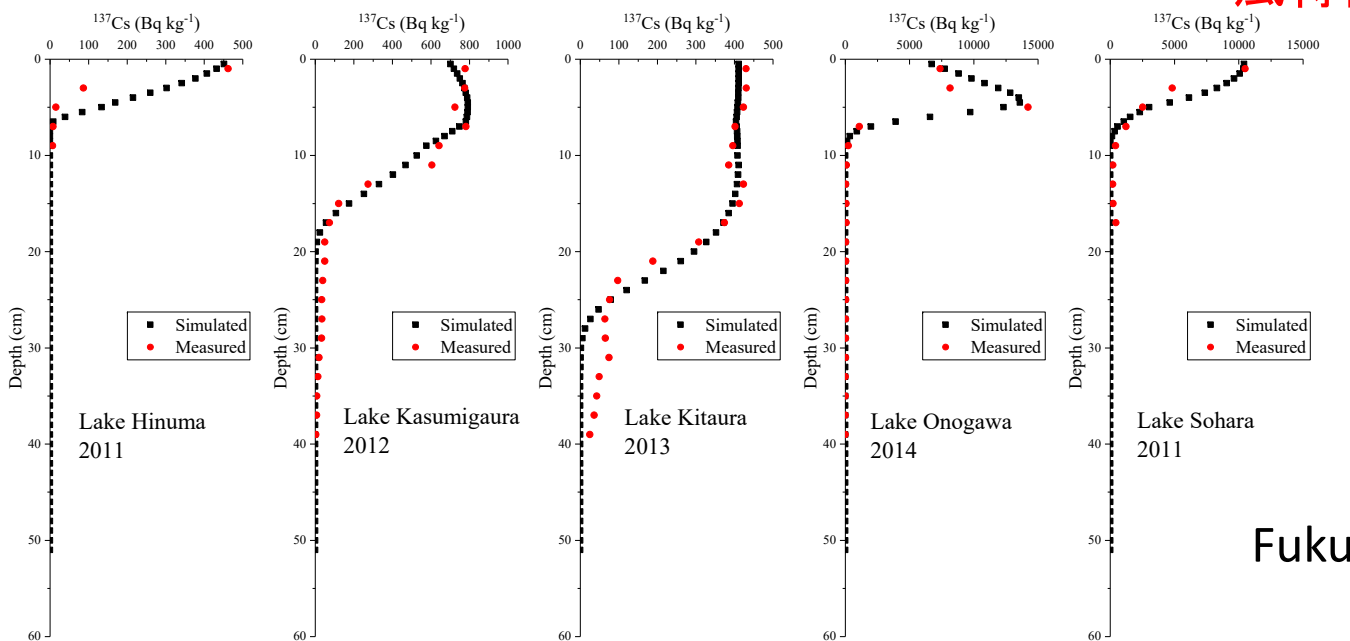
Fukushima et al. (2018) STOTEN

底質中の¹³⁷Cs濃度鉛直分布の数値シミュレーション

Calibration



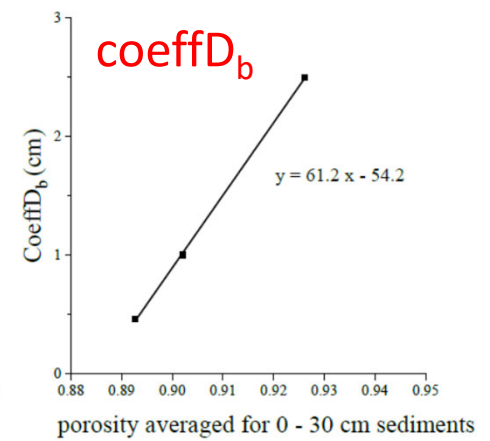
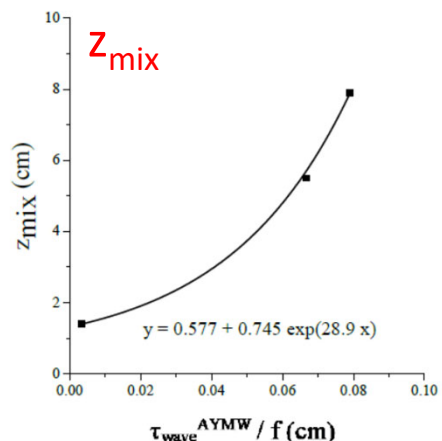
Validation



$$D_{pd} = \beta_1, \quad z \leq z_{mix}$$

$$D_{pd} = \beta_1 \exp(-(z - z_{mix})/\text{coeff}D_b), \quad z_{mix} < z \leq z_b$$

$$D_{pd} = 0, \quad z > z_b$$



風特性

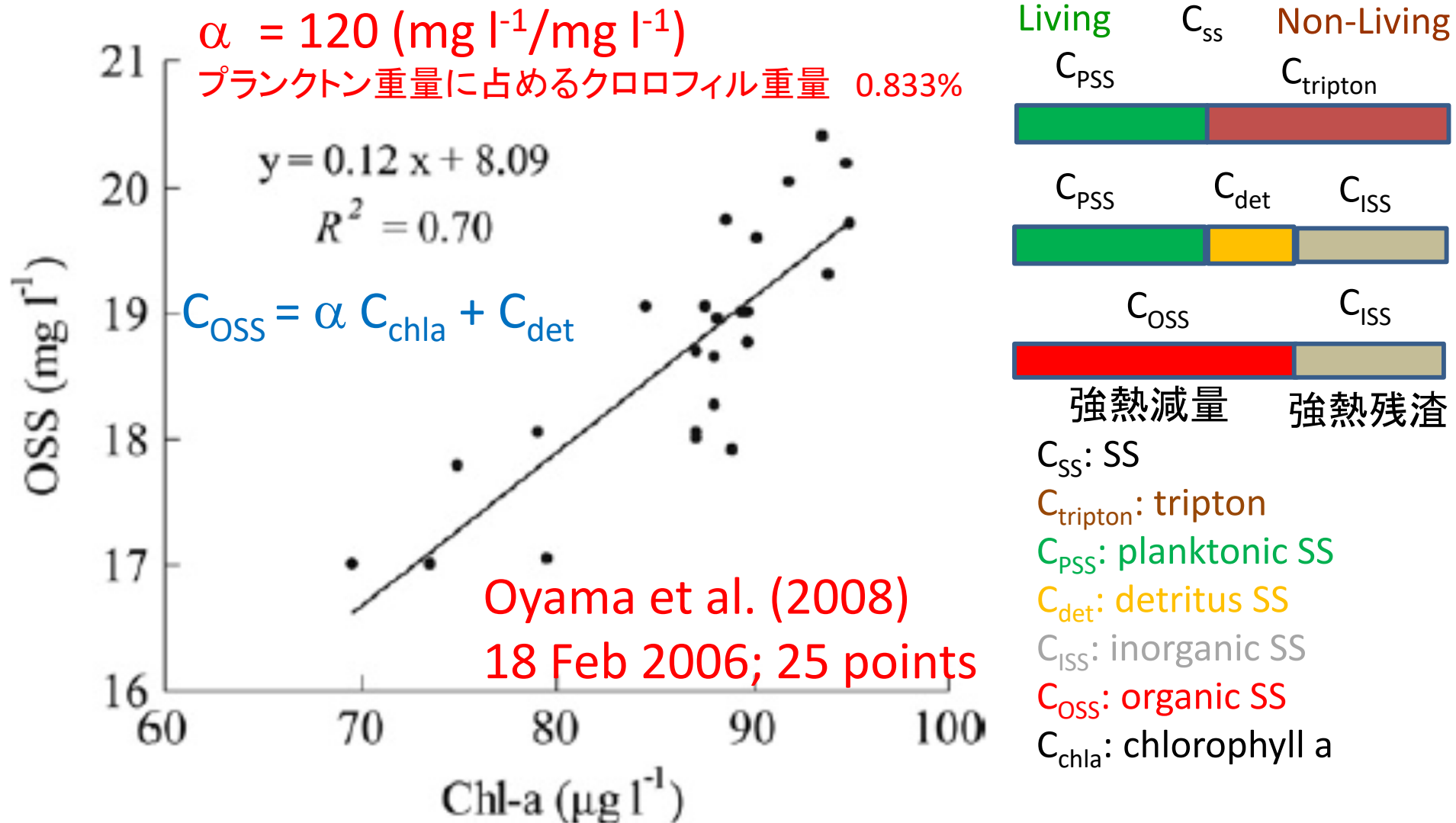
底泥間隙率

Fukushima et al. (2018) STOTEN

トリプトン(tripton)濃度の 長期変化の原因是？

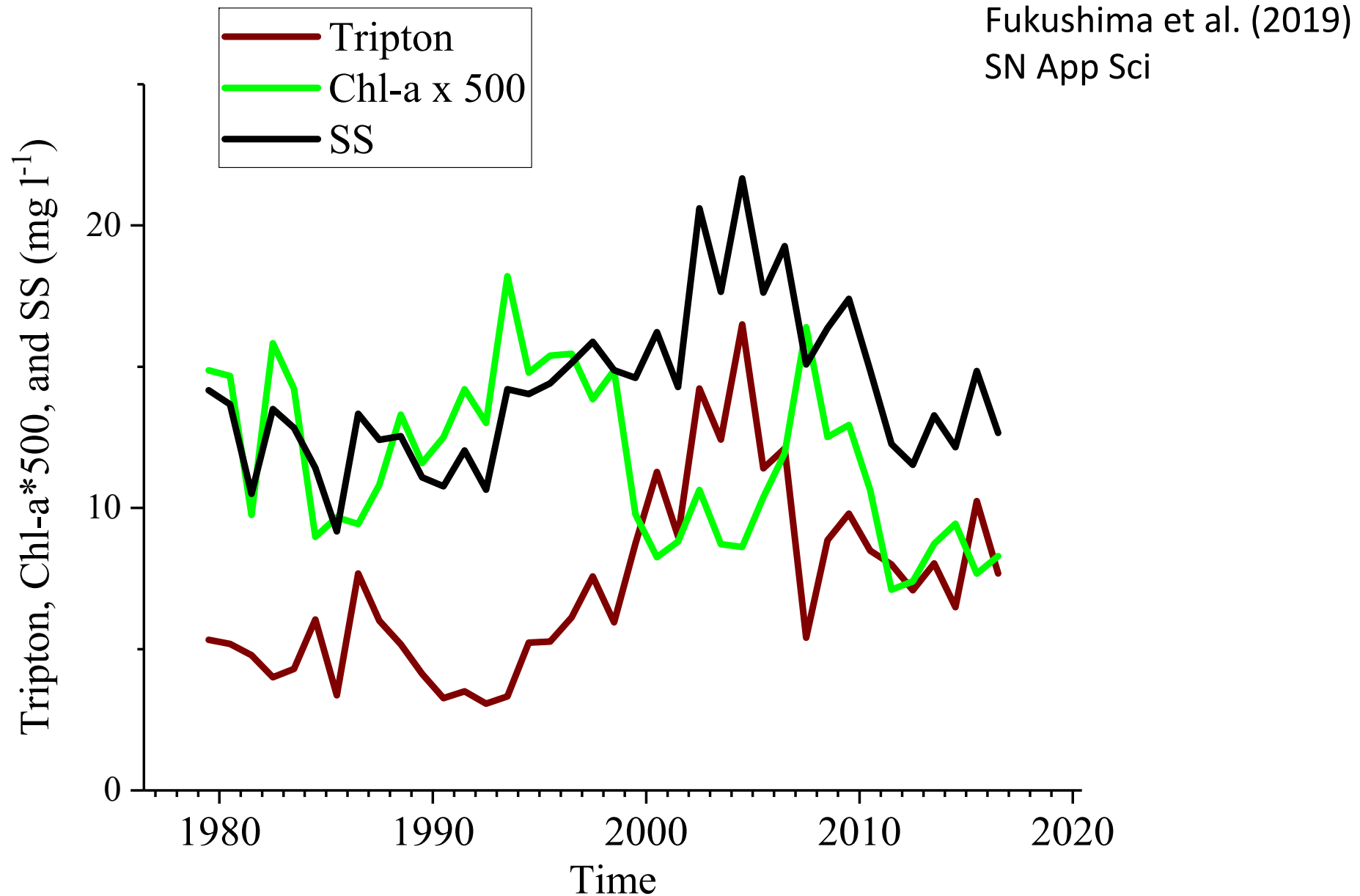
トリプトン濃度の推定方法

Fukushima et al. (2019)
SN App Sci



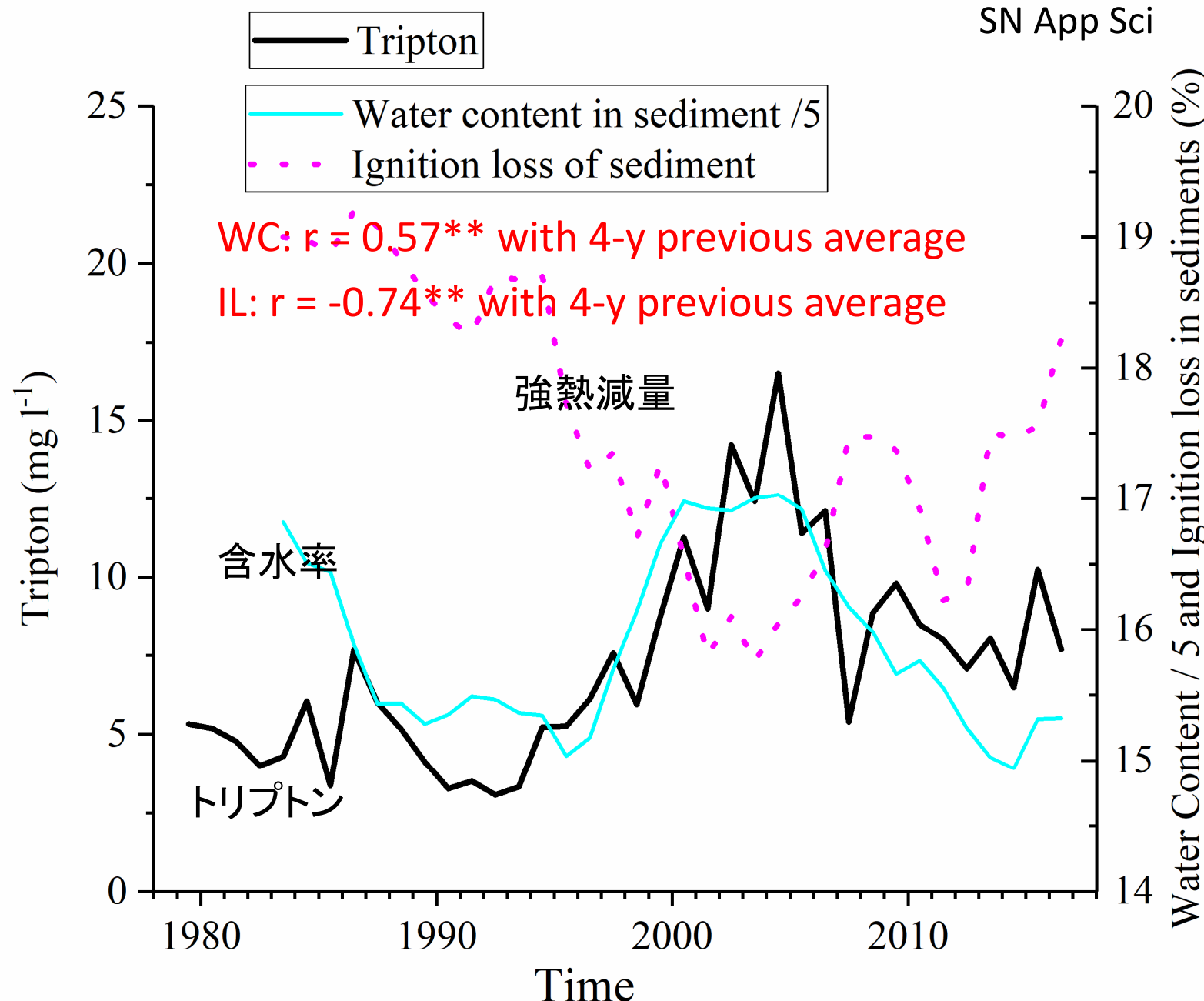
- ◆ $C_{ss} = C_{PSS} + C_{tripton} = C_{PSS} + C_{det} + C_{ISS} = C_{OSS} + C_{ISS}$
- ◆ $C_{PSS} = \alpha C_{chla}$, then $C_{OSS} = \alpha C_{chla} + C_{det}$, $C_{tripton} = C_{ss} - \alpha C_{chla}$
- ◆ α and C_{det} are constant over the whole lake.

霞ヶ浦湖心でのトリプトン、クロロフィルa、 SSの経年変化



トリプトン濃度と底泥含水率、強熱減量の経年変化

Fukushima et al. (2019)
SN App Sci



水理実験での底泥巻き上げ特性

底泥流送限界の応力

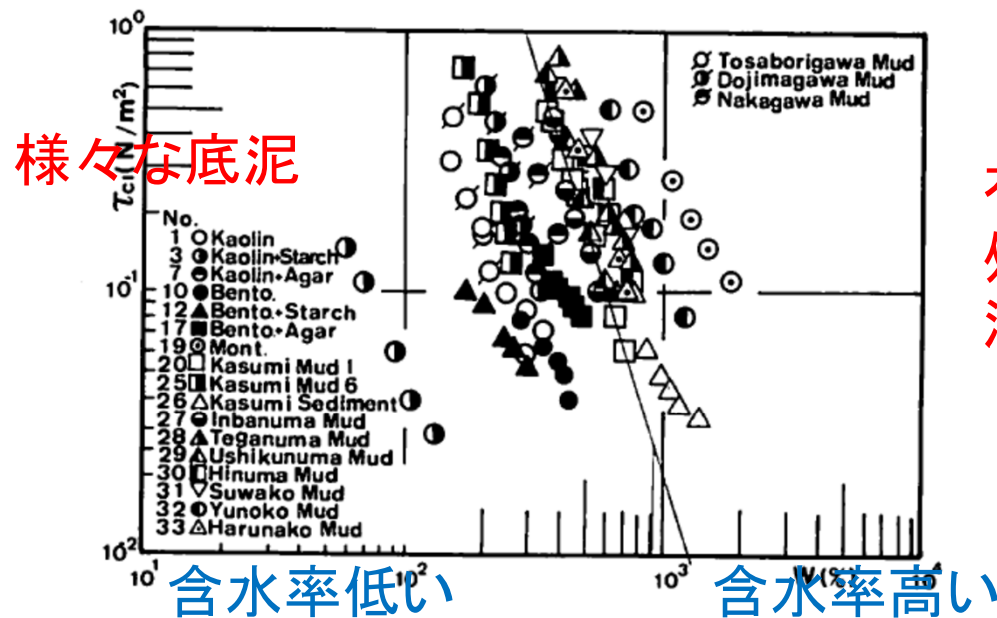


図 8-1 流送限界と含水比の関係

Fig. 8-1 Relationships between the shear stress for the limit of mud particle's movement and water content in percent of dry weight

底泥流送限界の応力

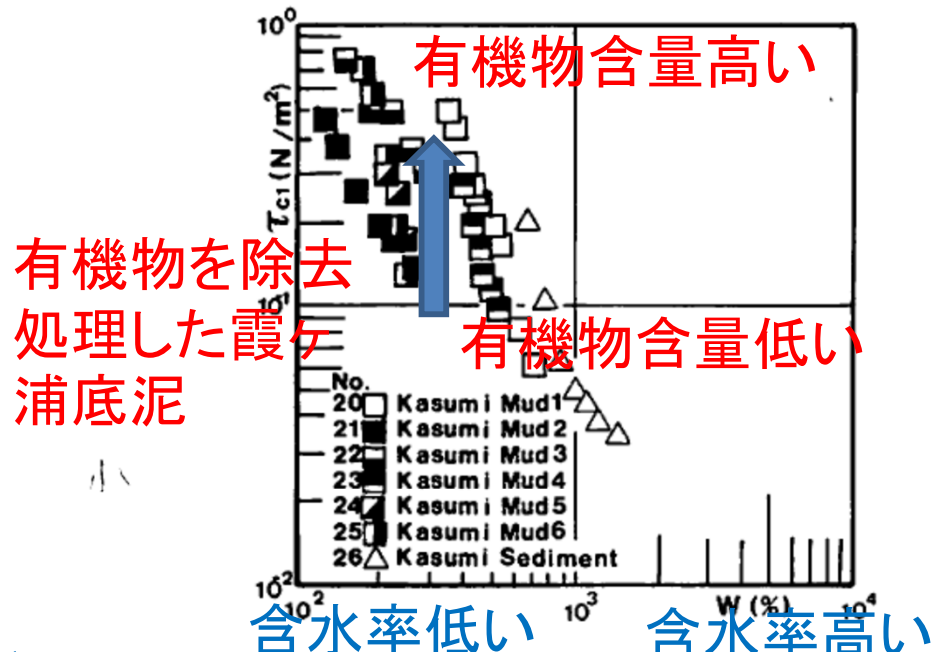


図 8-3 流送限界に及ぼす底泥の有機物処理の影響

Fig. 8-3 Effects of treatments for the organic matter in mud on the shear stress of the limit of mud particle's movement

大坪 (1983)

予測トリプトン $r^2 = 0.63$, adjusted $r^2 = 0.61$, n=34

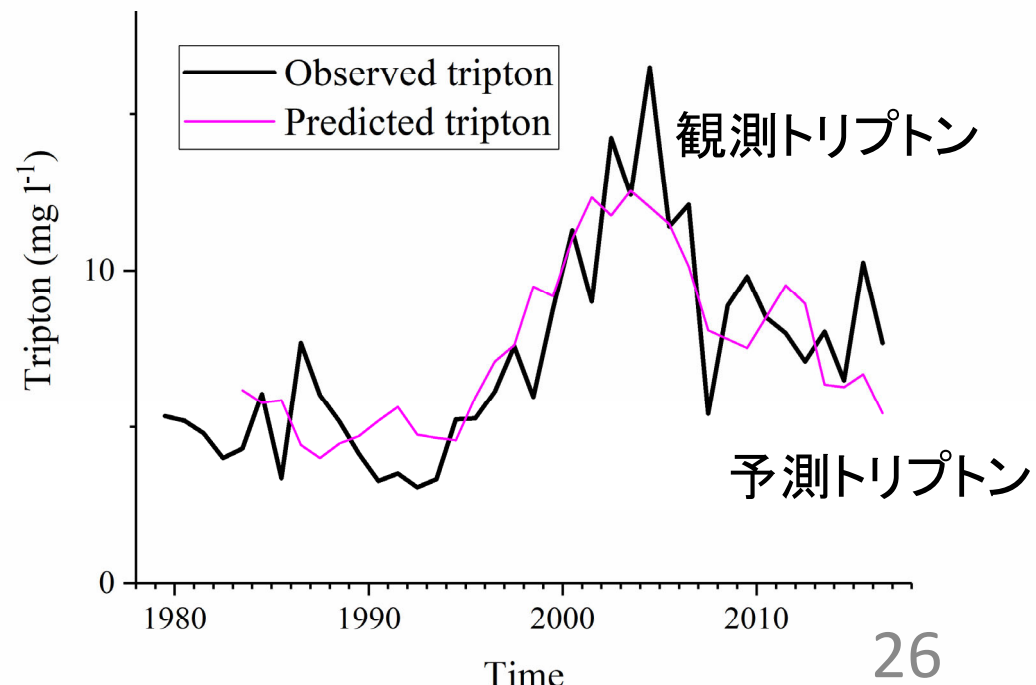
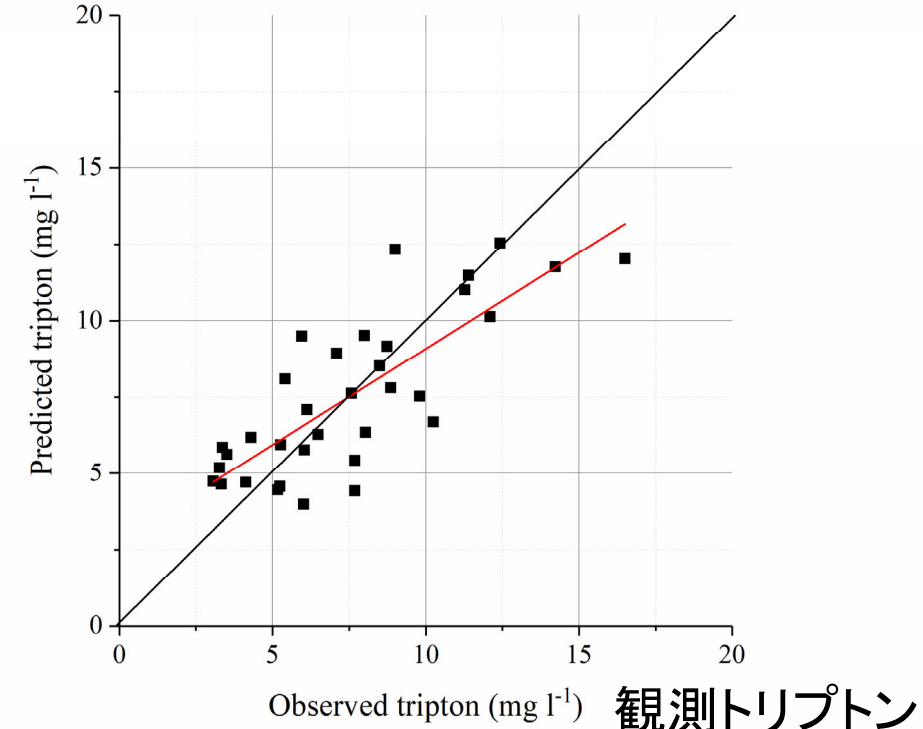
底泥含水率と強熱減量によるトリプトン濃度推定モデル

$$C_{\text{triptron}} = 0.294 S_{\text{WC 4yav}} - 1.88 S_{\text{IL 4yav}} + 17.10$$

$S_{\text{WC 4yav}}$ and $S_{\text{IL 4yav}}$ are sediment WC and IL averaged for the previous 4 y, respectively.

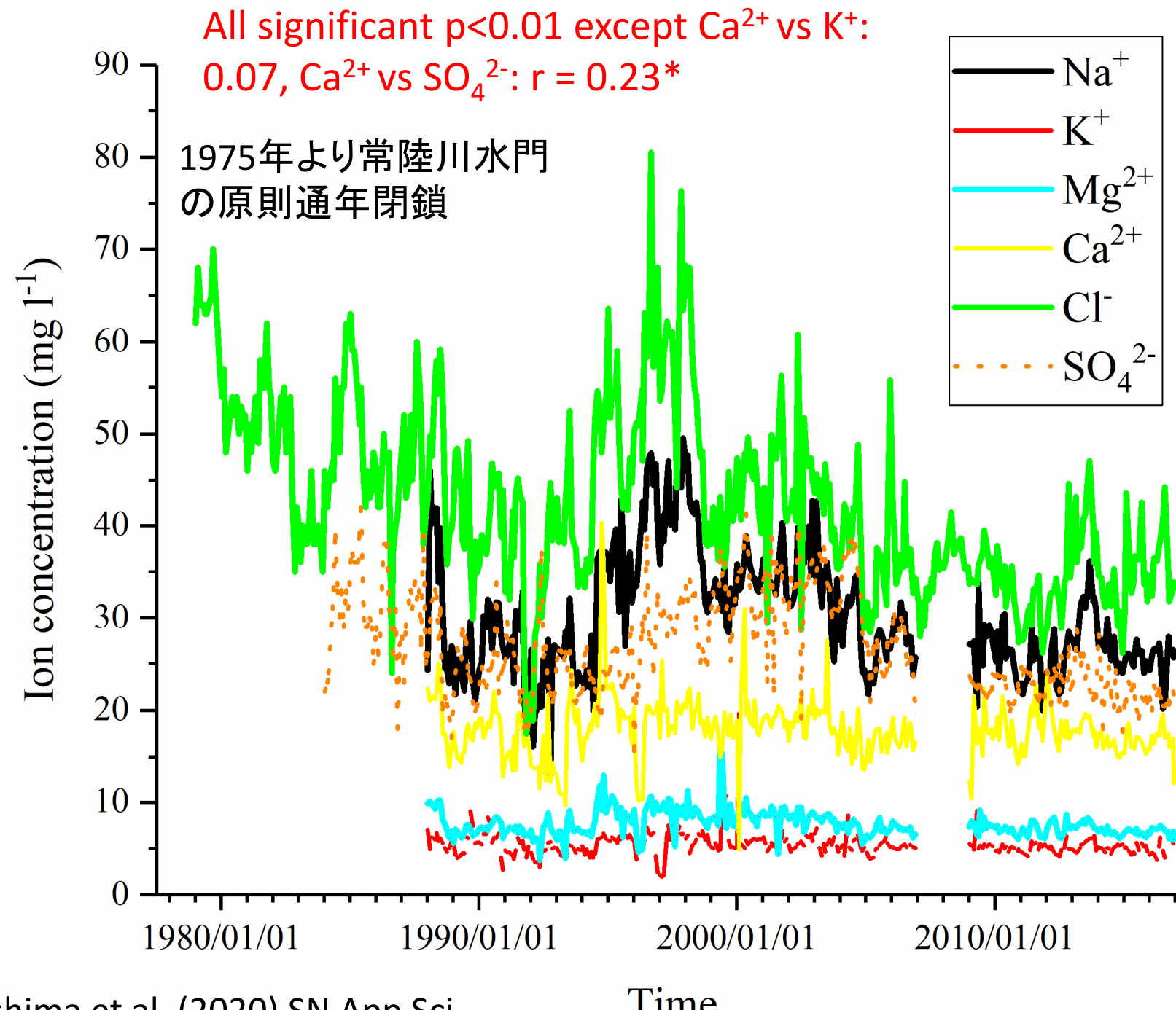
底泥巻き上げやすい → 高いトリプトン濃度

Fukushima et al. (2019)
SN App Sci



底泥含水率の長期変化は
なぜ生じたか？

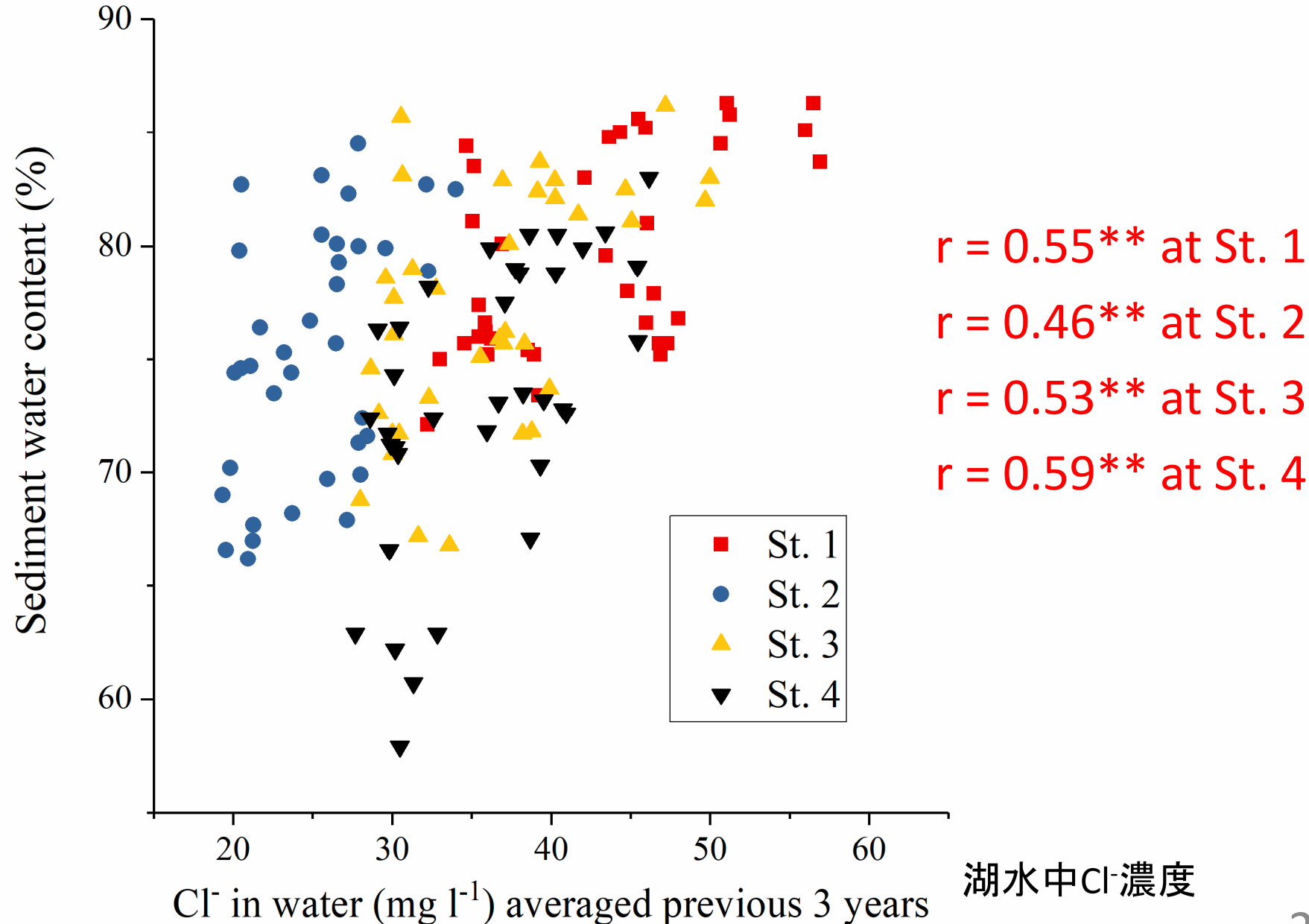
霞ヶ浦湖心におけるミネラル成分濃度の変化



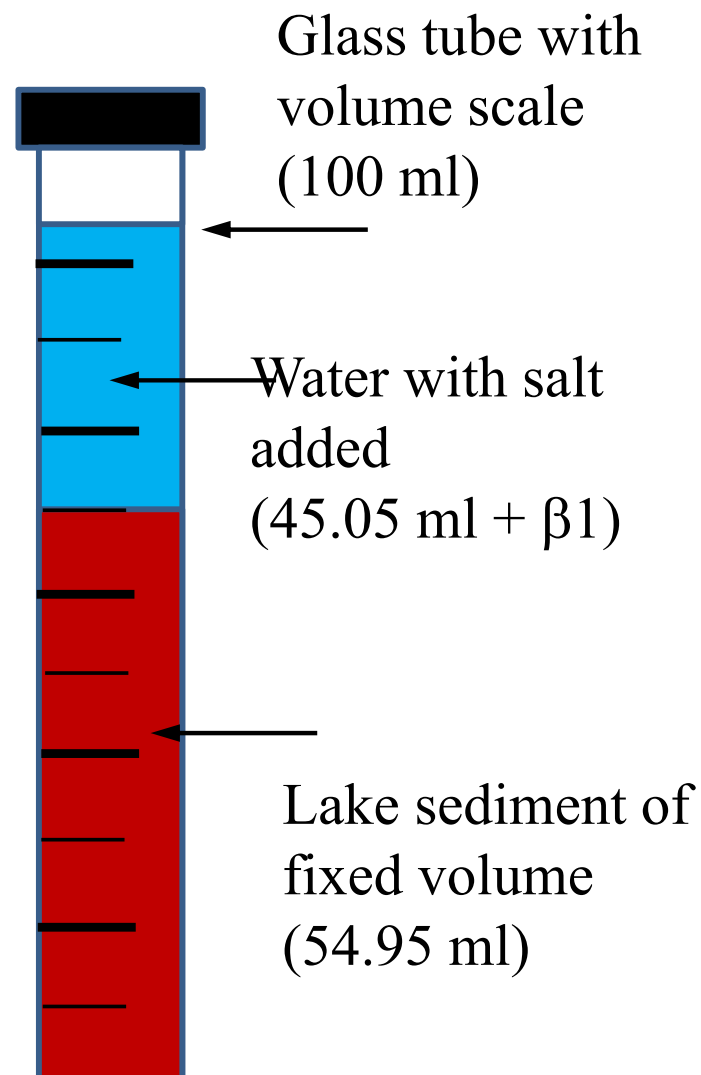
湖水中の塩化物イオン濃度と底泥含水率の関係

底質の含水率

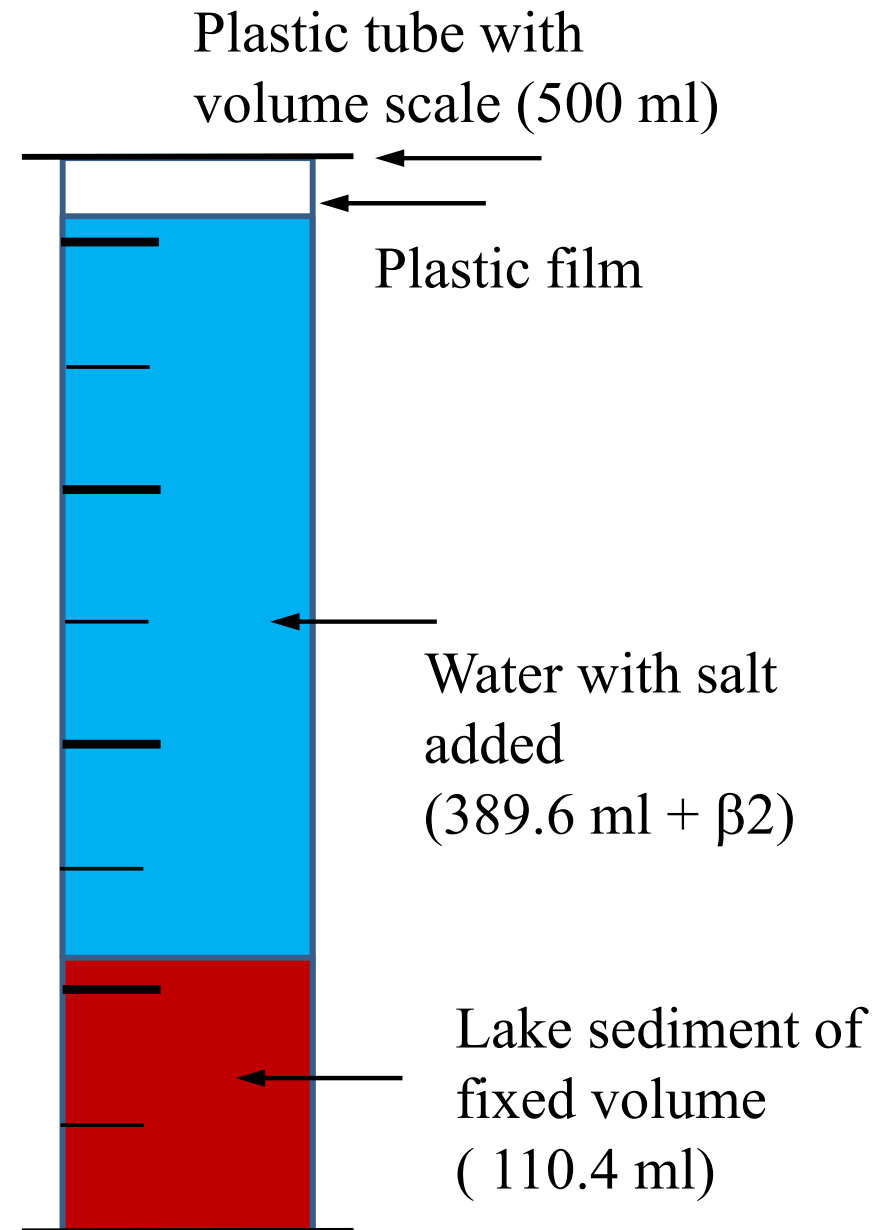
Fukushima et al. (2020) SN App Sci



室内実験での確認

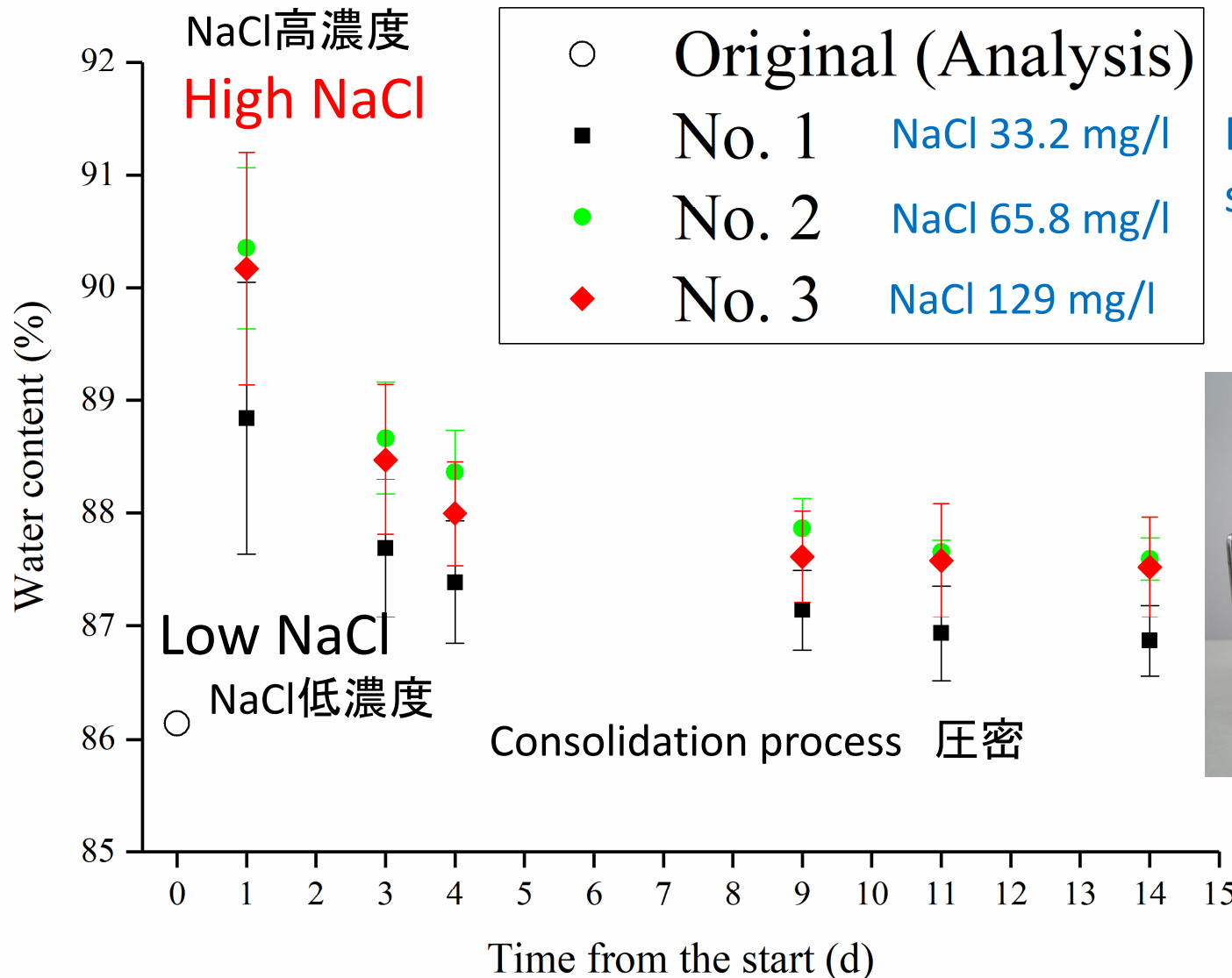


(1) イオン濃度の底泥含水率への影響



(2) イオン濃度の湖水中濁度への影響

含水率の実験結果



Agree to Shiraki
(1964)

Disagree to Yilmaz &
Marschalko (2014)

Difference in clay or
salinity range

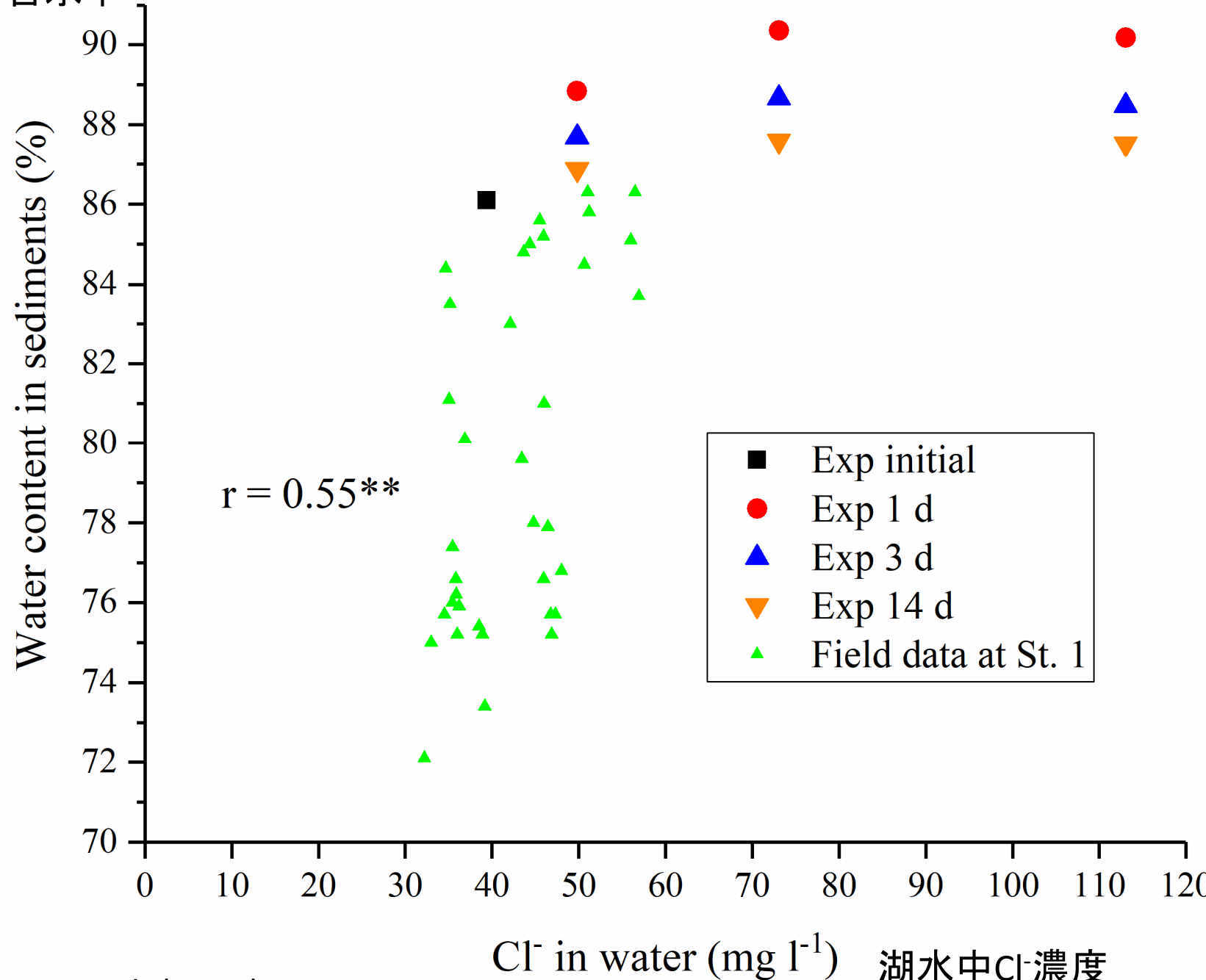
低い NaCl 高い NaCl



Fukushima et al. (2020)
SN App Sci

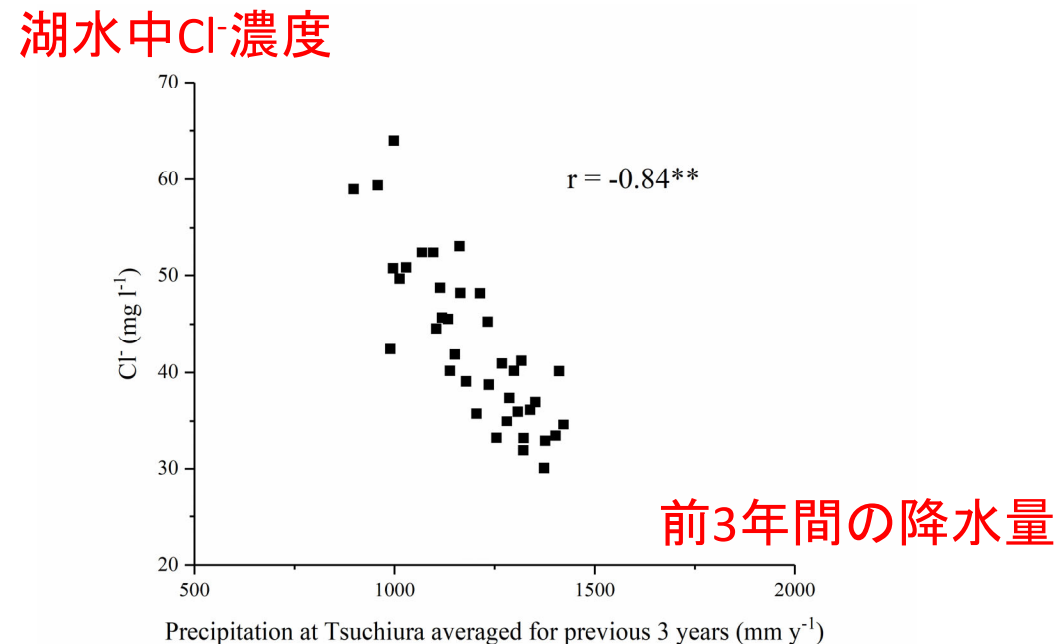
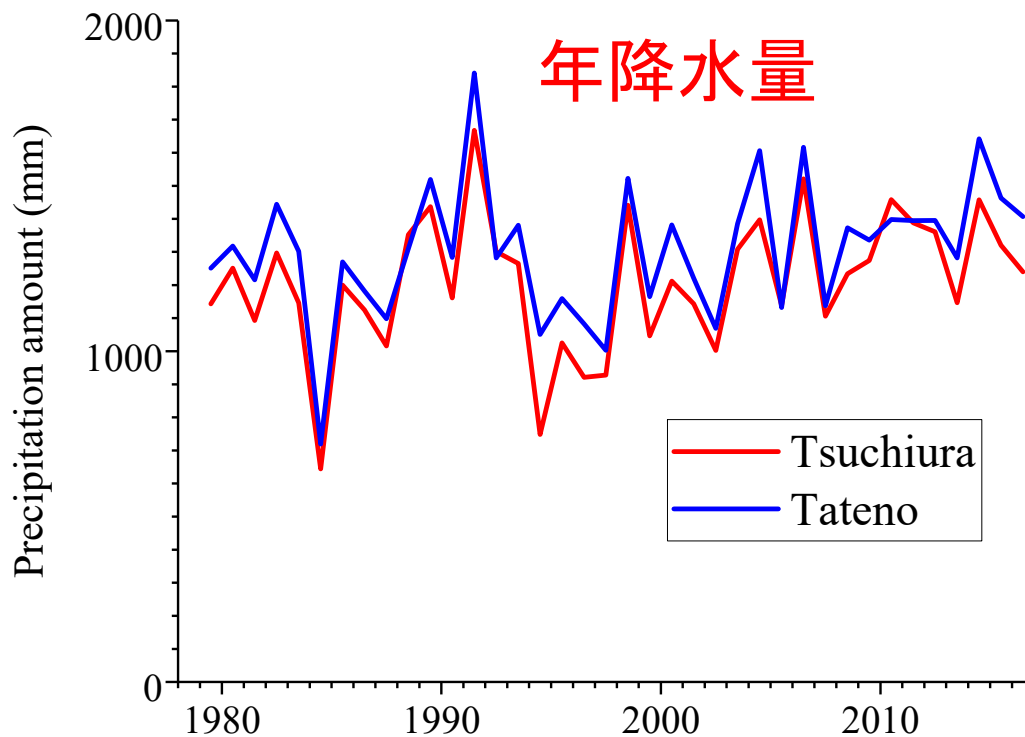
塩化物イオン濃度と底泥含水率：現地、実験

底質の含水率

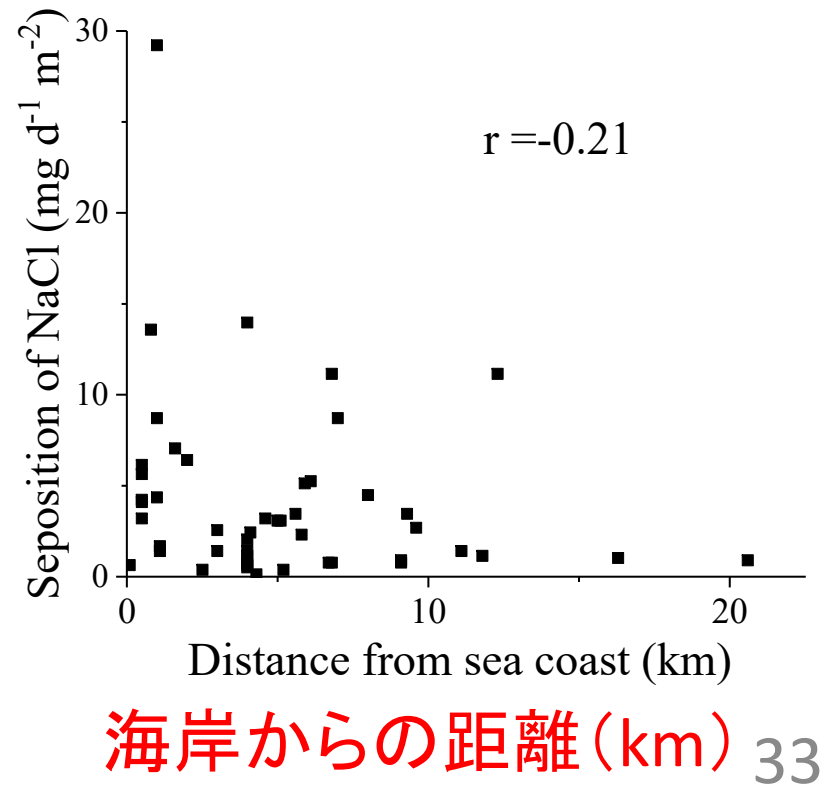


なぜ、ミネラルイオン濃度は変化したか？

Fukushima et al. (2020) SN App Sci



海塩粒子の堆積量
(mgNaCl/d/m²)



強熱減量と間隙率・含水率の関係

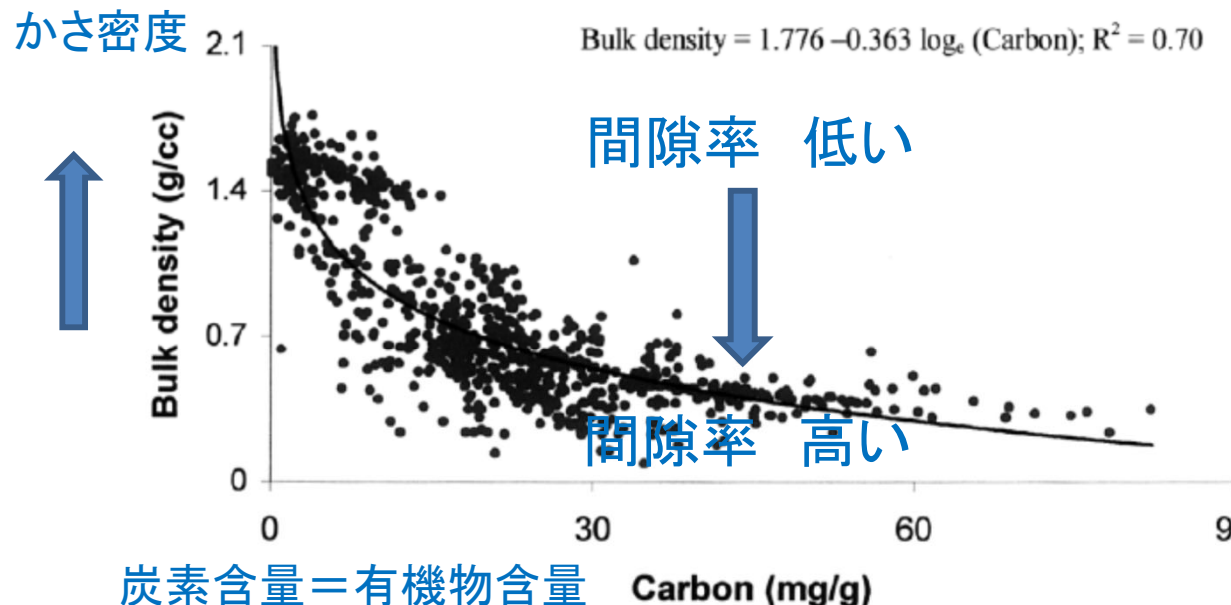
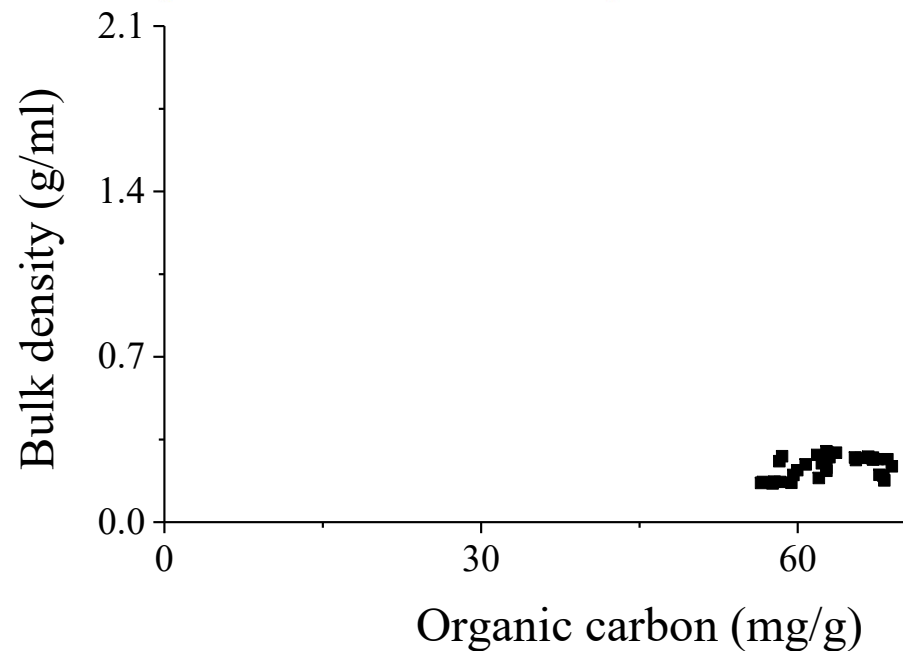


Fig. 1. Bulk density vs carbon for 868 sediment samples from six different locations world wide.

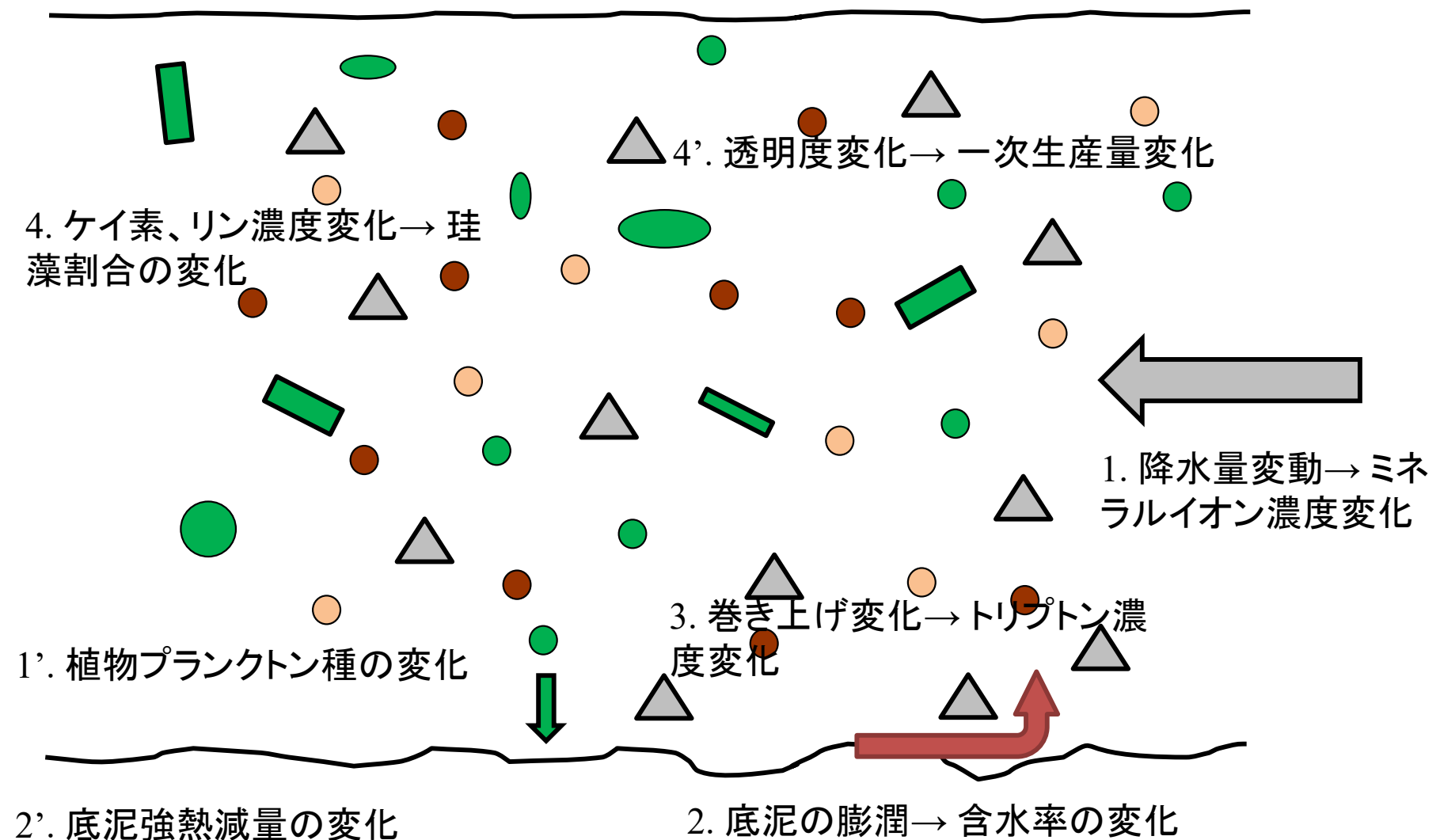
一般的に有機物含量が高いと間隙率高くなることが知られている。霞ヶ浦では強熱減量の減少と含水率の上昇が同時期に生じていたが、含水率に影響する程、有機物含量が変化していない。



西浦と北浦のハス田の強熱減量は大きく異なる→流出水の濁度の違い
なお、霞ヶ浦、北浦、涸沼、小野川湖、曾原湖の含水率の違いは強熱減量で説明できない

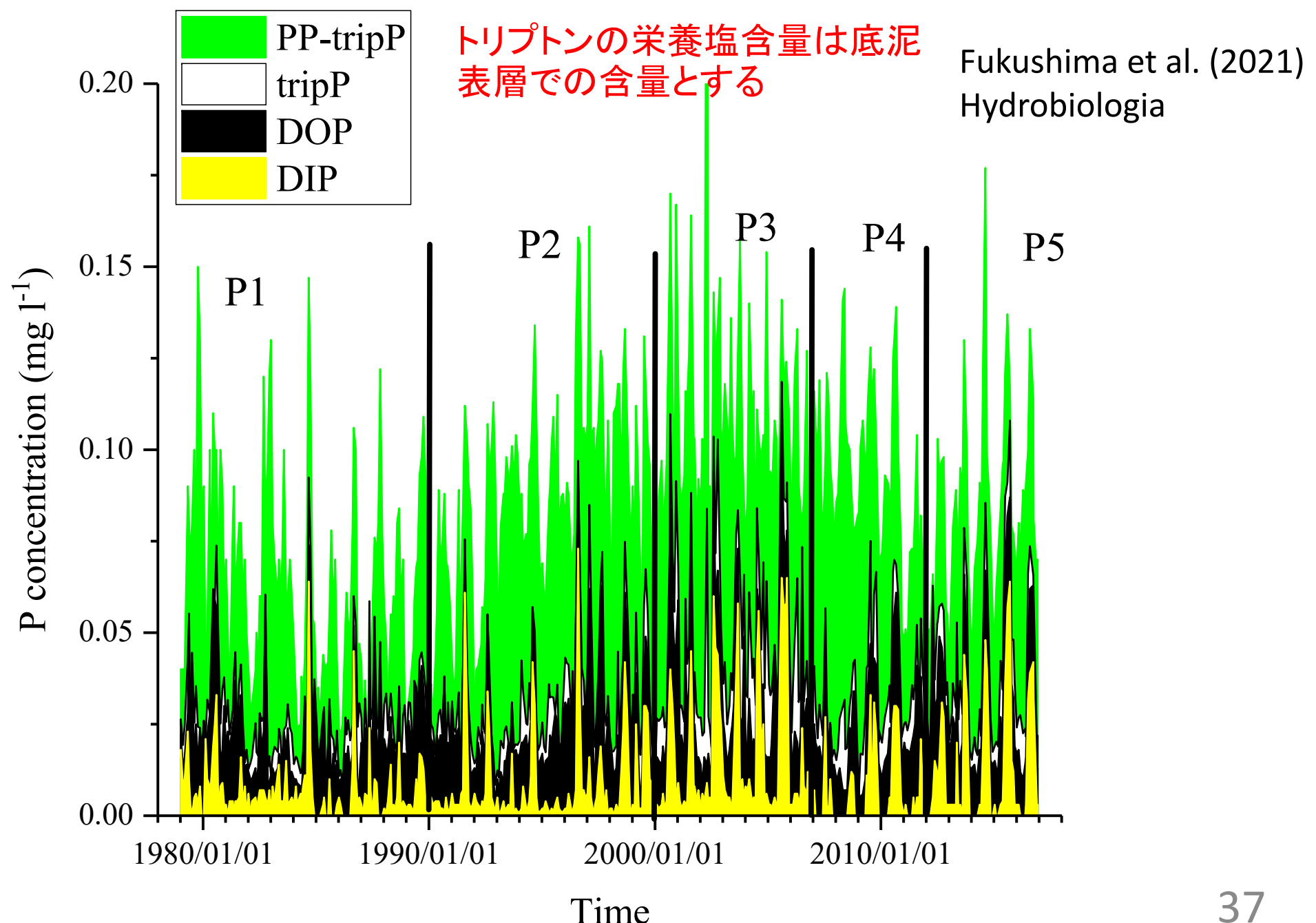
浅い湖沼での水質、底質相互作用と長期的変化

5. 植物プランクトン種のレジームシフト→生態系サービスの変化

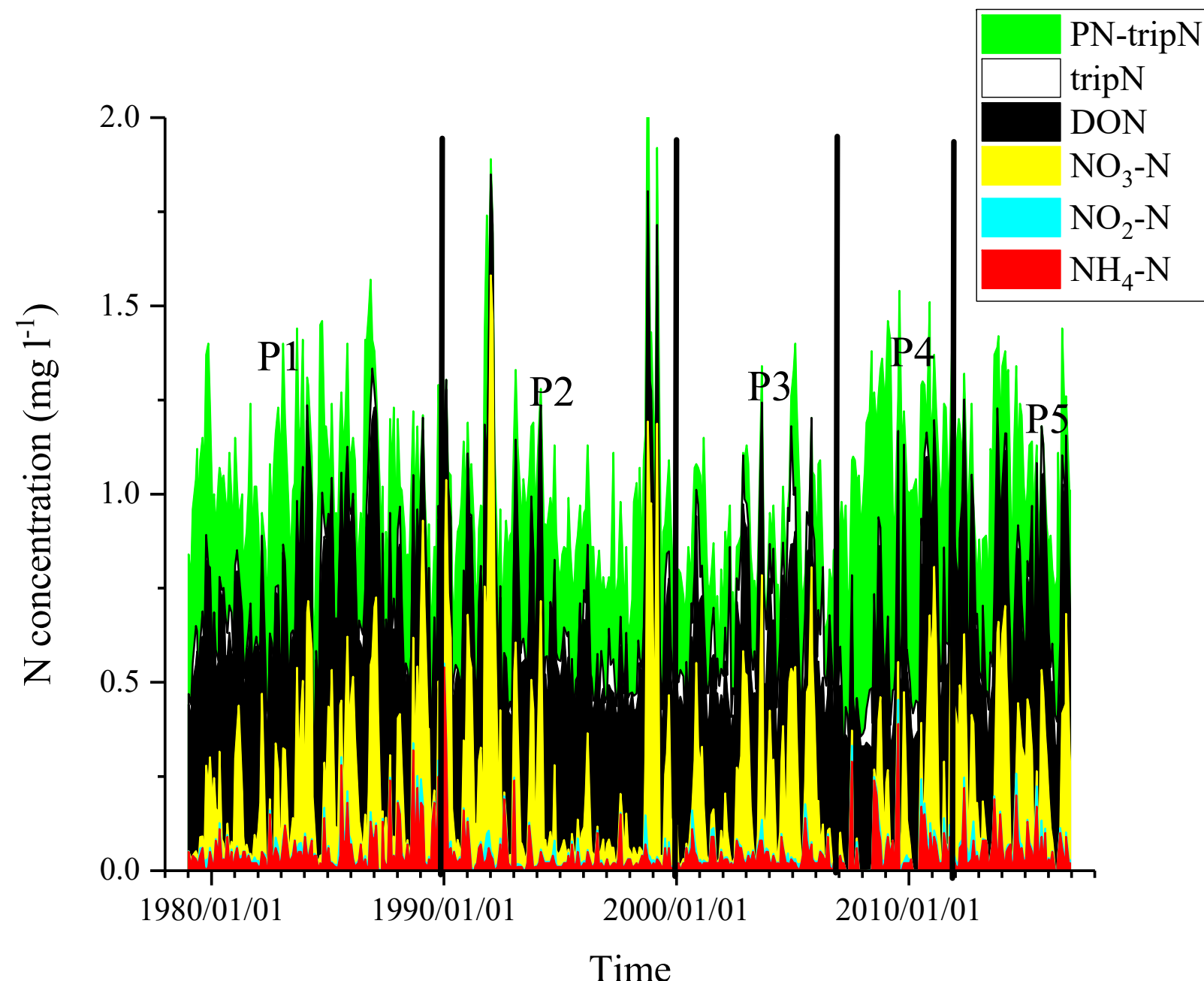


植物プランクトンの制限栄養塩は？

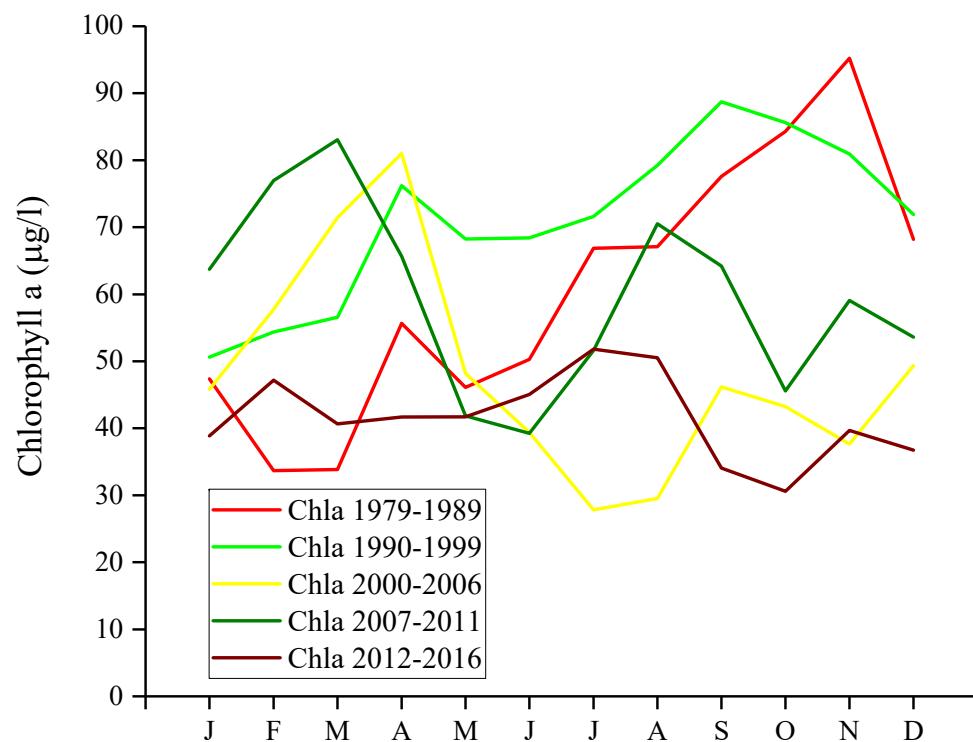
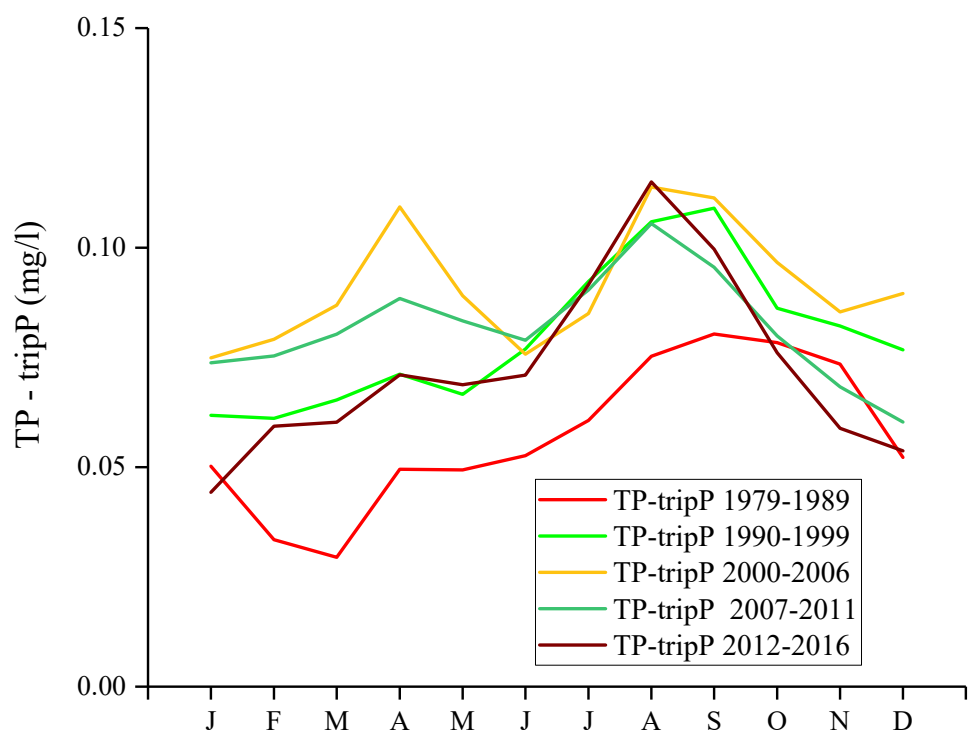
栄養塩の中身(リン) 霞ヶ浦湖心



栄養塩の中身(窒素)



クロロフィル季節変化パターンの時期による違いは栄養塩の季節変化パターンの時期変化で説明できるか？



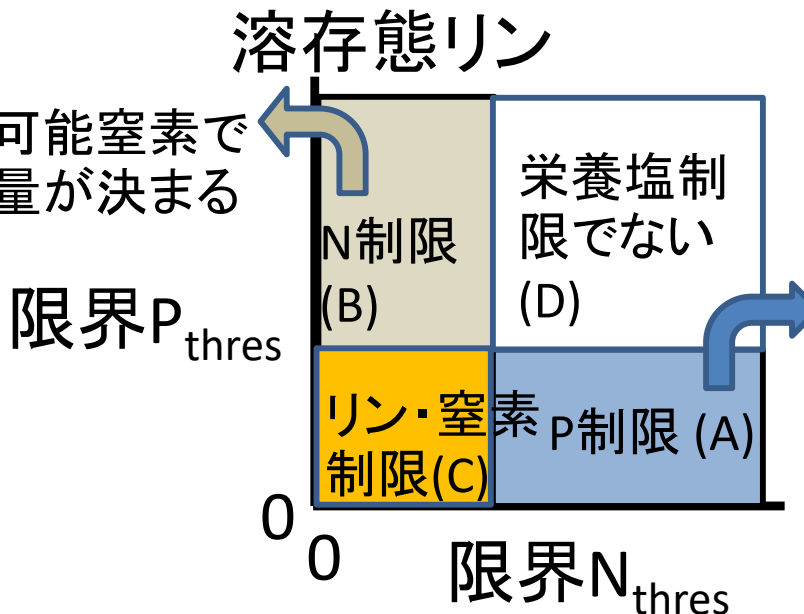
III, V期(珪藻優占期)における夏期P上昇がChlaでは見られない。
Nは時期変化があまりない。
高水温による抑制？

仮説

増殖速度 : Michaelis-Menten式 : 半飽和常数

(1)

利用可能窒素で
生物量が決まる

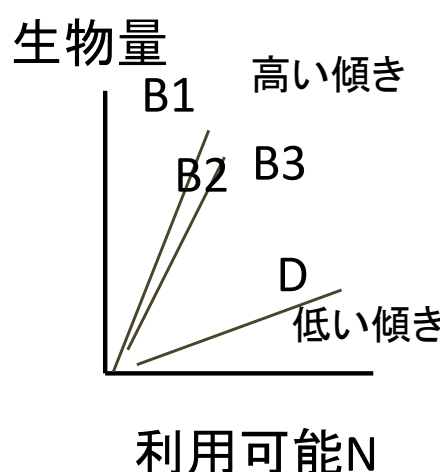


Fukushima et al. (2021)
Hydrobiologia

利用可能リンで
生物量が決まる

(2)

生物量 : Carrying capacity : 分解過程を含め
利用可能な総量

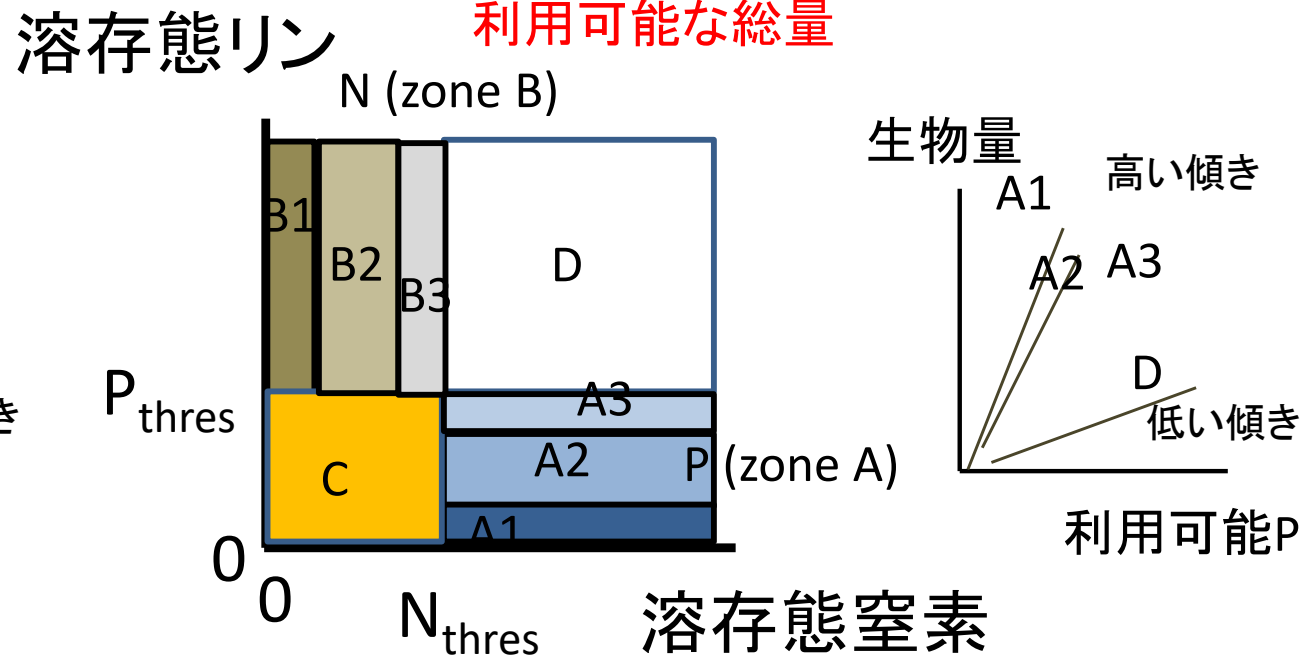


高い傾き

B2

D
低い傾き

利用可能N



N (zone B)

C

生物量

A1
高い傾き

A2

D
低い傾き

利用可能P

A3

A2

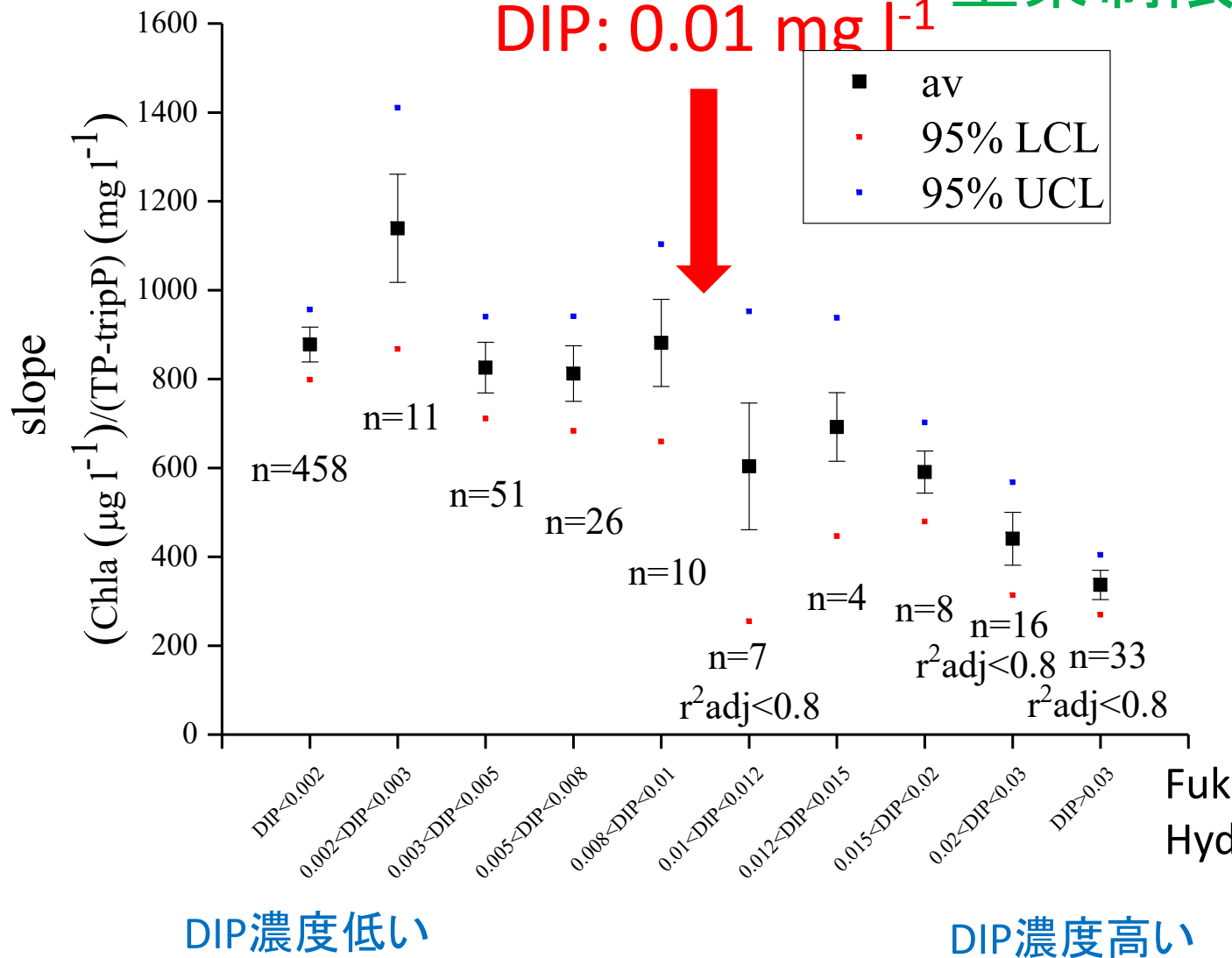
P (zone A)

溶存態窒素

DIPの濃度範囲ごとの回帰直線の傾き (原点を通る直線)

Chla ($\mu\text{g l}^{-1}$)/TP (mg l^{-1})

DIN $\geq 0.15 \text{ mg l}^{-1}$
窒素制限でない



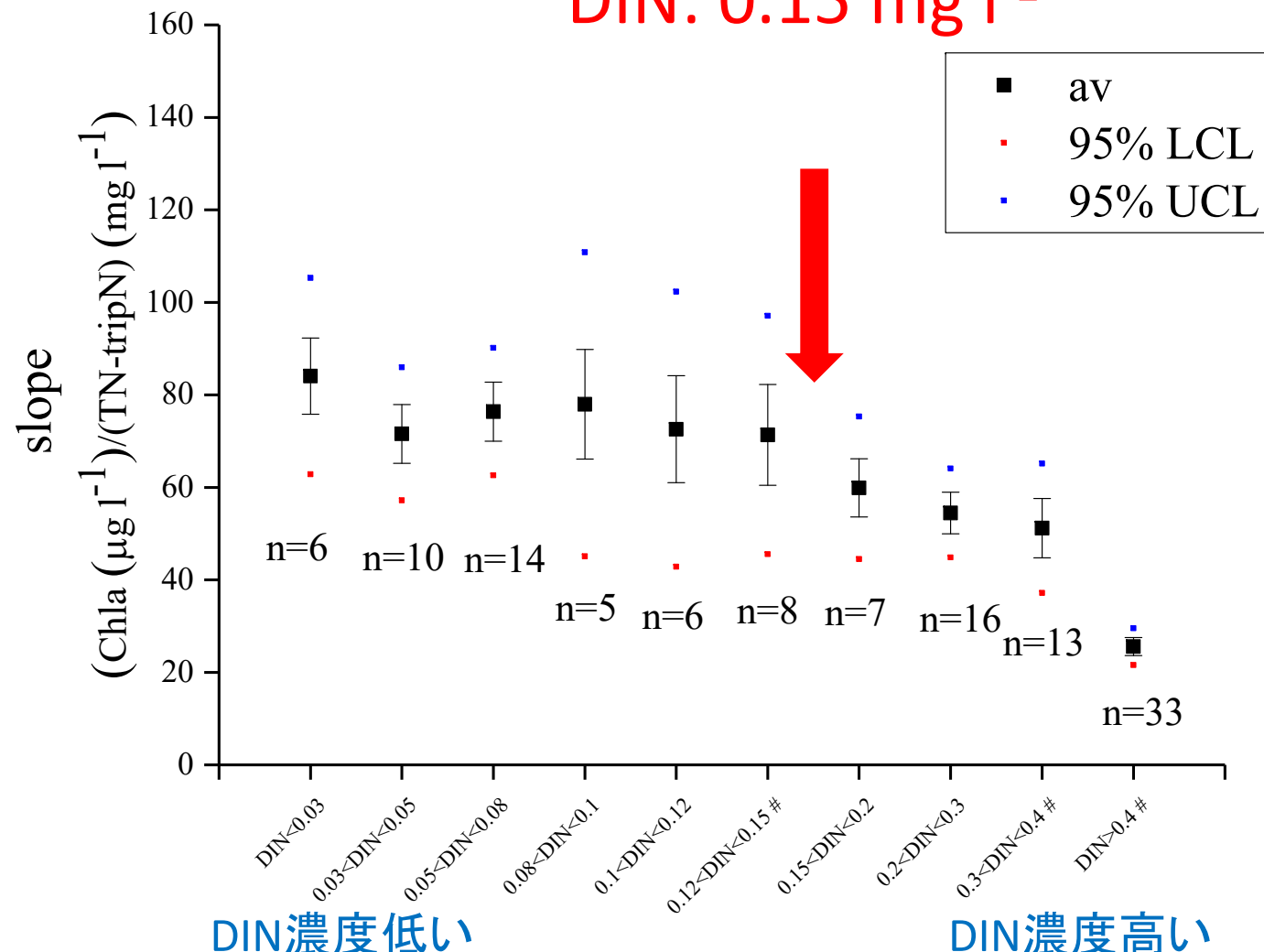
DINの濃度範囲ごとの回帰直線の傾き (原点を通る直線)

Fukushima et al. (2021)
Hydrobiologia

Chla ($\mu\text{g l}^{-1}$)/TN (mg l^{-1})

DIP $\geq 0.01 \text{ mg l}^{-1}$
リン制限でない

DIN: 0.15 mg l^{-1}



補正済み重回帰係数

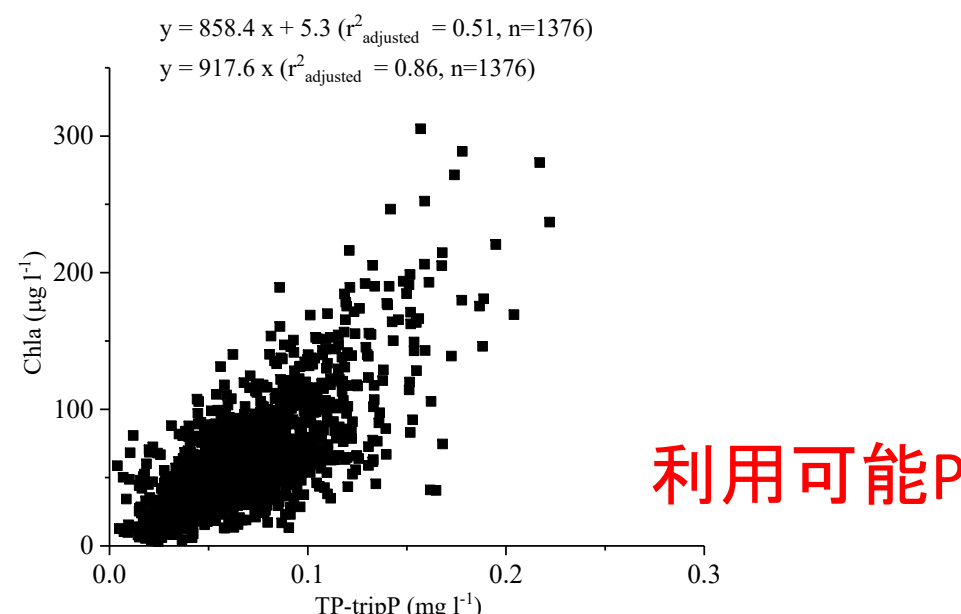
r^2_{adjus} (number)		$P_{\text{thres}} (\text{mg l}^{-1})$			$N_{\text{thres}} (\text{mg l}^{-1})$	P_{thres}
		0.005	0.01	0.02		
$N_{\text{thres}} (\text{mg l}^{-1})$	0.10	0.54 (1016)	0.54 (1583)	0.47 (1897)		
	0.15	0.54 (889)	0.54 (1376)	0.47 (1639)		
	0.20	0.55 (783)	0.54 (1214)	0.47 (1450)		

偏回帰係数

Partial correlation coefficient with Chla (significant regression parameter $p < 0.01$)	$P_{\text{thres}} (\text{mg l}^{-1})$									
	0.005			0.01			0.02			
	TP'	TN'	WT	TP'	TN'	WT	TP'	TN'	WT	
$N_{\text{thres}} (\text{mg l}^{-1})$	0.10	0.64	0.16	0.19	0.65	0.16	0.16	0.62	0.12	0.08
	0.15	0.63	0.17	0.19	0.64	0.15	0.16	0.61	0.11	0.07
	0.20	0.63	0.18	0.18	0.64	0.17	0.16	0.60	0.13	0.08

クロロフィル量は利用可能な窒素量、水温にも影響されるが、利用可能なリン濃度に圧倒的に支配されている

生物量



B領域

補正済み重回帰係数

r^2_{adjus} (number)		限界 P_{thres} (mg l^{-1})		
		0.005	0.01	0.02
N_{thres} (mg l^{-1})	0.10	0.50 (557)	0.55 (254)	0.48 (114)
	0.15	0.52 (723)	0.55 (340)	0.50 (149)
	0.20	0.51 (844)	0.55 (405)	0.51 (187)

限界 N_{thres}

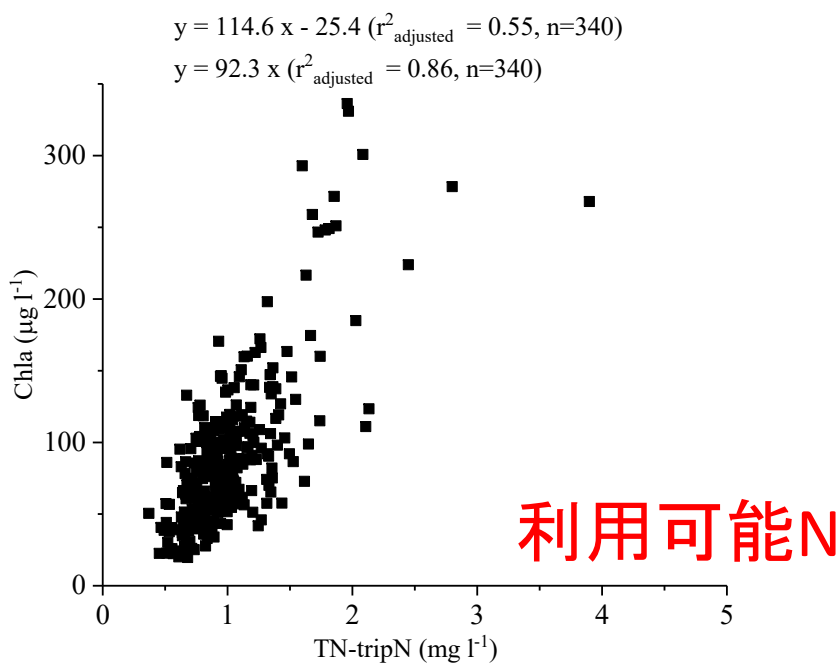
偏回帰係数

Partial correlation coefficient with Chla (significant regression parameter $p < 0.01$)	限界 P_{thres} (mg l^{-1})								
	0.005			0.01			0.02		
	TP'	TN'	WT	TP'	TN'	WT	TP'	TN'	WT
N_{thres} (mg l^{-1})	0.10	0.22	0.61			0.74		0.70	
	0.15	0.25	0.61	-0.11		0.74		0.71	
	0.20	0.27	0.61	-0.13	0.14	0.66		0.20	0.54

限界 N_{thres}

生物量

クロロフィル量は利用可能な窒素濃度により決まっている



No. 1 湖沼間比較

Long-term constraints on potential algal biomass
: TP, TN and TN/TP

1) 日本の90湖沼データ 福島他(1986)

$$\text{Chla} = 683 \text{ Nu}^{1.081} \quad (\text{T}>0.1 \text{ y}) \quad (\text{SE}=0.174)$$

年平均値同士の関係

ここで、Chla ($\mu\text{g l}^{-1}$), Nu = TP (TN/TP > 11) (mg l^{-1})

TP = 0.1 mg l^{-1} の時、Chlaは57 $\mu\text{g l}^{-1}$

2) 世界の77湖沼 OECD (1982)

$$\text{Chla} = 0.28 \text{ TP}^{0.96} \quad (\text{SE}=0.251)$$

ここで、Chla ($\mu\text{g l}^{-1}$), TP ($\mu\text{g l}^{-1}$)

TP = 0.1 mg l^{-1} の時、Chlaは31 $\mu\text{g l}^{-1}$

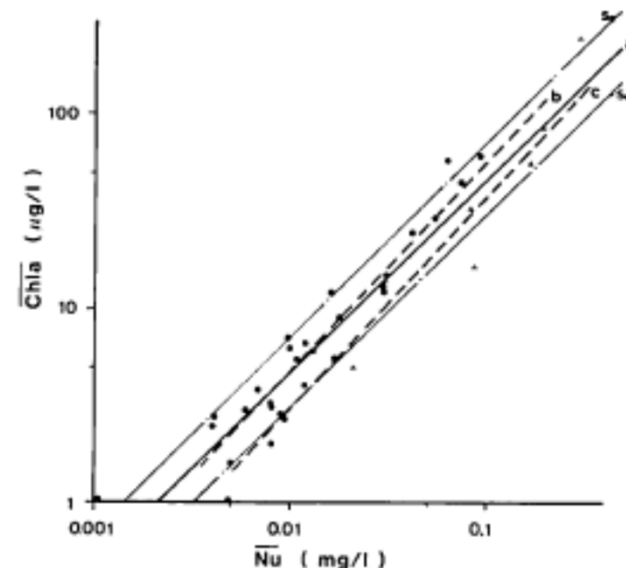
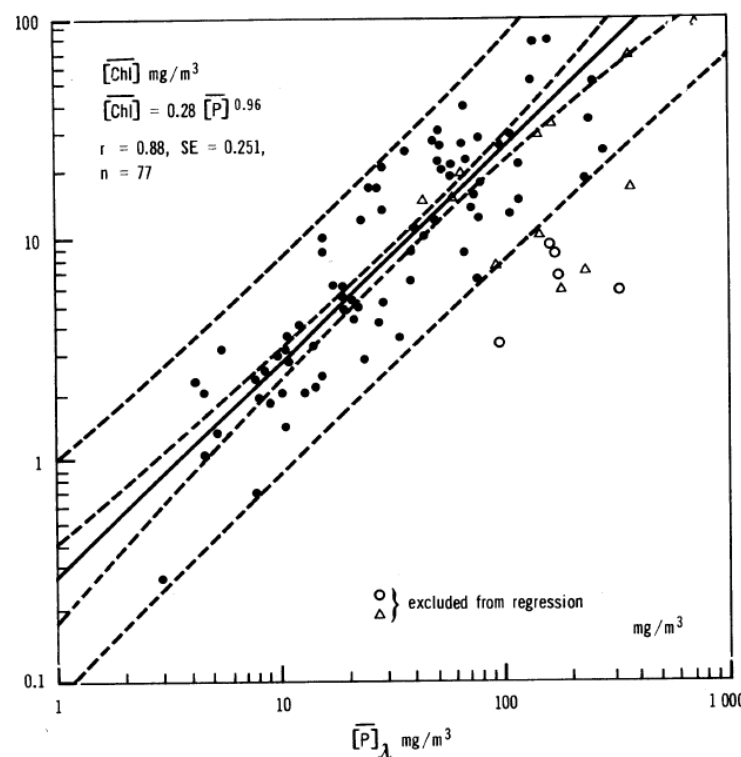
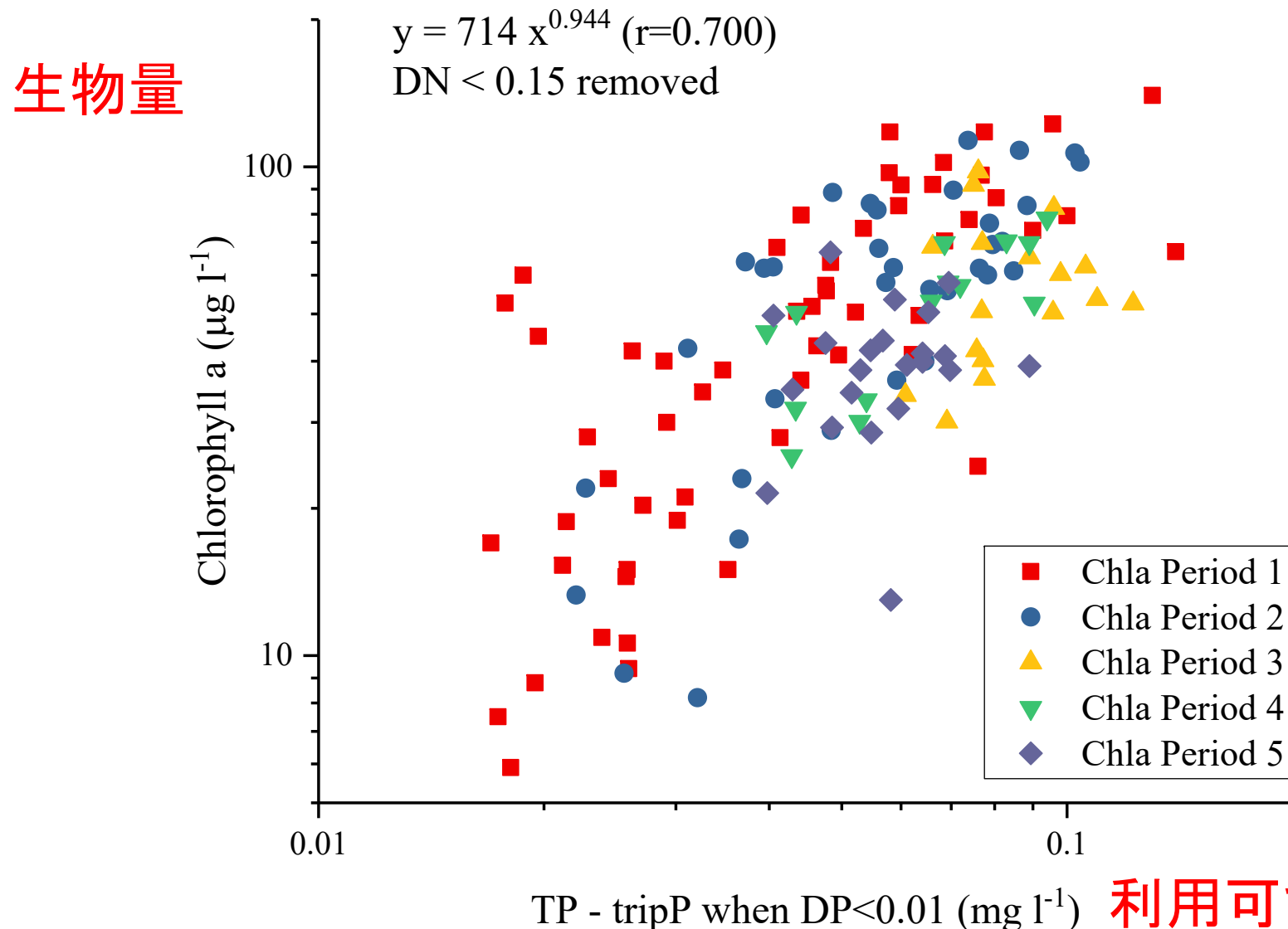


Fig. 13 Relationship between $\overline{\text{Nu}}$ and $\overline{\text{Chla}}$. The regression line a is $\overline{\text{Chla}} \text{ } (\mu\text{g l}^{-1}) = 457 \overline{\text{Nu}}^{1.08}$ (mg l^{-1}) ($n=38$, $r=0.95$, $s_e=0.183$). The regression lines b, c are shown in eq. (6). ● : T is greater than 0.1y. △ : T is less than 0.1y.



両対数表示

$TP' = 0.1 \text{ mg l}^{-1}$ の時、Chla = $81 \mu\text{g l}^{-1}$



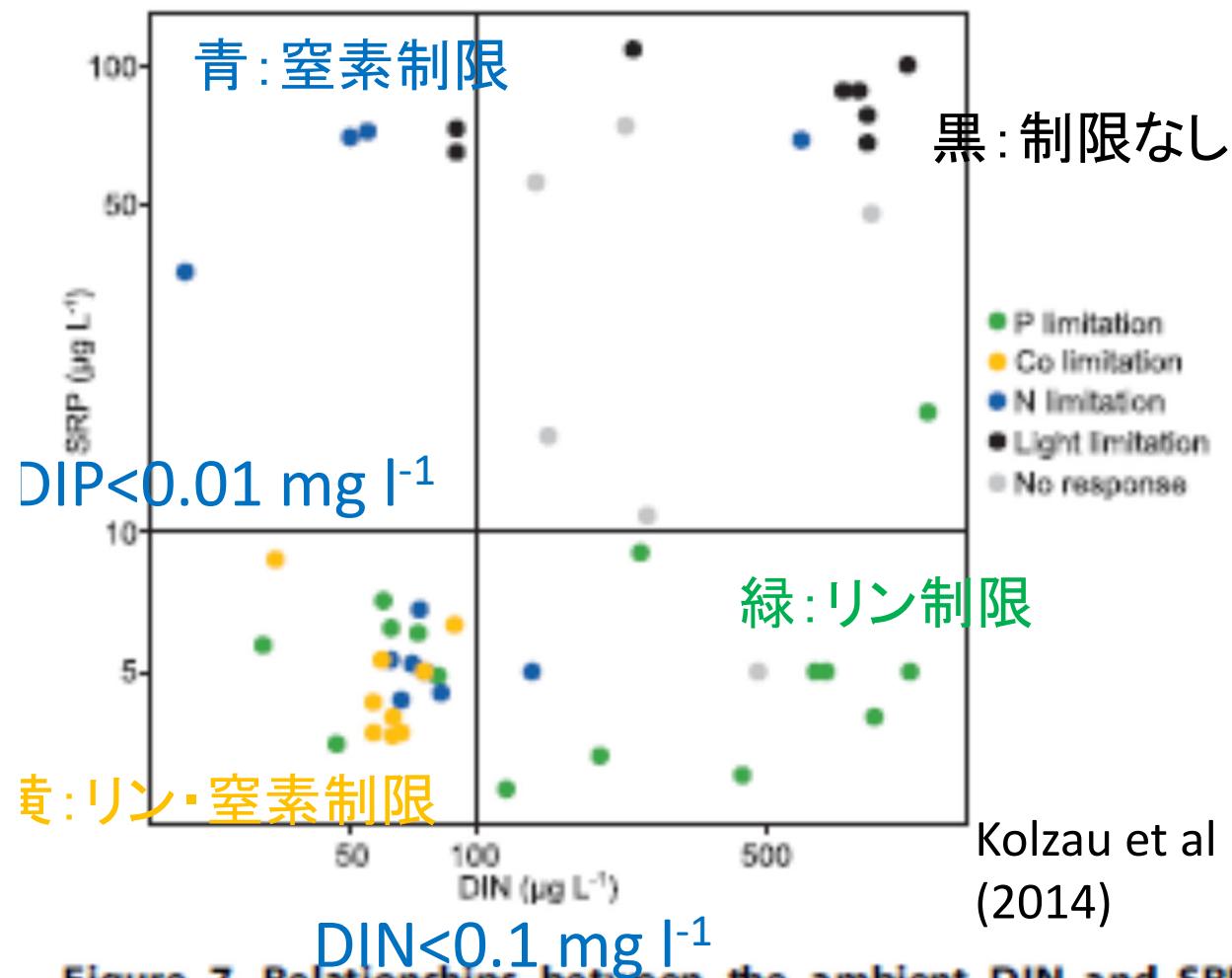


Figure 7. Relationships between the ambient DIN and SRP concentrations and the limitation categories. The vertical line marks the DIN concentration and the horizontal line marks the SRP concentration below which N or P limitation are possible according to Maberly et al. [41]. This plot shows that the results of the bioassays agree with the values given by Maberly et al. as SRP was predominantly below $10 \mu\text{g L}^{-1}$ when P limitation was observed and DIN was predominantly below $100 \mu\text{g L}^{-1}$ when N limitation was observed. Both dissolved nutrients were usually above these thresholds when light limitation or no response was observed.
 doi:10.1371/journal.pone.0096065.g007

No. 2 栄養塩要求性

Kolzau et al. (2014) Seasonal patterns of nitrogen and phosphorus limitation in four German lakes and the predictability of limitation status from ambient nutrient concentrations. *Pros One*, 9-4, e96065

Marberly et al. (2002) Nutrient limitation of phytoplankton and periphyton growth in upland lakes. *Freshwater Biology*, 47, 2136-2152.
 DIN < 6.5 mmol m^{-3} (0.091 mg L^{-1})
 TDP < 0.18 mmol m^{-3} (0.005 mg L^{-1})

AGP試験結果と制限条件下でのDIP, DIP濃度の関係

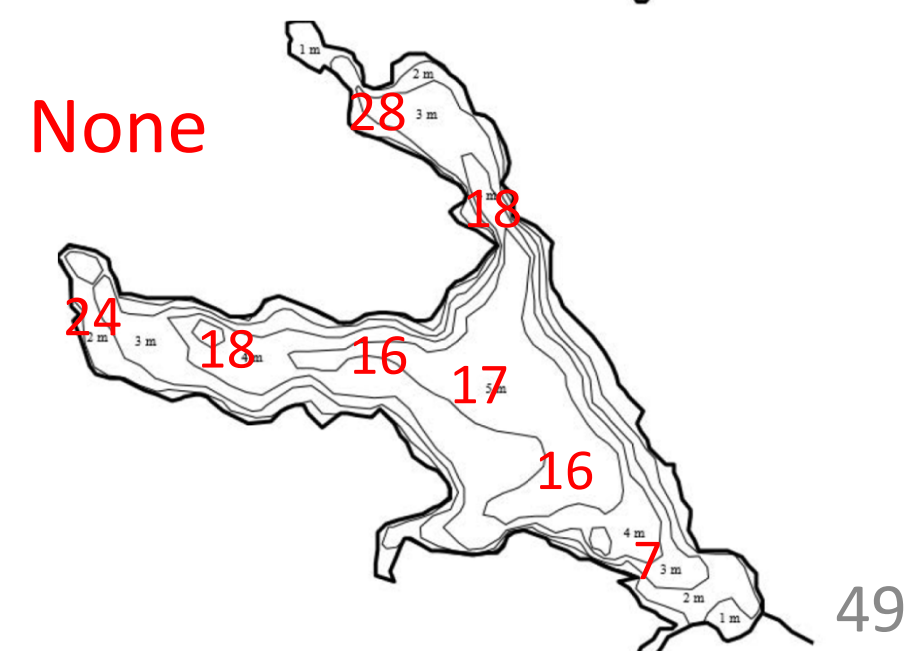
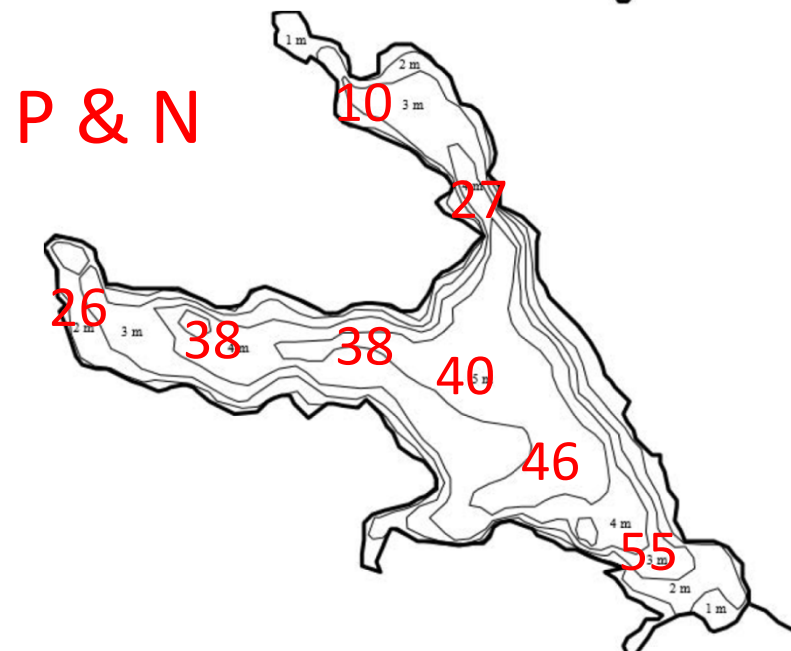
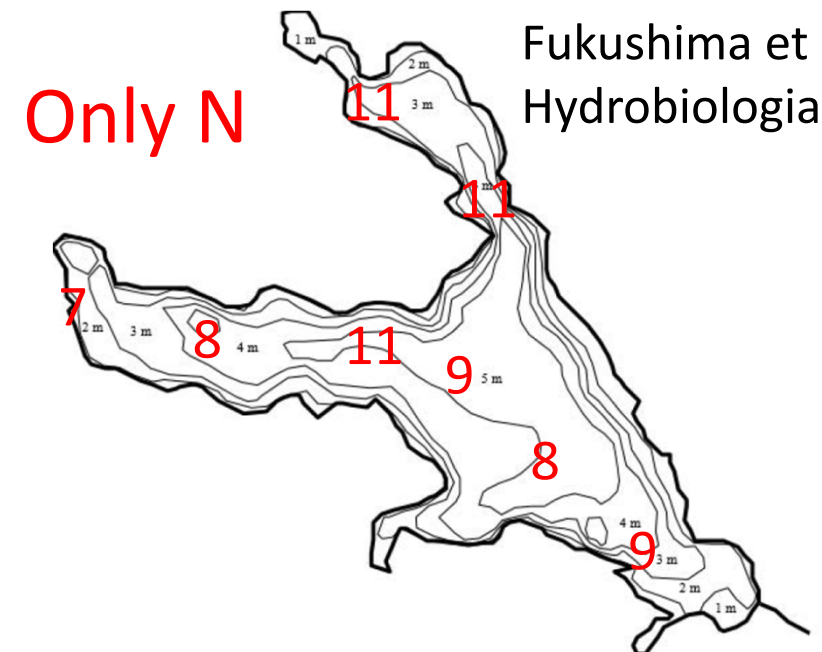
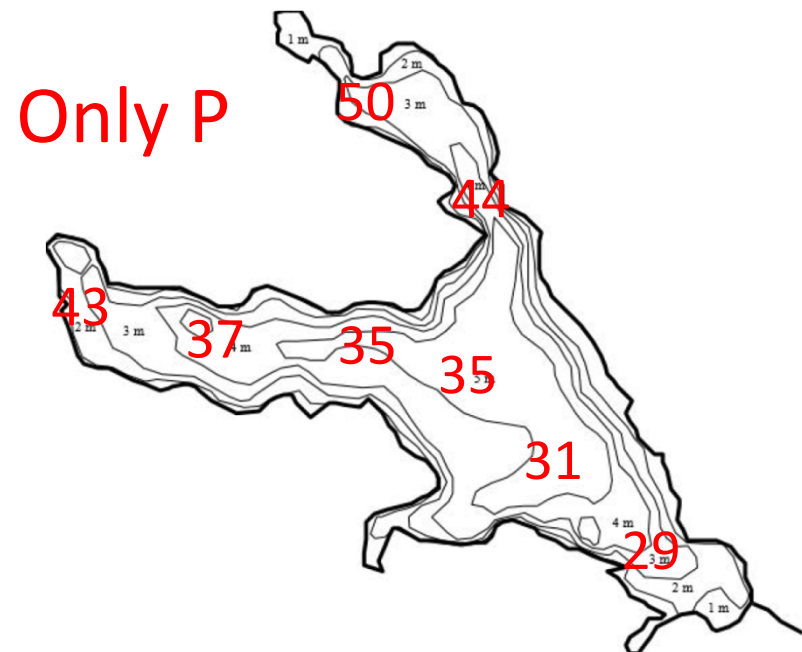
DIP: 0.01, DIN: 0.15 mg l⁻¹を閾濃度とした場合 の各時期の制限栄養塩(霞ヶ浦湖心)

Koshin	J	F	M	A	M	J	J	A	S	O	N	D
1979	2	3	2	2	2	3	3	3	3	1	1	1
1980	1	0	0	1	1	2	2	2	3	3	3	3
1981	1	1	1	1	3	3	3	3	2	3	3	3
1982	3	1	1	3	3	3	1	3	3	1	1	3
1983	3	1	1	2	2	3	3	3	0	1	1	1
1984	3	1	1	1	1	3	2	2	2	2	1	1
1985	1	1	1	3	3	3	1	0	3	1	1	1
1986	1	1	1	1	3	3	3	2	2	0	1	1
1987	1	1	1	3	0	3	3	2	1	3	3	3
1988	1	1	1	2	3	3	3	3	0	1	1	1
1989	1	1	1	1	1	2	1	0	2	0	1	1
1990	1	1	1	1	1	3	3	3	3	3	1	1
1991	1	1	1	3	3	3	1	0	2	1	1	1
1992	1	1	1	1	3	1	3	0	2	3	3	3
1993	1	1	1	3	3	3	3	3	0	1	1	3
1994	1	1	1	3	3	3	2	2	2	1	3	3
1995	3	3	3	3	3	3	3	3	3	3	3	3
1996	3	1	1	3	3	3	3	3	2	3	3	3
1997	3	2	3	3	3	3	2	0	2	3	1	3
1998	3	3	3	3	3	3	2	2	0	0	0	1
1999	1	1	0	3	3	3	0	0	0	2	3	3
2000	3	3	3	3	3	3	3	3	0	0	0	1
2001	1	1	1	3	3	3	2	0	3	3	3	3
2002	3	1	3	3	3	3	3	0	0	0	0	0
2003	0	1	1	3	3	3	2	0	0	3	2	1
2004	1	1	0	3	3	3	0	0	2	0	1	1
2005	1	1	1	3	3	3	0	0	0	0	0	1
2006	3	1	3	3	3	3	2	3	3	2	3	3
2007	3	3	3	3	3	3	0	3	3	2	3	3
2008	3	3	3	3	3	3	1	1	0	0	1	3
2009	1	1	3	3	2	3	0	3	2	0	1	3
2010	3	3	3	3	3	3	0	2	0	0	1	1
2011	1	1	1	3	3	3	1	3	3	0	1	1
2012	1	1	1	1	0	0	1	2	0	0	3	1
2013	3	3	1	3	2	3	3	3	0	0	0	1
2014	1	1	1	1	3	3	2	0	0	0	1	1
2015	1	1	1	1	3	2	0	2	0	0	0	1
2016	1	3	3	3	3	3	2	0	0	0	1	1

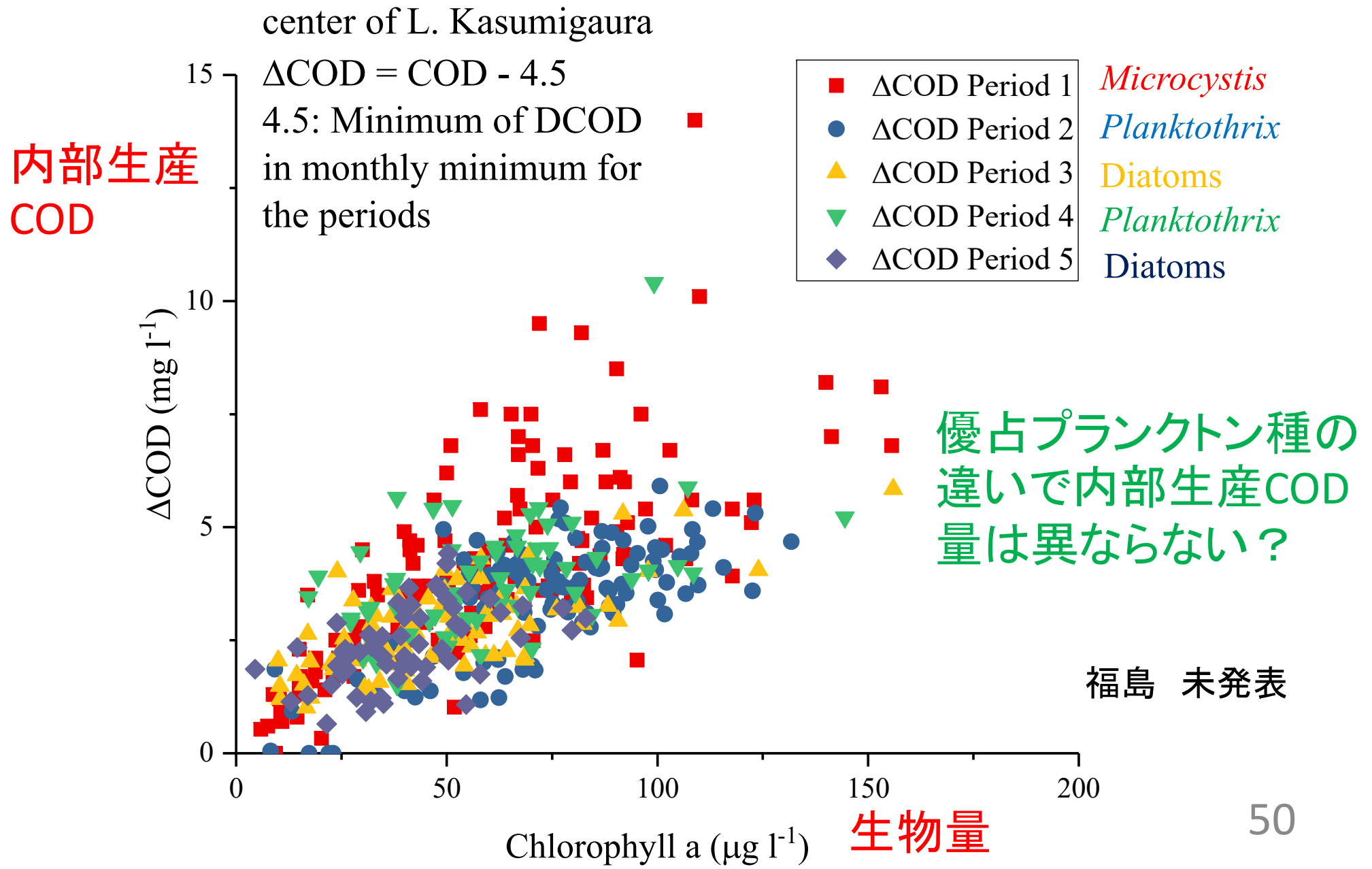
Fukushima et al. (2021)
Hydrobiologia

赤: P制限、
青: N制限、
紺: PN制限、
白: 栄養塩
制限なし

DIP: 0.01, DIN: 0.15 mg l⁻¹を閾濃度とした場合の制限栄養塩は何か？全456回の中の%



クロロフィルaと ΔCOD の関係(湖心:時期別) 時期により優占プランクトン種は異なる



気象・気候変化は湖沼水質に
どのような影響を及ぼすか？

地球温暖化の湖沼生態系に及ぼす影響



多降水：流入負荷の増加

小降水：混合低下、滞留時間増加

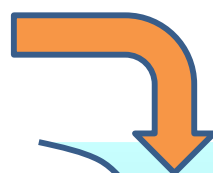
降雪量の変化：季節パターン変化

氷厚や氷下光環境変化

風速、湿度の変化



海水面上昇による海水の侵入

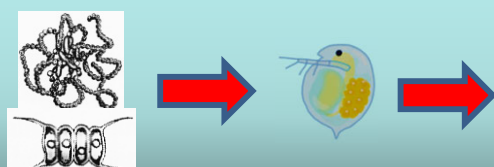


生物生産量・卓越種の変化

生物フェノロジーの変化

生物多様性の減少

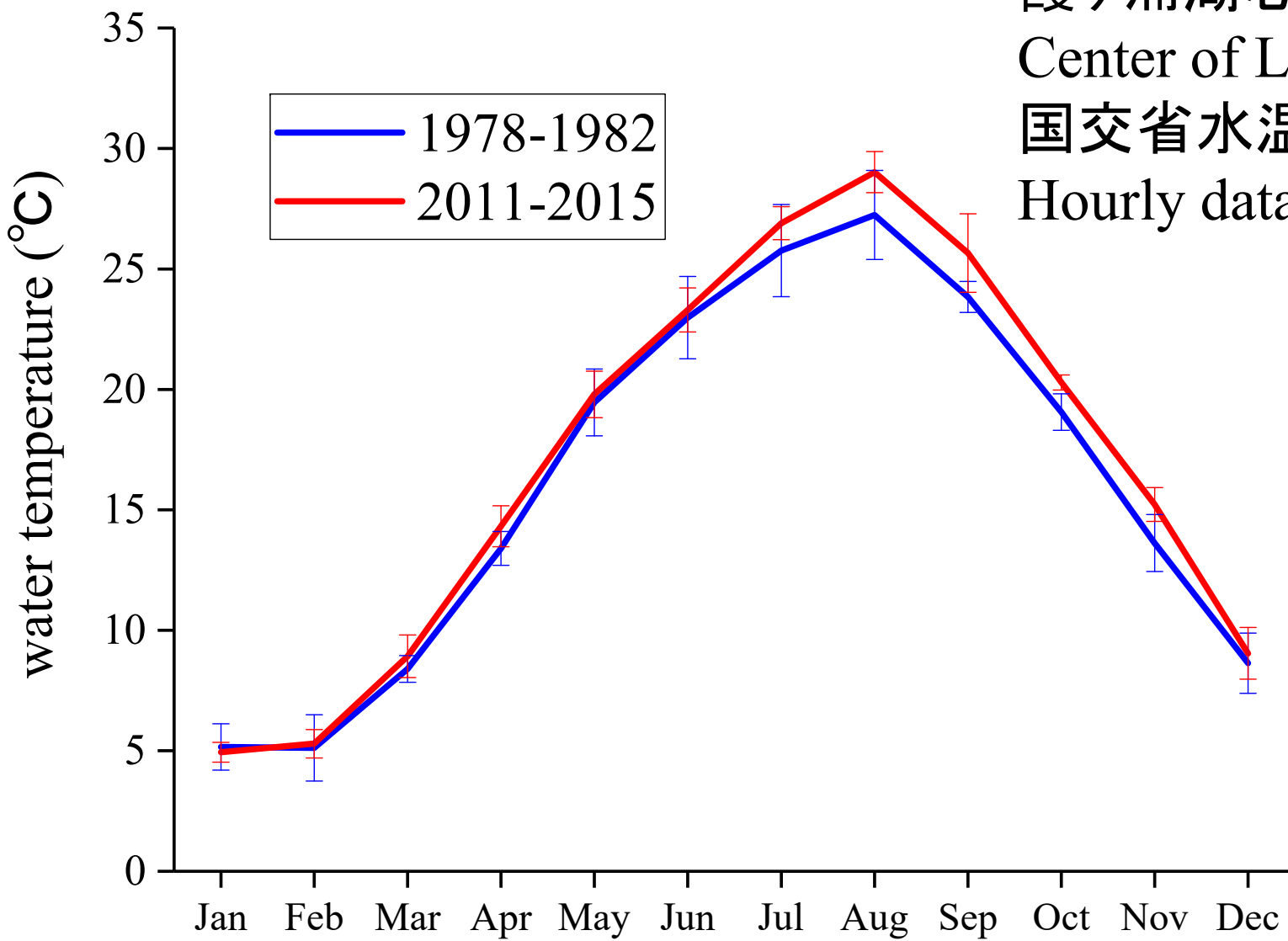
生態系サービスの低下



成層の強化、躍層下での貧酸素化、底泥からの溶出



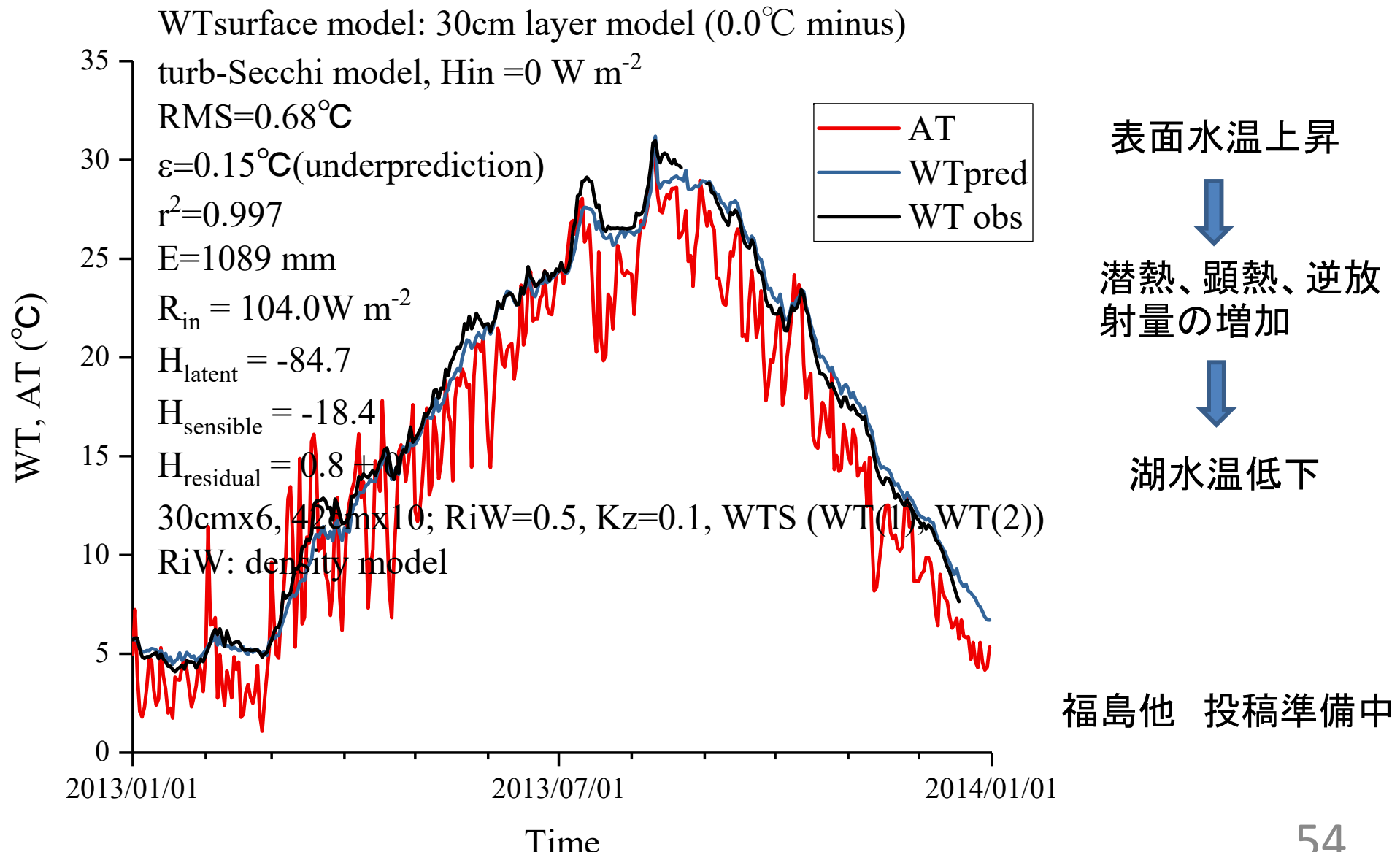
温暖化 Warming



霞ヶ浦湖心
Center of Lake Kasumigaura
国交省水温時間データ
Hourly data of WT by MLIT

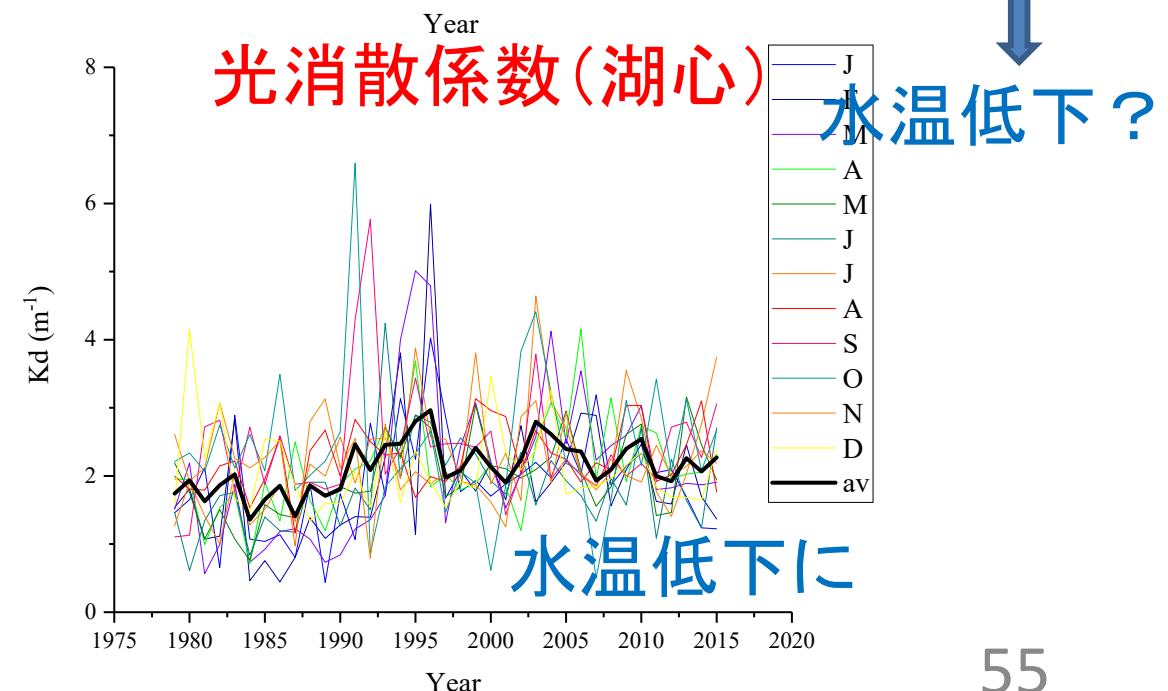
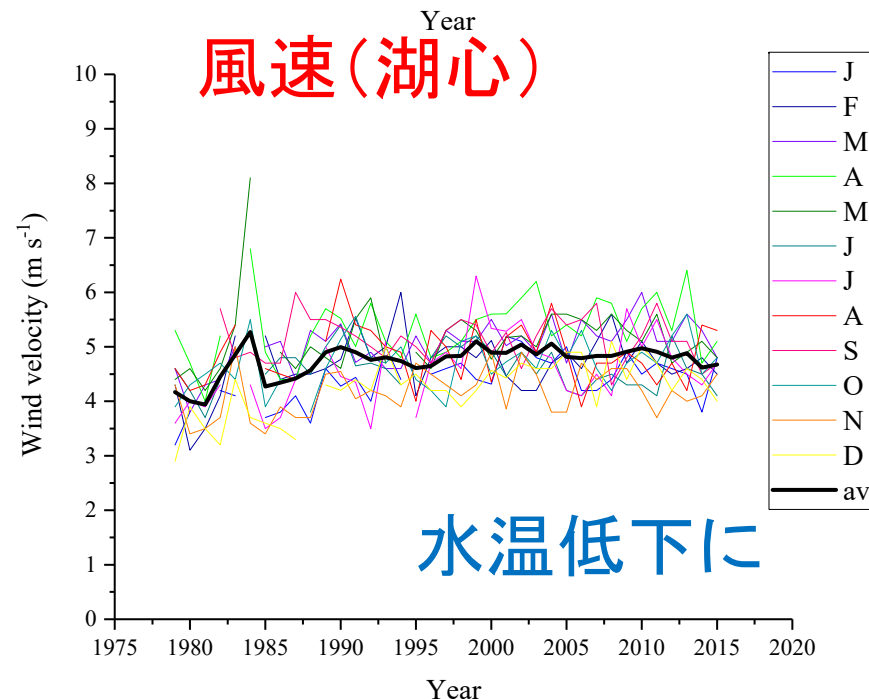
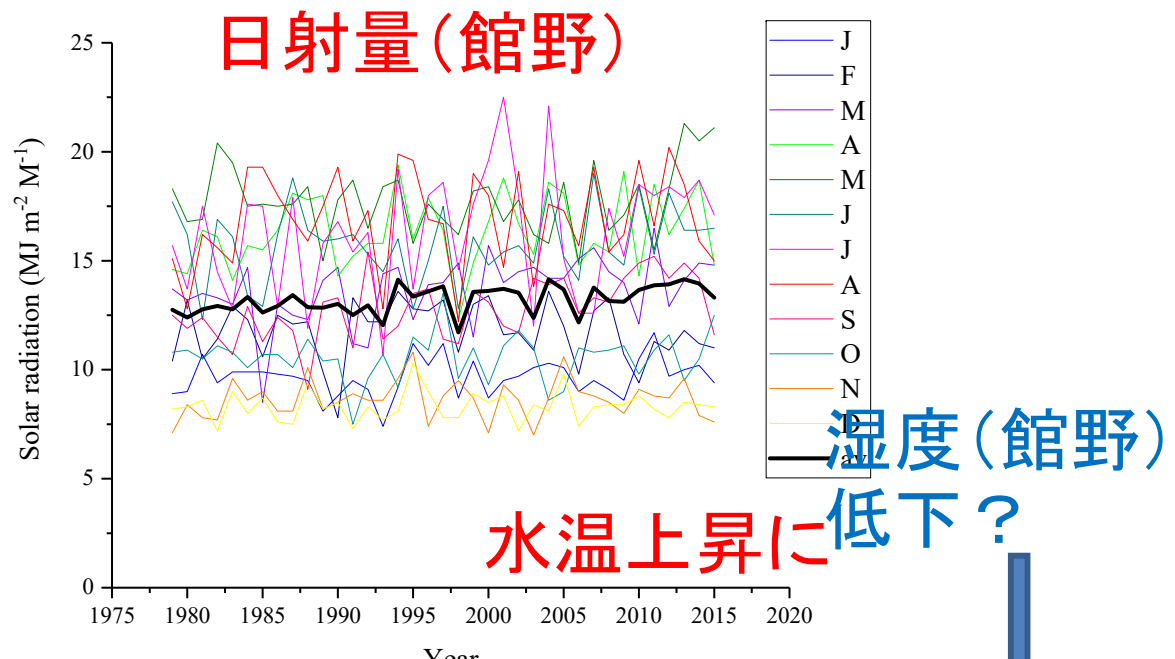
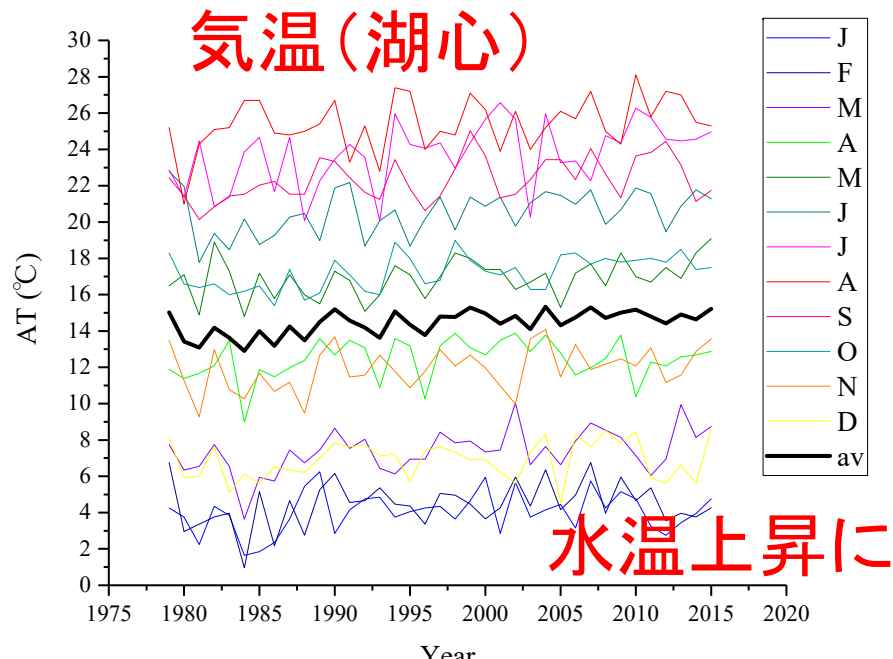
霞ヶ浦湖心での水温予測

気温、風速、湿度、濁度、日射量、等が必要、底泥熱容量の考慮
表面水温の予測が重要(潜熱、顯熱、逆放射量に影響)



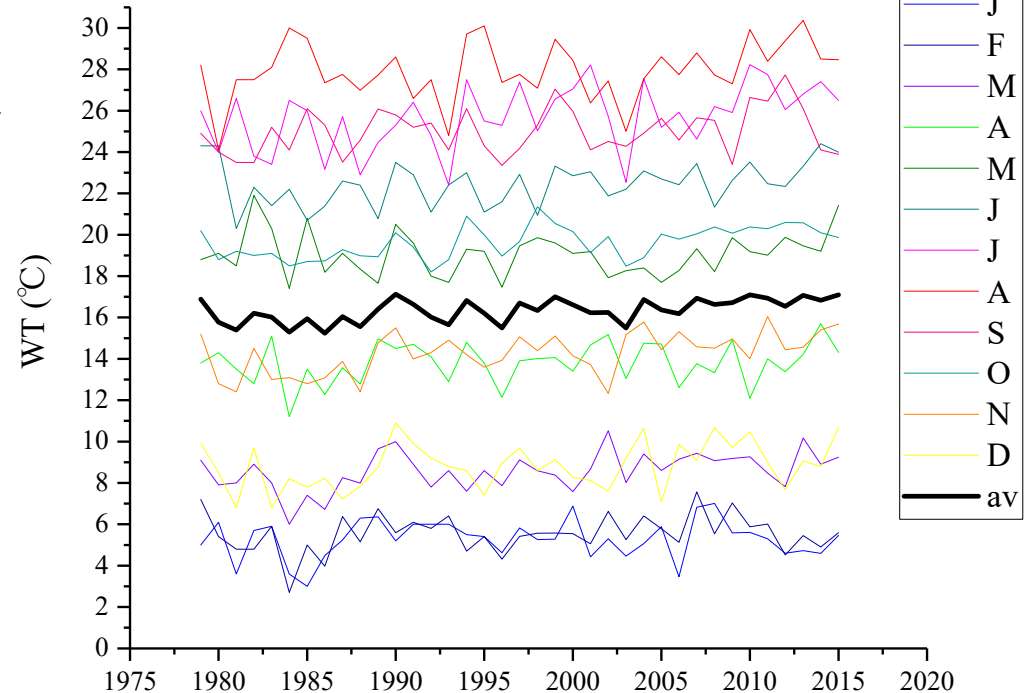
表層水温に影響を及ぼす項目の変化

福島他 投稿準備中



水温変化をモデルで予測する

福島他 投稿準備中



Change in annual averaged WTS (°C)

	using 2012	using 2013	using 2015
Air temperature 1°C decrease	-0.78	-0.79	-0.82
Solar radiation 10% decrease	-0.46	-0.46	-0.44
Wind velocity 10% decrease	0.13	0.10	0.10
Kd 10 decrease	0.08	0.09	0.10
Relative humidity 10% decrease	-0.61	-0.60	-0.65
Expected during 1979-2015*	-1.15	-1.13	-1.15
Observed during 1979-2015	-1.10		

気温上昇
日射量増加

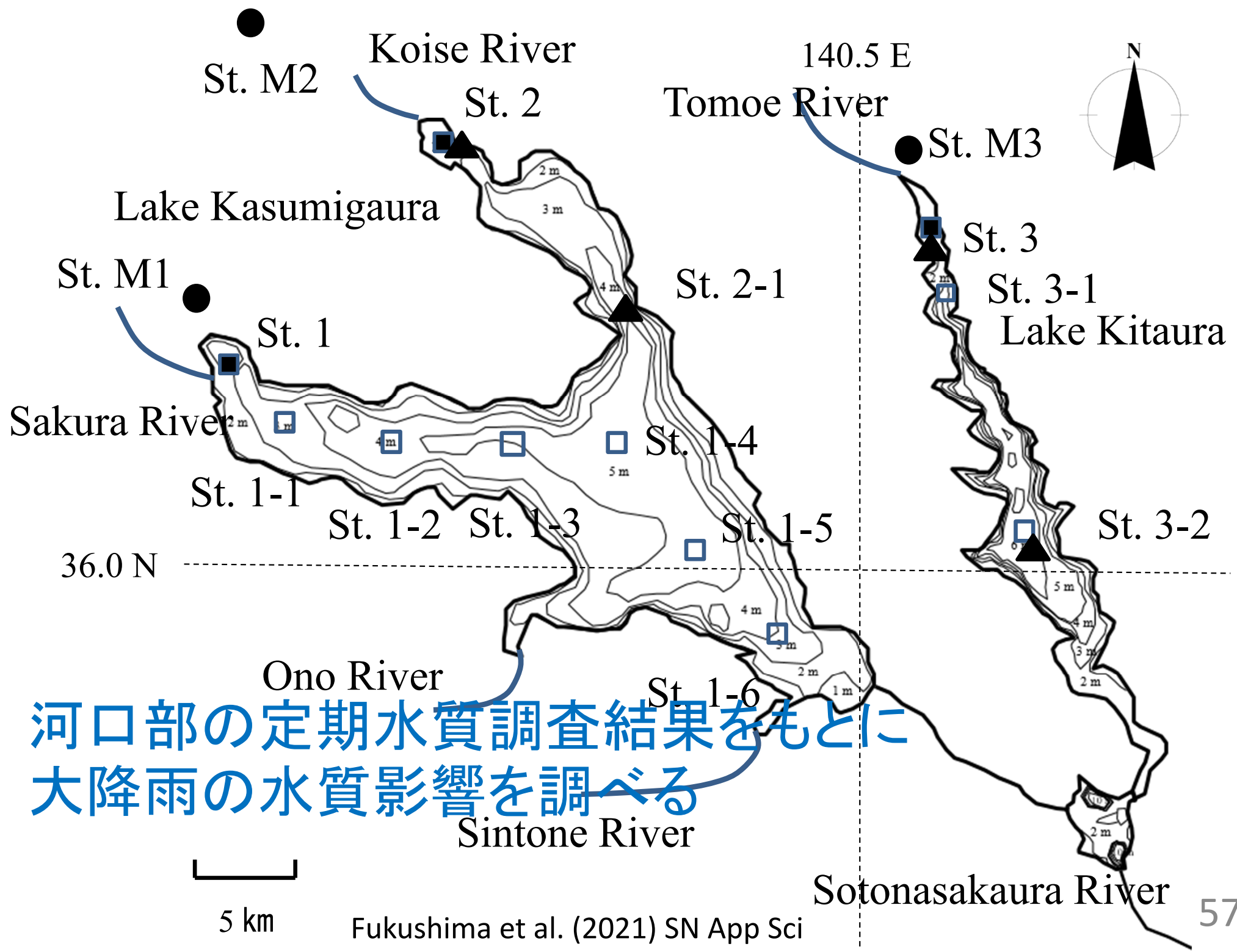
風速上昇
消散係数増加
相対湿度低下

予測された水温上昇
実測の水温上昇

*: AT -1.4°C, SR 0.927, W 0.902, Kd 0.781, RH 1 in 1979 compared with 2012, 2013, and 2015

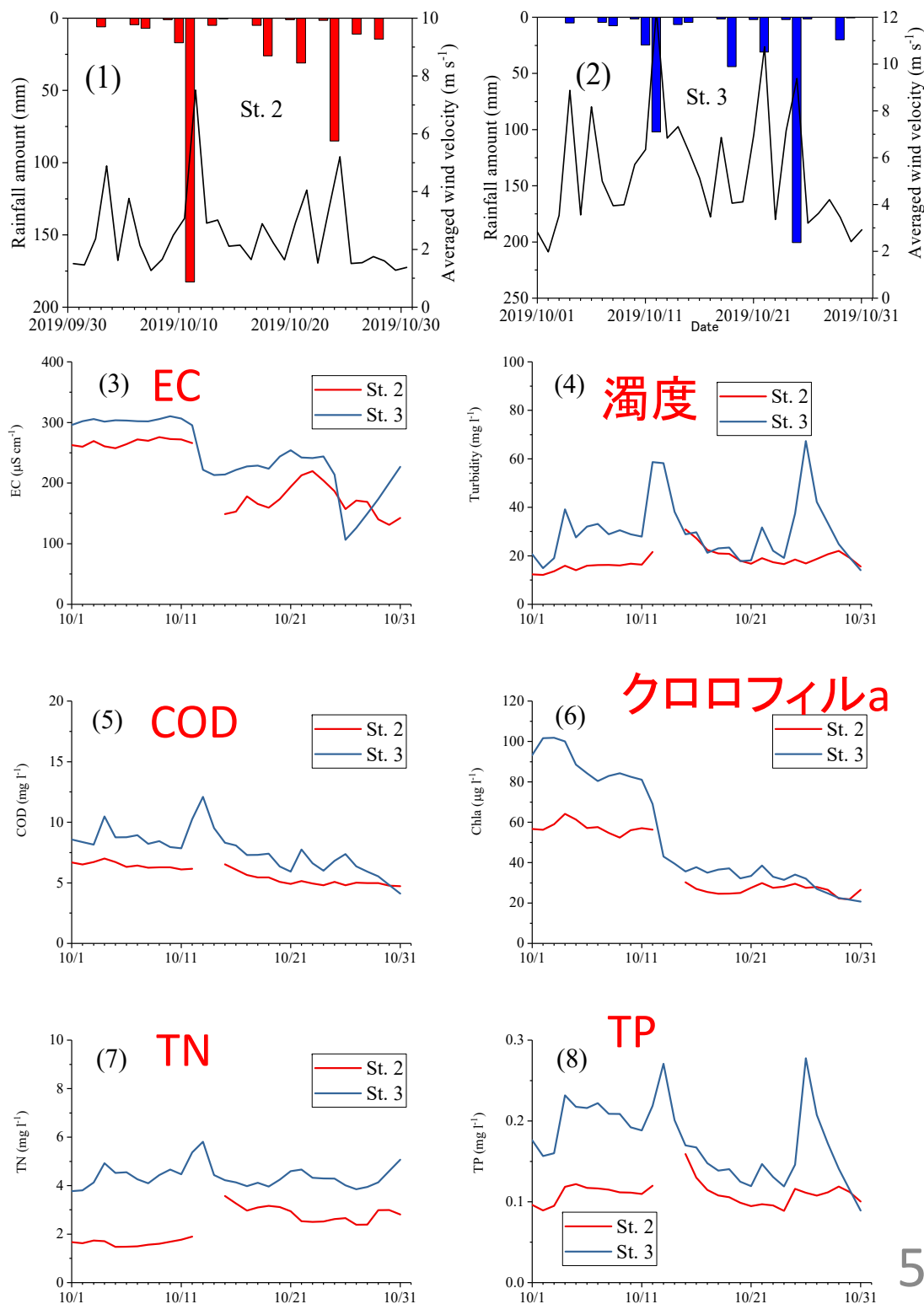
Expected evaporation change: 949 mm in 1979 vs 1089 mm in 2013 using the data of 2013,

880 mm in 1979 vs 1011 mm in 2014 using the data of 2014, 912 mm in 1979 vs 1046 mm in 2015 using the data of 2015



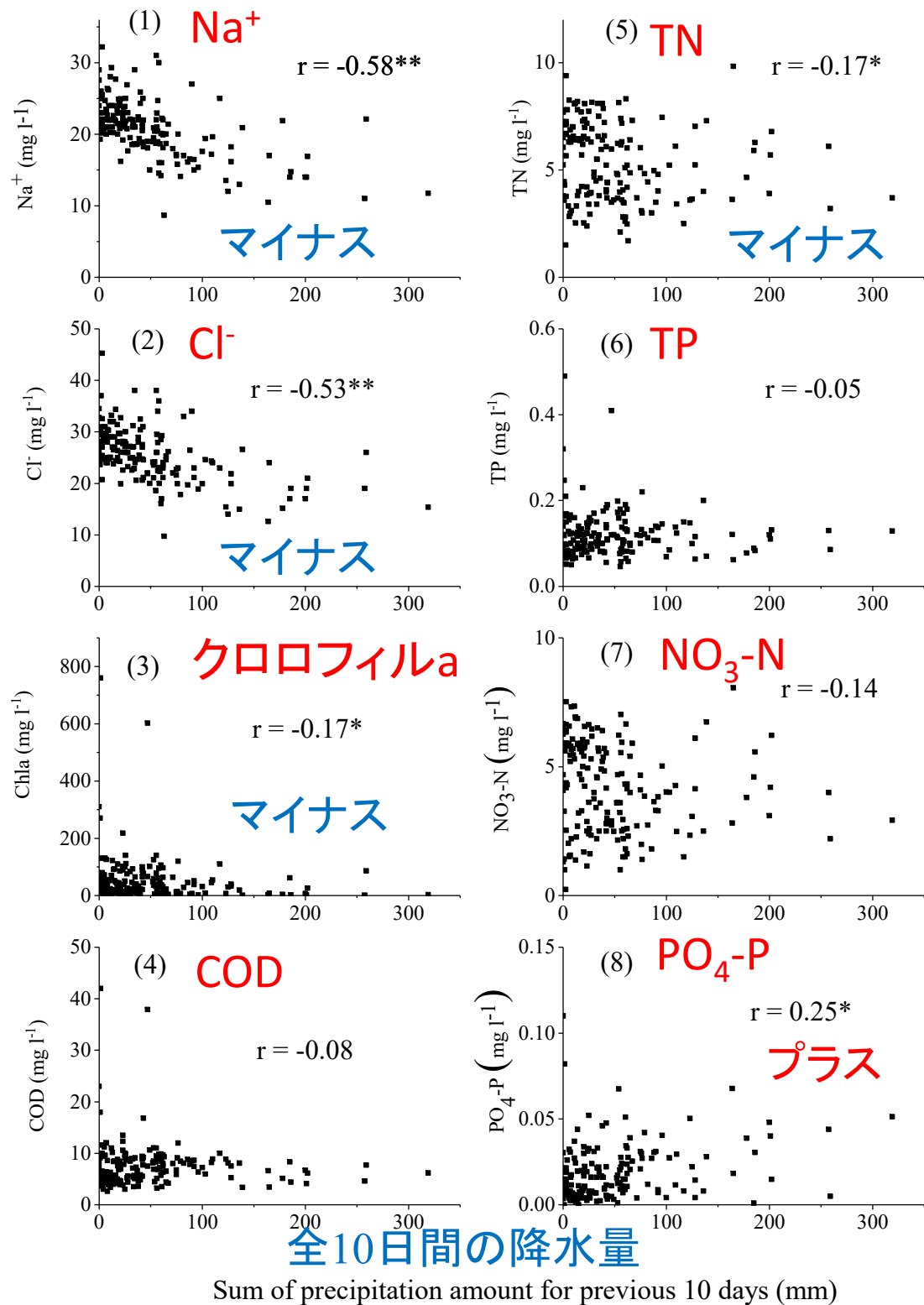
大降雨時の水質変化

Fukushima et al. (2021) SN App Sci



St. 3

明確な差: 100 mm, 140 mm
以上の降雨



G1(影響
あり) VS
G2(影響
小さい)

G1:
< 0.2 for
Na, Cl,
Chla

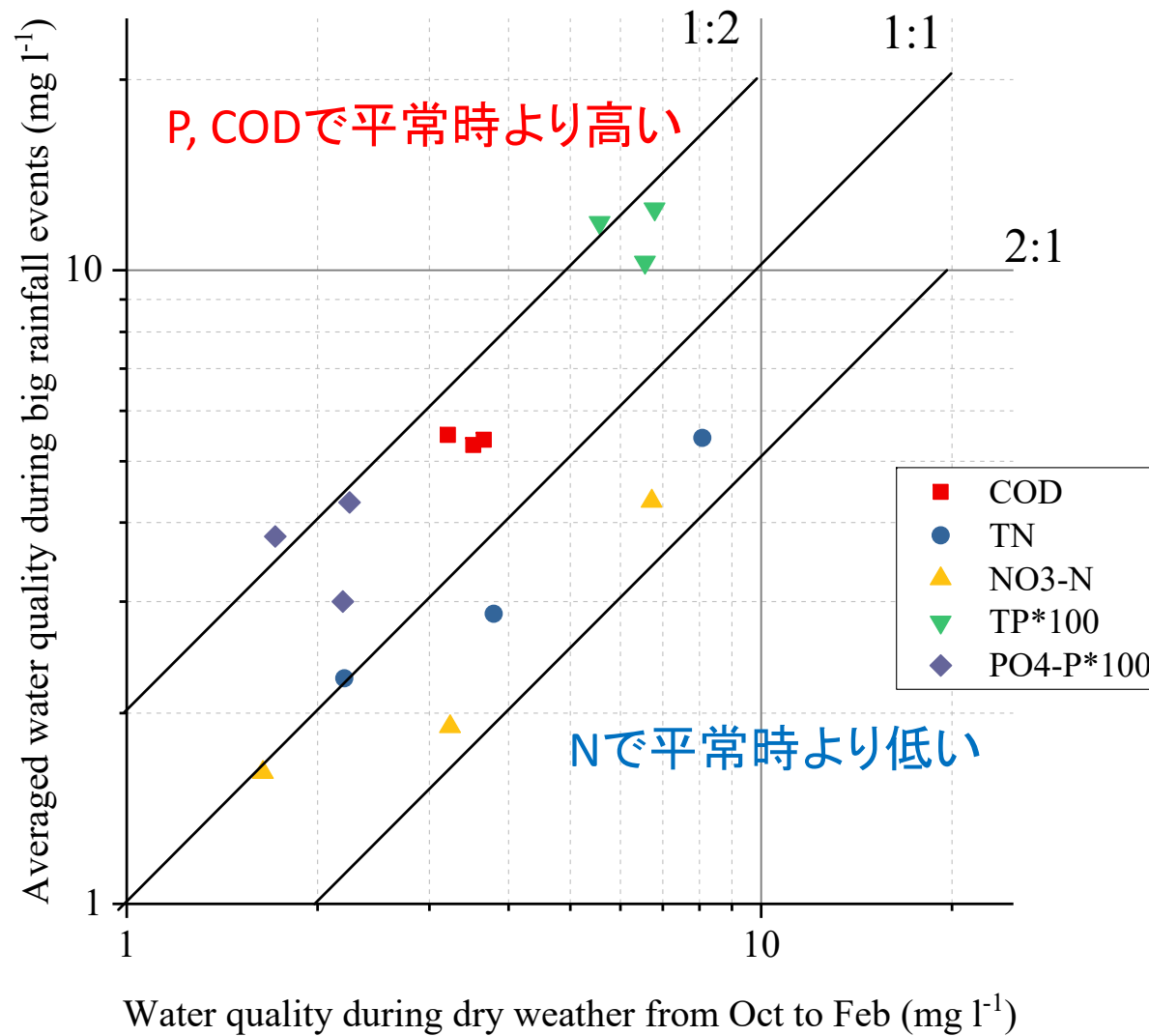
R>140 mm

Fukushima et al. (2021)
SN App Sci

Station	Group	Sampling date	Rainfall amount before 10 days to the date (mm)	The ratio of the order to the total number (n=166)			
				Na ⁺	Cl ⁻	Chlorophyll a	SS
St. 1 赤:6-9月	G1	2006/10/13	142	0.02	0.02	0.20	0.25
		2007/1/5	144	0.04	0.03	0.03	0.28
		2013/10/19	174	0.07	0.11	0.14	0.39
		2014/10/10	201	0.18	0.01	0.14	0.21
		2019/10/31	179	0.01	0.02	0.01	0.18
	G2	2006/7/27	149	0.10	0.15	0.72	0.28
		2007/9/14	143	0.06	0.07	0.66	0.26
		2015/9/19	212	0.03	0.04	0.40	0.21
		2016/8/26	250	0.73	0.77	0.82	0.40
		2007/1/5	145	0.04	0.07	0.03	0.29
St. 2 青:10-5月	G1	2014/10/10	282	0.05	0.01	0.05	0.31
		2019/10/31	144	0.01	0.01	0.02	0.23
		2006/7/27	173	0.25	0.43	0.55	0.35
		2007/9/14	155	0.25	0.36	0.65	0.35
		2015/9/19	229	0.05	0.06	0.36	0.23
	G2	2016/8/26	324	0.88	0.87	0.77	0.35
		2016/9/16	149	0.07	0.27	0.60	0.31
		2017/7/13	170	0.78	0.62	0.37	0.53
		2007/1/5	165	0.17	0.20	0.18	0.10
		2013/10/19	319	0.02	0.04	0.08	0.22
St. 3	G1	2014/2/18	186	0.08	0.10	0.03	0.09
		2014/10/10	178	0.03	0.03	0.10	0.04
		2015/9/19	164	0.01	0.01	0.08	0.10
		2018/9/27	200	0.05	0.05	0.14	0.09
		2019/10/31	258	0.02	0.09	0.01	0.11
	G2	2006/7/27	185	0.05	0.05	0.73	0.10
		2006/10/13	202	0.16	0.17	0.40	0.11
		2016/8/26	259	0.68	0.51	0.83	0.11

降雨時水質と河川水質の関係(10月-2月)

Fukushima et al. (2021) SN App Sci

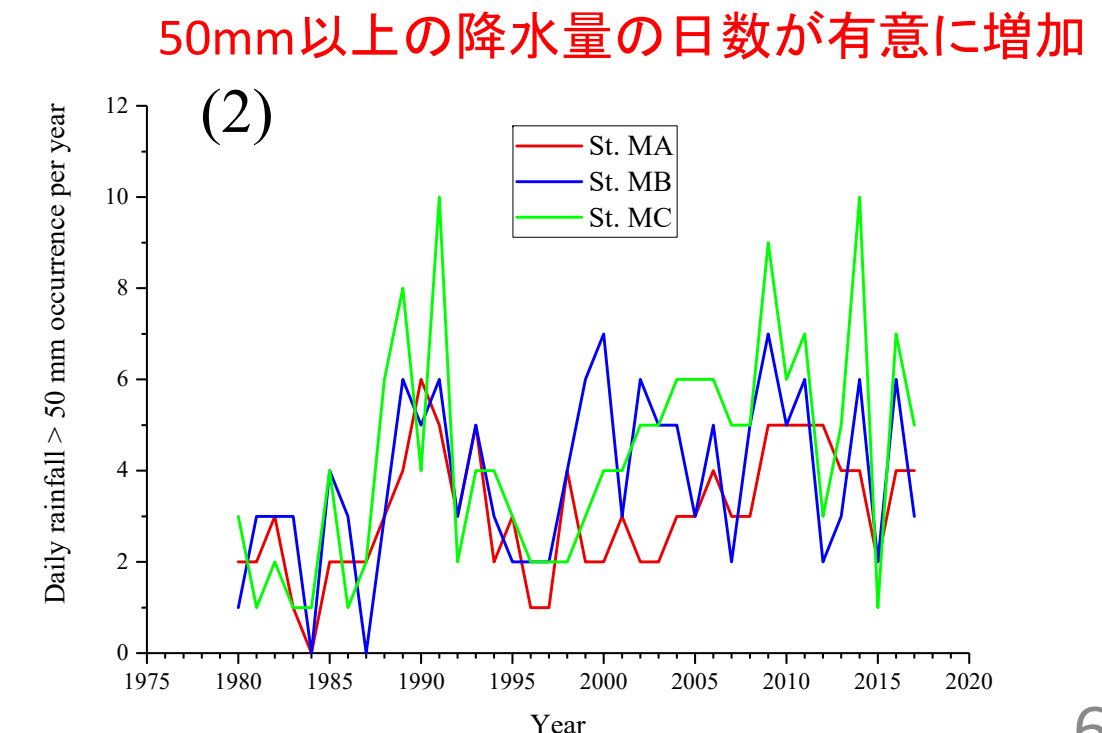
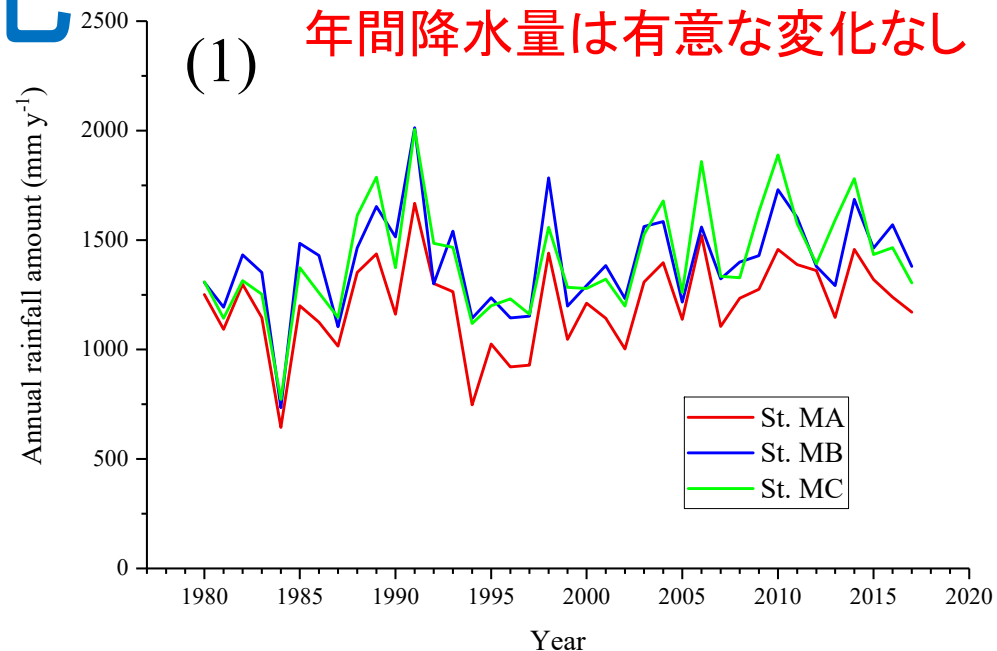


河川降雨時水質(海老瀬モデル)と 今回の大降雨時水質との比較

Fukushima et al. (2021) SN App Sci

	Average of St. 1, St. 2 and St. 3 in G1	Model estimation
COD	5.4	3.9
DCOD	4.1	3.6
TN	3.5	3.5
NO ₃ -N	2.6	2.0 (DTN)
TP	0.12	0.05
PO ₄ -P	0.04	0.04 (DTP)
Cl ⁻	13.2	4.5

降水形態の変化



Fukushima et al. (2021) SN App Sci

今後の研究課題

- ・ 湖沼水環境に影響が大きい気候変化、気象イベントを明確にし、その将来予測結果から水環境の問題を考える
- ・ 底質形成の一般化モデル(流入粒子特性や植物プランクトン組成を考慮したbiogeochemicalモデル)の作成
- ・ 湖沼と海域の水質浄化メカニズムの違い:沿岸植生、干潟...:湖沼における活用可能な浄化エネルギーは何か
- ・ レジームシフトの要因:経年蓄積効果をもたらすものは何か
- ・ リン資源としての底泥管理(例 European Sustainable Phosphorus Platform、リン循環産業振興機構)
- ・ 生態系サービスの評価(下流型湖沼の特質、水質浄化の価値をいかに評価するか)

昼の散歩

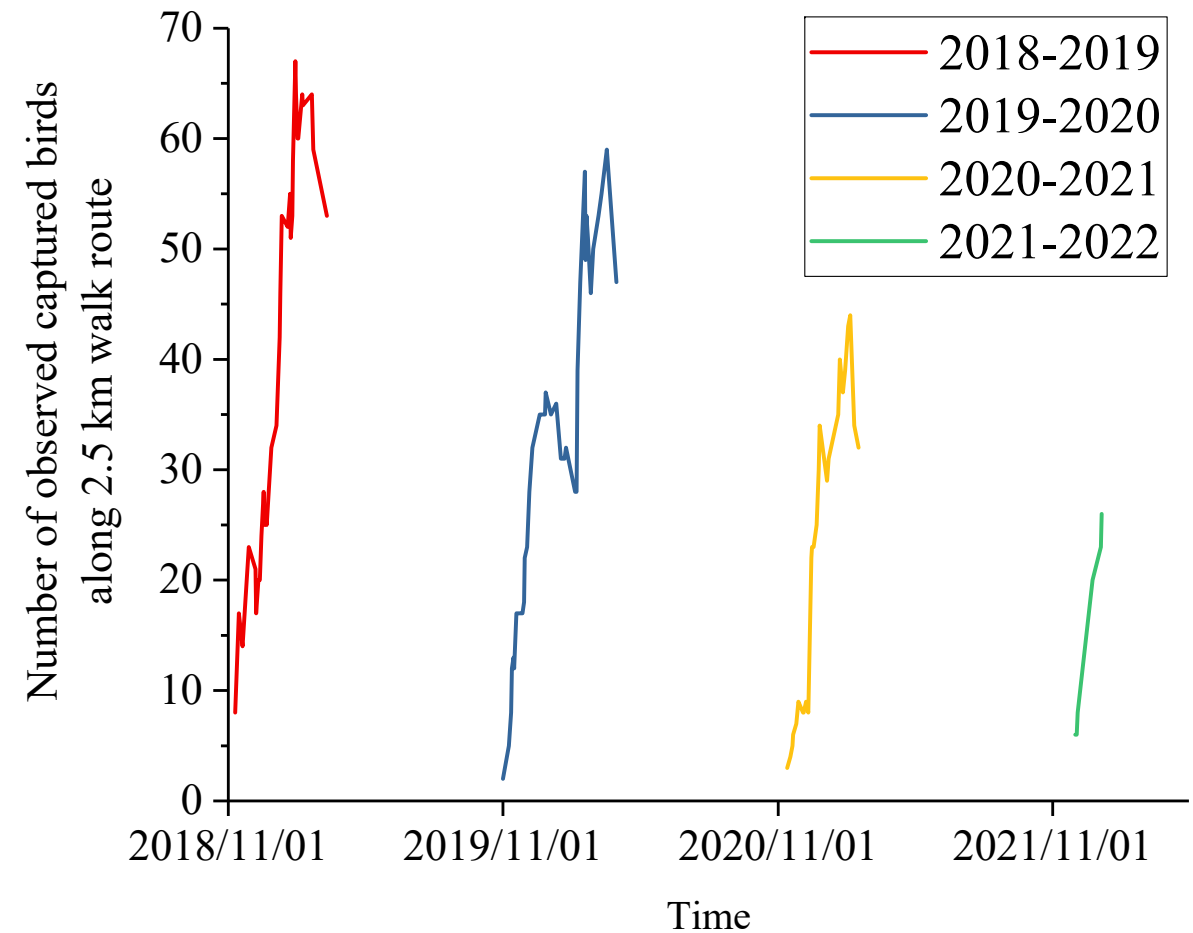


自然再生湖岸

霞ヶ浦

ポンプ音 ヨシのさえずり 皇月の空へ
用水路 うごめく魚と 並ぶ鷺
湖岸道 薄い地平と ヨシの原

羅網数の変化



霞ヶ浦の管理に向けて

- ・ 平常時水質管理目標値の再検討
目標水質、地域性（外来性生物、生態系管理、、、）
- ・ 緊急時のレジリエントな対応（洪水、地震、水質事故、、、）
- ・ 施設の適切な運用
導水、水門、自然再生地区、河口ウェットランド、、、
- ・ 最新技術の活用（空中・水中ドローン、水中DNA情報、、、）

謝辞

- ・茨城県霞ヶ浦環境科学センター、国立環境研究所、国土交通省霞ヶ浦河川事務所・霞ヶ浦導水工事事務所、水資源機構
- ・筑波大学生命環境系、広島大学工学部、茨城大学水圏環境フィールドステーション、琵琶湖環境科学研究中心、インドネシア陸水研究所、環境省
- ・科研費17H04475, 17H01850